



PROJETO DE GRADUAÇÃO

**PROGRAMAÇÃO PARALELA DO MÉTODO
DOS ELEMENTOS DE CONTORNO**

Por,

Inácio Miura Junior

Brasília, 18 de dezembro de 2020

UNIVERSIDADE DE BRASÍLIA

FACULDADE DE TECNOLOGIA

DEPARTAMENTO DE ENGENHARIA MECÂNICA

UNIVERSIDADE DE BRASÍLIA
Faculdade de Tecnologia
Departamento de Engenharia Mecânica

PROJETO DE GRADUAÇÃO

**PROGRAMAÇÃO PARALELA DO MÉTODO
DOS ELEMENTOS DE CONTORNO**

Por,
Inácio Miura Junior

Projeto submetido como requisito parcial para obtenção
do grau de Engenheiro Mecânico

Banca Examinadora

Prof. Éder Lima de Albuquerque, UnB/ENM (Orientador) _____

Prof. Taygoara Felamingo de Oliveira , UnB/ENM _____

Prof. Alvaro Campos Ferreira. , UnB/ENM _____

Brasília 18 de dezembro de 2020

Resumo

O presente trabalho explora técnicas de programação de alto desempenho para aperfeiçoar um código de método dos elementos de contorno (MEC). Serão discutidas as vantagens da implementação da programação em paralelo, passando por uma revisão teórica sobre vetorização, *multi-threading* e programação paralela em *clusters*. A implementação do MEC foi escrita em Python devido a facilidade de programação que reduz o tempo gasto na etapa de desenvolvimento. Serão avaliadas as partes que mais consomem tempo de processamento para uma otimização utilizando a biblioteca Cython, que transforma trechos do programa em extensões em C. Foi explorado o uso de Softwares livres, Open Source, para soluções de geração de CAD (FreeCad, Designspark Mechanical), geração de malha (GMSH), leitura e conversão de malha (Meshio), visualização e pós-processamento (ParaView). Por fim, foi analisado o impacto da implementação de paralelismo, com memória compartilhada, em um dos trechos críticos da rotina de cálculo e foram discutidos os aspectos práticos e dificuldades técnicas, deste método, com o intuito de fomentar o uso de novas práticas mais eficientes de programação. A paralelização da rotina de integração, existente no código, aumentou a velocidade por um fator igual ao número de processadores utilizados.

Palavras-chaves: Programação em paralelo, Elementos de contorno, SIMD, OpenMP, MPI, Python.

Abstract

The present work explore high performance programming techniques to enhance a boundary element method (BEM) code. It was discussed the advantages of implementing parallel programming, throughout the concept of vectorization, multi-threading and parallel programming on clusters. The BEM implementation has been written in Python due to the ease of programming that reduces the time spent in the development stage. The most time consuming parts will be evaluated for a optimization utilizing the Cython library, that turns program snippets into C extensions. Free Open Source Softwares will be explored for solutions of CAD generation (FreeCad, Designspark Mechanical), Mesh generation (GMSH), Mesh reading and conversion (Meshio), visualization and post processing (ParaView). Finally, it was analised the impact of a parallel implementation, with shared memory, on a critical section of the calculation routine and it was discussed the practical aspects and technical difficulties of such method, with the intention of fomenting the use of new and more efficient programming practices. The paralelization of the integration routine, that exist in the code, enhanced the speed by a factor equal to the number of processors utilized.

Key-words: Parallel programming, Boundary elements, SIMD, OpenMP, MPI, Python.

Lista de Figuras

Figura 1 – Matrizes de Coeficientes FEM vs BEM	2
Figura 2 – Multiplicação Paralelizada VS Não paralelizada	4
Figura 3 – Exemplo de Vetorização	5
Figura 4 – Diagrama esquemático simplificado de uma CPU	5
Figura 5 – Fluxograma de uma <i>thread</i> OpenMP	6
Figura 6 – MPI - Comunicação <i>ring shift</i>	7
Figura 7 – MPI - Mestre/Trabalhador	7
Figura 8 – Exemplo - Vetor Temporário (Parte 1)	8
Figura 9 – Exemplo - Vetor Temporário (Parte 2)	9
Figura 10 – Exemplo - Vetor Temporário (Parte 3)	9
Figura 11 – Exemplo - Vetor Temporário (Parte 4)	9
Figura 12 – Evolução do Campo de Temperaturas 200x200	12
Figura 13 – Caracterização do Código de Transferência de Calor	13
Figura 14 – Tipos de Interação do Código	14
Figura 15 – Tipos de Interação Código Otimizado	15
Figura 16 – Evolução do Campo de Temperaturas 1056x1056	15
Figura 17 – Demonstração de Funcionalidade do FreeCad	18
Figura 18 – Alguns tipos de elemento de contorno bidimensionais.	23
Figura 19 – Alguns tipos de elemento de contorno.	24
Figura 20 – Fluxograma PotLinear3D	26
Figura 21 – Avaliação da sub-rotina <code>monta_Teq</code>	27
Figura 22 – sub-rotina <code>monta_Teq</code> reescrita	28
Figura 23 – Gráfico para análise de desempenho	32
Figura 24 – Vistas - Placa com Furo	33
Figura 25 – Perspectiva - Placa com Furo	34
Figura 26 – Malha 1 - Placa com Furo	34
Figura 27 – Malha 2 - Placa com Furo	35
Figura 28 – Malha 3 - Placa com Furo	35
Figura 29 – Especificações do Processador	36
Figura 30 – Cálculo Serial das Matrizes [H] e [G]	37

Figura 31 – Cálculo Paralelo das Matrizes [H] e [G]	38
Figura 32 – Cálculo Paralelo das Matrizes [H] e [G] - Tentativa 2	39
Figura 33 – Função de Cálculo Paralelo das Matrizes [H] e [G]	40
Figura 34 – Aceleração para o caso $n = 2$	41
Figura 35 – Aceleração para o caso $n = 4$	42
Figura 36 – Aceleração para o caso $n = 6$	42
Figura 37 – Aceleração para o caso $n = 8$	42

Lista de abreviaturas e siglas

BEM	<i>Boundary Element Method</i>
CPU	<i>Central Processing Unit</i>
MPI	<i>Message Passing Interface</i>
OpenMP	<i>Open Multi-Processing</i>
SIMD	<i>Single Instruction Multiple Data</i>
SMT	<i>Simultaneous MultiThreading</i>

Lista de símbolos

δ	Função Delta de Dirac
δ_{ij}	Operador Delta de Kronecker
Ω	Domínio omega
Γ	Contorno gamma

Sumário

	1 INTRODUÇÃO	1
1.1	Desenvolvimento dos Processadores	1
1.2	Método dos Elementos de Contorno	2
	2 PARALELISMO	3
2.1	Processos e <i>Threads</i>	3
2.2	Conceito de Paralelismo	4
2.3	Single Instruction Multiple Data (SIMD)	4
2.4	Simultaneous Multithreading (SMT)	5
2.5	Open Multi-Processing (OpenMP)	6
2.6	Message Passing Interface (MPI)	6
	3 HPC EM PYTHON	8
3.1	Computação de Alta Performance	8
3.2	Desvantagens e Vantagens de Python	9
3.3	Estratégia de Programação	11
3.4	Cython	11
3.5	Computação em Nuvem	16
	4 FERRAMENTAS OPENSOURCE	17
4.1	Desenvolvimento de Soluções OpenSource	17
4.2	FreeCad	18
4.3	GMSH	18
4.4	Meshio	19
4.5	ParaView	19
4.6	Cython	19
	5 ELEMENTOS DE CONTORNO	21
5.1	Condução de Calor Bidimensional e Tridimensional	21
5.1.1	Conhecimento Preliminar	21
5.1.2	Solução Fundamental Para Temperatura e Fluxo de Calor	22

5.1.3	Formulação dos Elementos de Contorno	22
5.1.4	Elementos Constantes	24
5.2	Análise Preliminar do Código PotLinear3D	26
	6 OTIMIZAÇÃO DO CÓDIGO POTLINEAR3D	30
6.1	Paralelização da montagem das matrizes [H] e [G]	30
6.1.1	Aceleração do Código (<i>SpeedUp</i>)	30
6.1.2	Consistência do Código	32
6.1.3	Simulação em Análise	33
6.1.4	Códigos Utilizados	36
6.2	Resultados e Discussão	40
	7 CONCLUSÃO	44
	REFERÊNCIAS	45
	A CODIGO POTLINEAR3D.PY	47
	B CODIGO POTLINEAR3D_TESTE.PY	51
	C CODIGO POTLINEAR3D_TIME.PY	54
	D CODIGO INTEGRACAO.PYX	66
	E CODIGO INTEGRACAO2.PYX	75
	F CODIGO INTEGRACAO3.PYX	86

1 INTRODUÇÃO

1.1 Desenvolvimento dos Processadores

Em 1965 o co-fundador da Intel, Gordon Moore, fez uma previsão, revisada em 1975, de que a quantidade de transistores nos processadores dobraria a cada 2 anos sem para isso aumentar o seu custo. Esta previsão ficou conhecida como Lei de Moore e tem se mantido verdadeira desde então. O avanço tecnológico na manufatura de transistores foi responsável por grande parte do desenvolvimento dos processadores por permitir um aumento no número de ciclos capazes de serem executados por unidade de tempo. No entanto, a geração de calor em uma CPU é proporcional a frequência ao cubo ([HAGER; WELLEIN, 2010](#)) e embora a Lei de Moore continue válida os nossos processadores atingiram a barreira de calor i.e., a partir de uma certa velocidade de *clock* a quantidade de calor produzida por sua operação não pode mais ser dissipada por métodos convencionais de resfriamento.

A necessidade de aumento da performance dos processadores, a despeito das limitações introduzidas pela geração de calor, motivou os fabricantes a buscarem uma saída para este dilema através do design de processadores com múltiplos núcleos. Esta solução reduz os requisitos tecnológicos pois torna linear a relação entre capacidade de processamento e geração de calor mas, ao mesmo tempo, introduz novos desafios pois um código não otimizado continuará utilizando apenas um núcleo.

O aumento da complexidade da arquitetura dos novos processadores motivou o desenvolvimento de técnicas de Computação de Alta Performance (High Performance Computing ou HPC) que objetivam tornar a execução de códigos mais rápida e eficiente possível com a aplicação de conceitos como a Programação em Paralelo que é, em linhas gerais, um conjunto de instruções que permitem que partes distintas do código sejam executadas concomitantemente. A paralelização é em geral uma solução *Ad Hoc* até o presente momento, o que torna necessário a capacitação dos desenvolvedores para fazer um uso pleno dos processadores modernos. Existem estudos sobre paralelização automática de códigos através de compiladores mas sem resultados significativos. Este assunto é considerado o Santo Graal da programação em paralelo pois permitiria alta performance na execução de códigos escritos de forma ingênua.

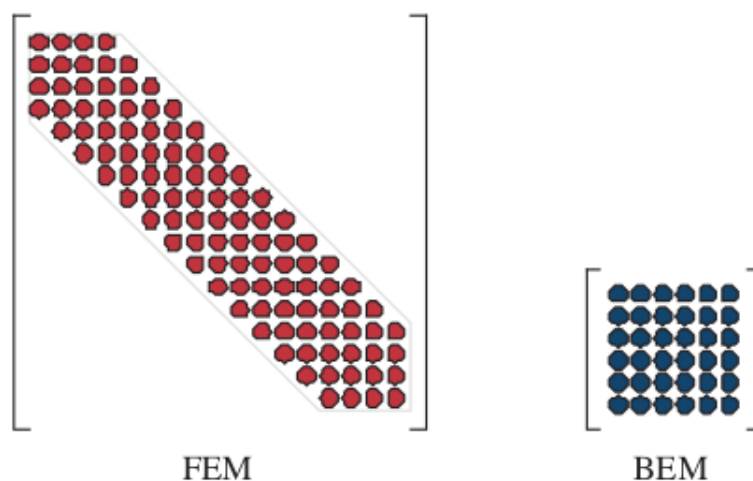
1.2 Método dos Elementos de Contorno

O método dos elementos de contorno (MET), mais amplamente conhecido como *Boundary Elements Method* (BEM), é uma técnica de análise comportamental de sistemas mecânicos sujeitos a fontes externas de perturbação que provocam uma resposta que se traduz em uma alteração no campo da propriedade em questão. Algumas das vantagens no uso do BEM, descritas por [Katsikadelis \(2016\)](#), são:

1. Facilidade na discretização que só precisa ser feita no contorno dos elementos.
2. O método é particularmente eficiente para problemas de condição de Neumann (e.g. fluxos, tensões, deformações, momentos) e pode lidar facilmente com problemas de condição de Dirichlet dentro ou no contorno do domínio utilizando a função delta de Dirac.
3. A solução pode ser avaliada em qualquer ponto do domínio a qualquer instante de tempo, pois o método usa uma representação integral da solução por meio de uma expressão matemática contínua, que pode ser diferenciada e utilizada como uma fórmula matemática. Isto é impossível para métodos como o dos elementos finitos, pois a solução é obtida apenas nos nós.
4. O método é adequado para a solução de problemas em domínios com peculiaridades geométricas como trincas.

Por outro lado, a aplicação do BEM possui severas restrições pois sua aplicação requer a representação do fenômeno de forma integral. Isto só é possível se a solução fundamental puder ser estabelecida. Por último, o método gera sistemas lineares de equações algébricas com matrizes cheias e não-simétricas, mas esta desvantagem é compensada pelo tamanho das matrizes que em geral são menores conforme ilustrado na figura 1.

Figura 1 – Matrizes de Coeficientes FEM vs BEM



Fonte: Katsikadelis, 2016, p.5.

2 Paralelismo

2.1 Processos e *Threads*

Primeiramente é necessário estabelecer a diferença entre programas, processos e *threads*. Um programa é um código armazenado no computador, em algum arquivo, com o objetivo de cumprir uma determinada tarefa específica. Ao ser executado, este arquivo é compilado em uma linguagem binária (linguagem de baixo nível) em um arquivo que pode então ser interpretado pela CPU.

Um processo é um programa em sua forma binária carregado na memória juntamente com os recursos necessários para a sua execução. Os recursos essenciais são os endereços dos dados, instruções e ordem de execução. A alocação de recursos é feita pelo sistema operacional que gerencia todos os processos estruturando os dados em pilhas (*Stacks* e *Queues*) ou por alocação dinâmica (*Heap*). Um programa pode ser executado em múltiplos processos e cada um tem seu respectivo espaço na memória, o que significa que sua execução acontece de forma independente e isolada. Um processo não pode acessar diretamente os dados de outro processo.

Uma *thread* é uma unidade de execução dentro de um processo. Um processo pode ter uma única *thread*, neste caso o processo e a *thread* são a mesma coisa, ou ter múltiplas *threads*. A diferença fundamental é que as *threads* compartilham todos os recursos mas cada uma tem seu registro, *i.e.* memória temporária, e opera sobre sua respectiva pilha de tarefas.

Uma forma prática de compreender a diferença entre estes conceitos é observando o navegador de internet Google Chrome. O navegador é o programa que tem o objetivo de acessar a internet. Cada janela aberta é um processo e como dito anteriormente cada processo é independente. Cada aba em uma janela é uma *thread* que compartilha recursos com as outras, assim, logando em um site em uma aba significa logar em todas as abas mas o mesmo não se observa quando se troca de janela. O paralelismo com compartilhamento de recursos é chamado de "paralelismo de *thread*" enquanto o recíproco é chamado de "paralelismo de processo".

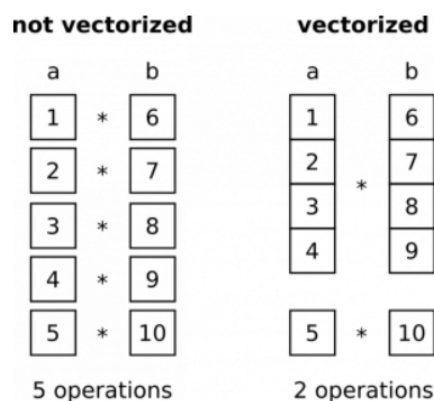
2.2 Conceito de Paralelismo

O conceito de paralelismo é amplo e diz respeito a alocação de memória e ordenamento da execução das tarefas na CPU de forma a otimizar seu desempenho, podendo se referir desde o nível mais fundamental da arquitetura dos processadores (nível de bit) até a execução de tarefas em vários nós simultaneamente, como é o caso dos *clusters*. A ideia geral é que o trânsito de dados entre a memória e a CPU é mais lento do que a capacidade de processamento destes dados, o objetivo é então manter a unidade aritmética lógica constantemente alimentada com dados pela memória e instruções da unidade de controle pra aumentar a saída de resultados. O presente trabalho se restringe a tratar das formas de paralelismo conhecidas como *Single Instruction Multiple Data* (SIMD), *Simultaneous MultiThreading* (SMT), programação paralela com memória compartilhada (OpenMP) e *Message Passing Interface* (MPI).

2.3 Single Intruction Multiple Data (SIMD)

A estratégia neste caso é maximizar a saída da CPU agrupando múltiplos dados em vetores e aplicando uma única instrução para todo o vetor. O exemplo da figura 2 demonstra como o processamento de dados agrupados pode se tornar mais eficiente; para a mesma carga de trabalho, o caso vetorizado reduz o número de operações necessárias de 5 para 2.

Figura 2 – Multiplicação Paralelizada VS Não paralelizada



Fonte: Konrad (2018), <https://datascience.blog.wzb.eu/2018/02/02/vectorization-and-parallelization-in-python-with-numpy-and-pandas/>

Uma simples tarefa de subtração de vetores pode se tornar, pelo menos, dezenas de vezes mais rápida com um comando vetorizado, como evidenciado no exemplo da figura 3 na qual compara-se o tempo de execução utilizando um *loop for* e um comando *slice* em Python. O comando vetorizado foi 10 vezes mais rápido conforme as observações no código.

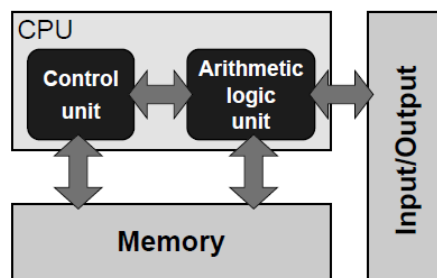
Figura 3 – Exemplo de Vetorização

```
10 # impacto da vetorização
11 import timeit
12
13 print(timeit.timeit('''import numpy as np
14 arr = np.arange(1000)
15 dif = np.zeros(999, int)
16
17 for i in range(1, len(arr)):
18     dif[i-1] = arr[i] - arr[i-1]''', number=50))
19 #0 processador levou 0,02257s para realizar esta tarefa.
20
21 print(timeit.timeit('''import numpy as np
22 arr = np.arange(1000)
23 dif = np.zeros(999, int)
24 dif = arr[1:] - arr[:-1]''', number=50))
25 #0 processador levou 0,00214s para realizar esta tarefa.
```

2.4 Simultaneous Multithreading (SMT)

A figura 4 apresenta um esquema conceitual do funcionamento de uma CPU elementar que executa uma linha de comando (*Thread*) de cada vez.

Figura 4 – Diagrama esquemático simplificado de uma CPU



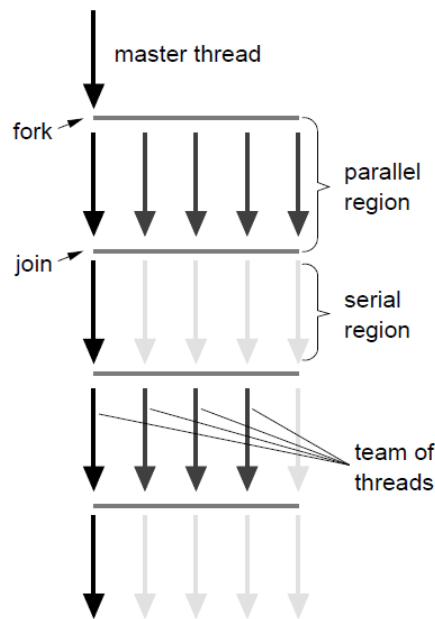
Fonte: Hager & Wellein, 2010, p.2.

Aumentando uma unidade de processamento lógico, é possível executar duas linhas de comando em uma mesma CPU com um incremento de tamanho físico desprezível. No caso dos processadores Xeon da Intel este incremento é de 5%. Esta estratégia leva a ganhos de até 30% de capacidade de processamento em uma mesma CPU, mas como todos os recursos são divididos entre as unidades lógicas, não existe ganho significativo ao introduzir mais do que dois desses componentes (RAUBER; RÜNGER, 2010). Isto dá a característica conhecida como *Multithreading* para um único núcleo que passa a atuar como múltiplos processadores. A Intel utiliza esta tecnologia sob o nome Hyper-Threading e a AMD sob o nome Cluster Multi Threading (CMT). Existem alguns casos extremos como o processador Xeon-Phi da Intel que utiliza instrução *Multi Thread* de 4 vias para cada núcleo físico.

2.5 Open Multi-Processing (OpenMP)

O compartilhamento de memória entre múltiplos processadores possibilita o acesso imediato de dados sem necessidade de comunicação explícita. Um esforço conjunto foi feito pelos vendedores de compiladores para criar um conjunto de normas para esta área que ficou conhecido como OpenMP (HAGER; WELLEIN, 2010). Nem todos os processos são paralelizáveis, algumas instruções são únicas e outras possuem interdependência entre iterações. Um programa OpenMP divide o código em regiões paralelas e seriais, i.e., regiões de linhas de comando únicas (*Single Thread*) e múltiplas (*MultiThread*).

Figura 5 – Fluxograma de uma *thread* OpenMP



Fonte: Hager & Wellein, 2010, p.144.

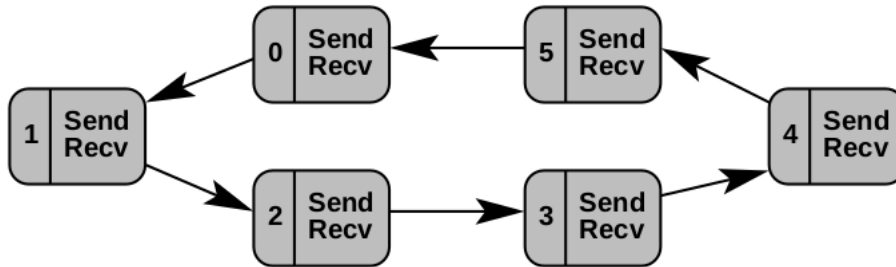
A figura 5 demonstra como um processo paralelizado pode tirar proveito de múltiplos núcleos em sua região de *multithread*. Nas regiões paralelas, cada *thread* é executada por uma CPU diferente, tornando mais rápido o processamento destes trechos.

2.6 Message Passing Interface (MPI)

A programação em paralelo para múltiplos processadores sem compartilhamento de memória torna necessário que a comunicação do acesso de dados seja feita de forma explícita. A comunicação entre processos é tida como a forma mais trabalhosa de paralelização mas também a mais flexível. Um esforço conjunto foi feito pelos vendedores de compiladores para criar um conjunto de normas para esta área, que ficou conhecido como MPI (HAGER; WELLEIN, 2010). Esta forma de paralelização, comumente utilizada em *Clusters*, se baseia no modelo *Single Program Multiple Data* (SPMD).

Existem duas formas de transferir informações entre diferentes processadores. A primeira é a estratégia do "anel" (*Ring Shift*) onde um processador envia informações apenas para o próximo nó e recebe informações apenas do nó anterior.

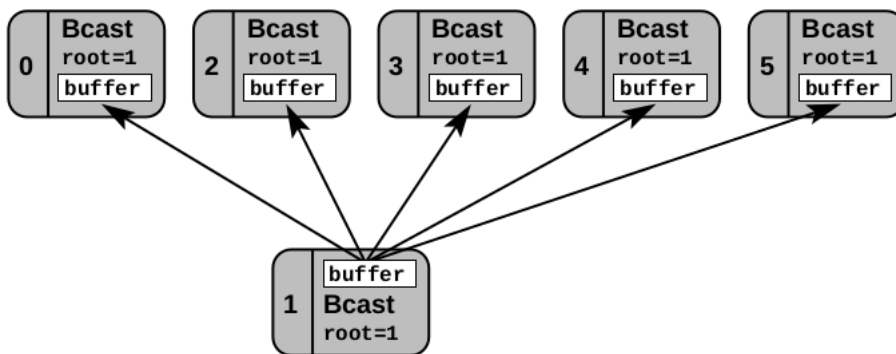
Figura 6 – MPI - Comunicação *ring shift*



Fonte: Hager & Wellein, 2010, p.211.

A segunda estratégia é utilizar um processador para controlar o processo raiz, redistribuindo os processos e informações para os outros processadores.

Figura 7 – MPI - Mestre/Trabalhador



Fonte: Hager & Wellein, 2010, p.214.

3 HPC em Python

3.1 Computação de Alta Performance

A computação científica tem se tornado o "terceiro pilar" do método científico moderno, ao lado da teoria e experimentação, isto porque a ciência se expandiu a limites que não são práticos ou sequer possíveis de se experimentar (SKUSE, 2019). A computação tornou-se mais do que uma simples ferramenta da ciência, de modo que a modelagem computacional das formulações teóricas é um fator crítico para avanços científicos e tecnológicos.

A crescente demanda por volume de processamento de dados levou ao desenvolvimento de técnicas de Computação de Alta Performance (*High Performance Computing ou HPC*). A evolução do HPC está intimamente ligada com a evolução dos processadores, pois a estrutura dos dados é otimizada para a sua arquitetura, tornando necessário aos programadores não apenas um método numérico eficiente como também um conhecimento básico dos conceitos do Hardware e Software que formam o "ecossistema" do código (HAGER; WELLEIN, 2010).

Um exemplo prático de aplicação de HPC é o uso otimizado dos *arrays* temporários na solução de expressões. Considerando a situação da figura 8, um vetor temporário é utilizado para armazenar o valor de $2,0*a$ e outro vetor temporário armazena o valor de $4,5*b$.

Figura 8 – Exemplo - Vetor Temporário (Parte 1)

```
import numpy
a = numpy.random.random((1024, 1024, 50))
b = numpy.random.random((1024, 1024, 50))

c = 2.0 * a - 4.5 * b
```

Uma pequena modificação desta expressão pode ser vista na figura 9, neste caso novamente são criados vetores temporários para $2,0*a$ e $4,5*b$, em seguida são criados vetores temporários para $\text{sen}(a)$ e $\text{cos}(b)$ que reaproveitam os vetores temporários anteriores.

Figura 9 – Exemplo - Vetor Temporário (Parte 2)

```
c = 2.0 * a - 4.5 * b + numpy.sin(a) + numpy.cos(b)
```

Utilizando parênteses desnecessários, algumas operações podem ficar mais fáceis de se interpretar por seres humanos mas a um alto custo computacional. Na figura 10 o parêntese extra força o computador a armazenar o vetor temporário $\sin(a) + \cos(b)$ sem reaproveitar os vetores anteriores. Quando se trabalha com vetores particularmente extensos, aos desatentos, é fácil esbarrar em problemas de falta de memória, além de reduzir drasticamente a performance do processador para executar a operação.

Figura 10 – Exemplo - Vetor Temporário (Parte 3)

```
c = 2.0 * a - 4.5 * b + (numpy.sin(a) + numpy.cos(b))
```

Uma boa prática de programação neste caso é demonstrada na figura 11 em que a expressão é dividida em partes menores que reduzem a quantidade de dados armazenados na memória temporária da CPU.

Figura 11 – Exemplo - Vetor Temporário (Parte 4)

```
c = 2.0 * a
c -= 4.5 * b
c += np.sin(a)
c += np.cos(b)
```

Um algoritmo otimizado reduz o custo computacional na ordem de sua eficiência, *i.e.*, se um código roda duas vezes mais rápido é como se o usuário estivesse usando dois processadores. A diferença entre um código otimizado pode chegar na casa dos milhares. É importante ressaltar que a maior parte do tempo de processamento é gasto em partes críticas do processo conhecidas como *"HotSpots"*. Então, não é necessário a otimização do programa do início ao fim, pois isto impacta negativamente o tempo de projeto, como é dito no jargão criado por Donald Knuth: A otimização prematura é a raiz de todo o mal.

3.2 Desvantagens e Vantagens de Python

Um resultado chave apresentado pela pesquisa do ano de 2019 da comunidade Stack Overflow (Developer Survey Results 2019. [StackOverflow \(2019\)](https://insights.stackoverflow.com/survey/2019#methodology)). Disponível em: <https://insights.stackoverflow.com/survey/2019#methodology>) coloca o Python como a principal linguagem de programação com a maior ascensão em uso, sendo também a segunda favorita dos usuários. A razão para isto é a simplicidade para os iniciantes e

flexibilidade para os mais experientes, mas estas facilidades possuem um custo de performance. Existem 3 razões principais que explicam porque um código em Python costuma ser lento:

1. A Flexibilidade:

Um exemplo disso é o caso da criação de vetores. Quando se cria um vetor, a CPU precisa alocar um espaço na memória com elementos consecutivos para armazenar o objeto que deve ser formado por um conjunto de informações do mesmo tipo; as "listas" do Python são estruturas mais versáteis que permitem o armazenamento de objetos constituídos por dados de diferentes tipos em um espaço de memória física não contíguo. Isto acontece porque estas listas são vetores com "endereços" que apontam para o local de armazenamento dos dados reais, o que torna a alocação mais dinâmica. Esta funcionalidade de Python torna o processo de programação mais rápido e intuitivo em troca de uma redução significativa no desempenho.

2. Python é uma linguagem interpretada:

Linguagens compiladas como C, C++ e Fortran tem seus códigos fonte transformados diretamente em linguagem de máquina tornando-as muito ágeis. Linguagens interpretadas como Java e Python são mais "amigáveis" para os programadores mas necessitam ser traduzidas para uma linguagem intermediária e só depois transformadas em linguagem de máquina, incorrendo em um custo de eficiência pela etapa extra no processamento. No caso da linguagem interpretada, a tradução desta em linguagem intermediária é considerada o código fonte.

3. Global Interpreter Lock:

Python não é uma linguagem segura contra *Multi-threading* pois a natureza dinâmica de sua programação gera conflitos durante a checagem pré-processamento, que ocorre quando duas ou mais *threads* compartilham a mesma memória. Para contornar este problema utiliza-se o protocolo Global Interpreter Lock (GIL), que proíbe o uso de *Multi-Thread* e desta forma limita a viabilidade do uso para computação científica do Python nativo.

As razões geralmente apontadas como os pontos forte da linguagem são:

1. Bibliotecas:

Existe um grande número de bibliotecas *Open Source* disponíveis na internet. Assim, o programador pode se focar muito mais na aplicação da lógica da programação e menos em implementação de funções.

2. Comunidade:

Possui uma das maiores comunidades de programadores que existe, facilitando a troca de experiência entre usuários, o processo de aprendizado e o desenvolvimento

colaborativo.

3. Simplicidade:

Esta é a principal razão pela qual os iniciantes em programação escolhem Python, por apresentar uma estrutura organizada, elegante, limpa e de fácil compreensão.

4. Versatilidade:

Com tantas limitações de desempenho, parece controverso pensar que esta linguagem possa ser utilizada em aplicações científicas. Porém é possível trocar a flexibilidade por performance e obter resultados tão bons quanto C++ ou Fortran utilizando um compilador estático como o Cython ou até mesmo os conceitos de compilação *Just In Time* (JIT) e *Ahead Of Time* (AOT) com o Numba.

3.3 Estratégia de Programação

Analisando os prós e contras de Python, observa-se que o processo de desenvolvimento do código é mais rápido pois a linguagem é mais intuitiva e flexível. Mas ao mesmo tempo, o software é mais lento. Portanto é justo afirmar que, em sua forma nativa, Python não é uma linguagem adequada para aplicações científicas envolvendo uso intensivo de capacidade de processamento.

O Princípio de Pareto é frequentemente mencionado na área de otimização de software onde é conhecida de uma forma diferente como a regra 90/10, i.e., 90% do tempo é gasto em 10% do código fonte. Uma boa estratégia neste caso é utilizar o Python nativo para as partes não críticas e trechos migrados em C++ ou Fortran para os *HotSpots* (CAI; LANGTANGEN; MOE, 2005), esta é uma solução conveniente e eficiente para aplicações científicas pois equilibra o gasto de recursos computacionais e humanos de acordo com a tarefa.

3.4 Cython

Cython é um compilador que transforma um código Python em um código C. De forma prática, é uma extensão da linguagem amplamente utilizada em aplicações científicas. As vantagens da utilização de Cython são demonstradas com o uso de um material de referência de uso livre, disponibilizado pela *Partnership for Advanced Computing in Europe* (PRACE) no curso "Python in High Performance Computing". A solução numérica para a equação da condução de calor que é dada pela equação 3.1.

$$\frac{\partial u}{\partial t} = \alpha \nabla^2 u \quad (3.1)$$

Onde $u = u(x, y, t)$ representa o campo de temperaturas e α é o coeficiente de difusão térmica. Uma aproximação numérica bidimensional para esta formulação pode ser feita com o método das diferenças conforme a equação 3.2.

$$\nabla^2 u = \frac{u(i-1, j) - 2u(i, j) + u(i+1, j)}{\Delta x^2} + \frac{u(i, j-1) - 2u(i, j) + u(i, j+1)}{\Delta y^2} \quad (3.2)$$

A evolução do campo de temperatura no tempo é dada pela equação 3.3, que representa uma marcha temporal de um campo onde o termo $\Delta t \alpha \nabla^2 u_m(i, j)$ quantifica a variação da temperatura por passo temporal que é consequência de um fluxo de calor conhecido. O passo temporal é descrito na equação 3.4.

$$u_{m+1}(i, j) = u_m(i, j) + \Delta t \alpha \nabla^2 u_m(i, j) \quad (3.3)$$

$$\Delta t < \frac{1}{4\alpha} \frac{(\Delta x)^2 (\Delta y)^2}{(\Delta x)^2 + (\Delta y)^2} \quad (3.4)$$

Obs.: O algoritmo só é estável para:

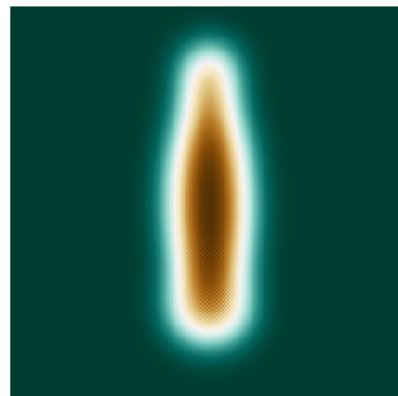
$$\Delta t < \frac{1}{4\alpha} \frac{(\Delta x \Delta y)^2}{(\Delta x)^2 (\Delta y)^2} \quad (3.5)$$

Utilizando a formulação supracitada e um campo de temperatura inicial, com uma malha de 200x200 elementos, de uma garrafa fria que tem suas paredes aquecidas abruptamente no instante $t = t_0$, observa-se graficamente a evolução do campo de temperatura por 200s conforme a figura 12 em um código escrito em Python que rodou com velocidade média de 19s em um processador quad-core i5-8250U 1.6GHz com 8GB de memória ram.

Figura 12 – Evolução do Campo de Temperaturas 200x200



(a) Campo inicial



(b) Campo final

O Python disponibiliza um módulo em C chamado **cProfile** que executa um código e mede o tempo gasto em cada etapa do processo e posteriormente escreve estes dados em um arquivo de saída. Esta operação é realizada utilizando o comando `python3 -m cProfile -o arquivo_de_saida.dat arquivo_de_entrada.py`. O cProfile escreve, no arquivo de saída, os tempos de cada etapa em ordem de execução. Um código pode facilmente ter centenas de etapas tornando necessário um tratamento dos dados deste arquivo que pode ser feita pelo módulo **pstats** que faz um ordenamento e apresentação dos dados de acordo com a necessidade do usuário.

Uma caracterização deste código foi feita utilizando o programa cProfile para identificar os possíveis *HotSpots* visando uma otimização. O resultado é apresentado na figura 13 e de acordo com o que se verifica, uma única tarefa demanda quase a totalidade do tempo de execução do processo.

Figura 13 – Caracterização do Código de Transferência de Calor

```

miura@Mugen: ~/hpc-python/cython/heat-equation
Arquivo Editar Ver Pesquisar Terminal Ajuda
(base) miura@Mugen:~/hpc-python/cython/heat-equation$ python3 heat_simple.py
Running time: 18.642656087875366
(base) miura@Mugen:~/hpc-python/cython/heat-equation$ python3 -m pstats profile.dat
Welcome to the profile statistics browser.
profile.dat% sort time
profile.dat% stats 10
Tue Oct 29 13:13:55 2019    profile.dat

      633410 function calls (622830 primitive calls) in 19.898 seconds

Ordered by: internal time
List reduced from 3292 to 10 due to restriction <10>

ncalls  tottime  percall  cumtime  percall filename:lineno(function)
    200   19.349   0.097   19.349   0.097 /home/miura/hpc-python/cython/heat-equation/evolve.py:3(evolve)
    269    0.033   0.000    0.033   0.000 {built-in method marshal.loads}
     2    0.026   0.013    0.026   0.013 {built-in method matplotlib._png.write_png}
1852/1522 0.023   0.000    0.031   0.000 {built-in method numpy.core.multiarray_umath.implement_array_function}
1073/982 0.022   0.000    0.060   0.000 {built-in method builtins._build_class_}
    2467  0.020   0.000    0.034   0.000 /home/miura/anaconda3/lib/python3.7/inspect.py:613(cleandoc)
    317   0.015   0.000    0.015   0.000 {built-in method builtins.compile}
    3244  0.014   0.000    0.015   0.000 {built-in method numpy.array}
    48/46  0.013   0.000    0.017   0.000 {built-in method _imp.create_dynamic}
     8    0.013   0.002    0.013   0.002 {built-in method matplotlib._image.resample}

```

Em Python, a definição do tipo de dado das variáveis é feita dinamicamente, o que torna mais prática a programação, mas esta opção faz com que seja necessário a verificação do tipo das variáveis para afirmar sua compatibilidade sempre que forem feitas operações entre elas. Na figura 14, analisando o trecho do código responsável pelo maior impacto no tempo de execução com uma ferramenta da biblioteca Cython, percebe-se que a formulação de diferenças finitas não é eficiente pois possui muitas interações do tipo Python. Esta tarefa foi feita utilizando o comando `cython -a arquivo.extensao` que gera um arquivo html.

Figura 14 – Tipos de Interação do Código

```
Generated by Cython 0.29.13

Yellow lines hint at Python interaction.
Click on a line that starts with a "+" to see the C code that Cython generated for it.

Raw output: evolve.c

+01: import numpy as np
02:
+03: def evolve(u, u_previous, a, dt, dx2, dy2):
04:     """Explicit time evolution.
05:     u:          new temperature field
06:     u_previous: previous field
07:     a:          diffusion constant
08:     dt:         time step. """
09:
+10:     n, m = u.shape
11:
+12:     for i in range(1, n-1):
+13:         for j in range(1, m-1):
+14:             u[i, j] = u_previous[i, j] + a * dt * ( \
+15:                 (u_previous[i+1, j] - 2*u_previous[i, j] + \
+16:                  u_previous[i-1, j]) / dx2 + \
+17:                 (u_previous[i, j+1] - 2*u_previous[i, j] + \
+18:                  u_previous[i, j-1]) / dy2 )
+19:     u_previous[:] = u[:]
20:
```

Alguns ajustes foram feitos neste trecho do código para torná-lo mais rápido, como transformar esta função em uma extensão em C, definir o tipo das variáveis e trocar as divisões por multiplicações. Uma outra análise do código otimizado foi feita e pode ser vista na figura 15. Utilizando a nova extensão otimizada, o código foi executado novamente e desta vez obteve-se o tempo médio de 0,02s, um aumento de desempenho com um fator de aproximadamente 10^3 . No trecho otimizado foram removidos as verificações de tipo de variáveis, a checagem de divisão por 0 e a opção de índices negativos do Python.

Figura 15 – Tipos de Interação Código Otimizado

```
Generated by Cython 0.29.13
Yellow lines hint at Python interaction.
Click on a line that starts with a "+" to see the C code that Cython generated for it.
Raw output: evolve.c
+01: # cython: profile=True
02:
+03: import numpy as np
04: cimport numpy as cnp
05:
06: import cython
07:
08: @cython.boundscheck(False)
09: @cython.wraparound(False)
10: @cython.cdivision(True)
+11: def evolve(cnp.ndarray[cnp.double_t, ndim=2]u,
12:            cnp.ndarray[cnp.double_t, ndim=2]u_previous,
13:            double a, double dt, double dx2, double dy2):
14:     """Explicit time evolution.
15:     u:          new temperature field
16:     u_previous: previous field
17:     a:          diffusion constant
18:     dt:         time step. """
19:
+20:     cdef int n = u.shape[0]
+21:     cdef int m = u.shape[1]
22:
23:     cdef int i,j
24:
25:     # Multiplication is more efficient than division
+26:     cdef double dx2inv = 1. / dx2
+27:     cdef double dy2inv = 1. / dy2
28:
+29:     for i in range(1, n-1):
+30:         for j in range(1, m-1):
+31:             u[i, j] = u_previous[i, j] + a * dt * ( \
+32:                 (u_previous[i+1, j] - 2*u_previous[i, j] + \
+33:                 u_previous[i-1, j]) * dx2inv + \
+34:                 (u_previous[i, j+1] - 2*u_previous[i, j] + \
+35:                 u_previous[i, j-1]) * dy2inv )
+36:     u_previous[:] = u[:]
37:
```

Após a otimização, o mesmo problema foi re-visitado utilizando uma malha de 1056x1056 elementos e gerou o resultado apresentado na figura 16 em 2,77s.

Figura 16 – Evolução do Campo de Temperaturas 1056x1056



3.5 Computação em Nuvem

Computação em nuvem é uma forma de prestação de serviço pela internet que se baseia em compartilhamento de recursos como capacidade de armazenamento e processamento de dados. As vantagens em seu emprego são inúmeras, dentre elas destaca-se: a disponibilidade do serviço 24/7; escalabilidade, pois o usuário só paga pelo que consumir quando consumir; economia de escala e uso de equipamentos de alta performance por assinatura mensal, sem investimento inicial.

Apesar de não ser diretamente relacionado com a computação de alta performance, a computação em nuvem ou *Cloud Computing* é um tema interessante a ser abordado nesta seção pois é uma alternativa inteligente para a formação de clusters de HPC. A solução é vantajosa tanto economicamente quanto operacionalmente por capitalizar sobre a economia de escala dos serviços de manutenção, manutenção, atualização de hardware, não ter investimento inicial e não ter prejuízos por capacidade ociosa.

Como exemplo, um provedor deste serviço é a *Amazon Web Services* (AWS). É possível contratar o uso de máquinas virtuais por meio de uma plataforma na *web* em que o usuário seleciona o sistema operacional e as especificações que julgar necessárias. Uma pesquisa rápida no *market place* da AWS, realizada em 15 de setembro de 2019 às 18h, mostrou ser possível alugar uma máquina com 384GB de memória ram, 96 núcleos virtuais e uma taxa de transferência de dados de 20Gbps por US\$ 6,624 por hora.

4 Ferramentas OpenSource

4.1 Desenvolvimento de Soluções OpenSource

O uso de soluções de softwares *Open Source* (OSS - *Open Source Software*) tem se tornado cada vez mais popular, possibilitando avanços importantes na área de pesquisa científica que se favorece com o compartilhamento de informações para desenvolvimento. De acordo com [West e Gallagher \(2006\)](#), as seguintes vantagens podem ser observadas para o meio acadêmico:

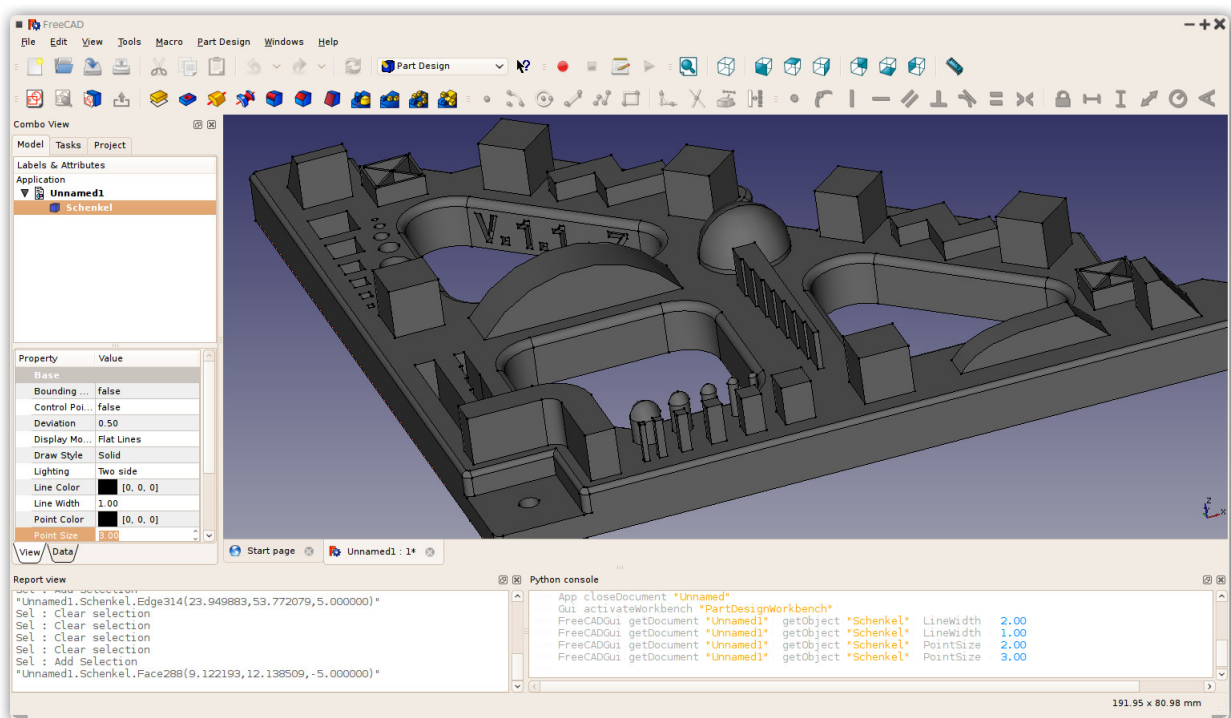
- i Custo reduzido: Os OSS costumam ser de uso livre, tornando-se imediatamente atrativos para uso acadêmico. É importante ressaltar que nem todo OSS é gratuito. Em alguns casos é cobrada uma taxa por serviços adicionais e algumas vezes existe cobrança para seu uso empresarial.
- ii Disponibilidade do código fonte: A disponibilidade do código fonte permite aos pesquisadores entenderem a solução proposta pelo autor e melhorá-lo ou criar uma versão própria da solução a partir das ideias obtidas, resultando em softwares de melhor qualidade.
- iii Maturidade: Os OSS estão atingindo níveis de confiança cada vez mais altos com versões estáveis e confiáveis.

A curva de aprendizado de uso de um OSS costuma ser mais severa e o suporte técnico é mais limitado, por estas e outras razões, seu uso deve ser adequadamente justificado para aplicações comerciais. Para o projeto em questão, serão utilizados os softwares: Free-Cad para criação de modelos sólidos; GMSH para geração de malhas nos modelos sólidos; Meshio para estruturar e converter o formato das malhas; Paraview para o pós-tratamento dos dados; Cython para criar extensões em C. Uma característica fundamental que todos estes programas têm em comum é a extensibilidade, *i.e.*, a facilidade de modificação pelo usuário dos recursos disponíveis, bem como a integração com outros softwares.

4.2 FreeCad

O FreeCad é uma ferramenta de modelagem originalmente desenvolvida para uso de engenharia mecânica com ênfase na criação de projetos parametrizados. Um dos fatores que influenciaram fortemente a popularização de seu uso foi a possibilidade de utilização de linguagem de programação Python para acelerar e flexibilizar o processo de desenvolvimento de um produto (FALCK; FALCK; COLLETTE, 2012). Automatizando tarefas simples e a manipulação direta na criação de geometrias tornam-se inúmeras as possibilidades. Praticamente toda a aplicação pode ser acessada por um interpretador Python. As versões mais atuais também contam com suporte para simulações pelo método dos elementos finitos (FEM).

Figura 17 – Demonstração de Funcionalidade do FreeCad



Fonte: https://www.freecadweb.org/wiki/About_FreeCAD

4.3 GMSH

GMSH é um OSS cujo principal propósito é gerar malhas 2D e 3D, o projeto data de 1996. Na época, não existiam soluções *Open Source* e as ferramentas pagas eram muito caras, então os autores decidiram criar um OSS rápido, leve, com interface gráfica amigável ao usuário (GEUZAIN; REMACLE, 2009). O escopo era fazer um programa que combinasse um gerador de CAD, gerador de malha e um pós-processador de dados. Os pontos fortes da aplicação são:

- i Velocidade e leveza: Para cumprir este propósito, o programa foi inteiramente escrito em C++.
- ii Amigável ao usuário: Apesar de poder ser empregado como uma biblioteca, o programa conta com uma interface gráfica que traz uma solução completa para usuários iniciantes.
- iii Robustez e portabilidade: É possível utilizar uma ampla gama de dados de entrada com uma certa tolerância a erros de *input* do usuário.
- iv *Scriptability*: É possível utilizar o GMSH em rotinas de forma que todas as entradas são parametrizadas. Assim, o GMSH pode facilmente ser inserido em uma cadeia computacional.

O programa é dividido em 4 módulos: 1)geometria, 2)malha, 3)*solver* e 4)pós-processamento. Apenas o módulo de geração de malha será de interesse para este projeto.

4.4 Meshio

Meshio é uma biblioteca de código aberto capaz de estruturar malhas e converter seu formato de forma prática. É utilizado como uma sub-rotina. A biblioteca foi publicada na comunidade GitHub por Nico Schlömer sob uma licença do tipo *CopyLeft*, *i. e.*, um OSS de uso irrestrito com cláusula de reciprocidade que exige que os mesmos direitos sejam preservados para qualquer derivado deste trabalho.

4.5 ParaView

O ParaView é uma ferramenta científica de visualização e análise de grandes conjuntos de dados. Apesar de ter sido originalmente desenvolvida para aplicações extremas, houve por parte dos desenvolvedores um esforço para tornar o programa amigável e adequado para visualização de conjuntos menores de dados (AYACHIT, 2015). Possui interface gráfica interativa com técnicas de visualização que incluem paralelismo de dados. O processo de desenvolvimento e as ferramentas de visualização disponíveis, bem como exemplos de aplicação, são descritos por Ahrens, Geveci e Law (2005) de Los Alamos National Laboratory.

4.6 Cython

Como dito anteriormente, Python é uma linguagem interpretada. A implementação original de Python é o CPython desenvolvido por Guido Van Rossum. O CPython é um

programa em C que funciona como uma interface que compila um código Python em código Byte que depois será transformado em código binário para ser executado pela CPU. Python é uma linguagem inerentemente lenta mas uma forma imprática de tornar o código mais rápido seria, por exemplo, declarar as variáveis diretamente em CPython (a alocação não seria mais dinâmica) e evitar conversões. A ideia é imprática porque necessita que o usuário tenha um profundo conhecimento de como o Python funciona internamente.

O Cython é uma solução desenvolvida por Robert Bradshaw, Stefan Behnel, *et al.* Trata-se de um *superconjunto* de Python (SMITH, 2015) que escreve extensões em C e, segundo (HERRON, 2016), torna este processo tão simples quanto escrever em Python nativamente.

5 Elementos de Contorno

5.1 Condução de Calor Bidimensional e Tridimensional

Como forma de demonstrar o método dos elementos de contorno, nesta seção serão desenvolvidas as formulações para condução de calor bidimensional e tridimensional com elementos constantes. Serão apresentados os resultados principais de cada etapa. Estas deduções foram retiradas dos textos de [Albuquerque \(2012\)](#), [Katsikadelis \(2016\)](#) e [Loyola \(2017\)](#).

5.1.1 Conhecimento Preliminar

A equação governante da teoria potencial utilizada pelo BEM é dada pela equação 5.1. Para $f \neq 0$, esta é conhecida como a equação de Poisson enquanto para $f = 0$ é conhecida como a equação de Laplace.

$$\nabla^2 u = f(x, y) \quad (x, y \in \Omega) \quad (5.1)$$

A equação 5.1 descreve muitos fenômenos físicos como fluxo em regime permanente de fluido, calor, eletricidade, tensão em elementos sólidos, entre outros. A solução para o campo é buscada em um domínio Ω fechado de forma que satisfaça as condições no contorno Γ que podem ser dadas por *i*, *ii* ou uma combinação linear entre eles.

i Condição de Dirichlet

$$\nabla^2 = f \text{ em } \Omega$$

$$u = \bar{u} \text{ em } \Gamma$$

ii Condição de Neumann

$$\nabla^2 = f \text{ em } \Omega$$

$$\frac{\partial u}{\partial n} = \bar{u}_n \text{ em } \Gamma$$

5.1.2 Solução Fundamental Para Temperatura e Fluxo de Calor

A equação de Fourier para condução de calor é descrita como:

$$\nabla^2 T = -\frac{\dot{q}_g}{k} \quad (5.2)$$

Uma solução fundamental para a equação de Laplace da condução de calor, para problemas bidimensionais, deduz que:

$$T^* = \frac{-1}{2\pi k} \ln(r) \quad (5.3)$$

Onde r é a distância entre o ponto fonte e o ponto campo.

Define-se o fluxo de calor através do contorno pela expressão:

$$q = -k \frac{\partial T}{\partial n} \quad (5.4)$$

A solução fundamental para o fluxo de calor bidimensional é dada por:

$$q^* = -k \frac{\partial T^*}{\partial n} \quad (5.5)$$

Substituindo 5.3 em 5.5 e simplificando, a solução fundamental do fluxo, para o caso bidimensional, se apresenta na forma:

$$q^* = \frac{1}{2\pi r^2} [(x - x_d)n_x + (y - y_d)n_y] \quad (5.6)$$

Em uma segunda abordagem, a solução fundamental para a equação de Laplace, para problemas tridimensionais, é apresentada na equação 5.7.

$$T^* = \frac{1}{4\pi r} \quad (5.7)$$

A solução fundamental para o fluxo de calor tridimensional é dada por:

$$q^* = -k \frac{\partial T^*}{\partial n} = -\frac{\partial r}{4\pi r} \quad (5.8)$$

5.1.3 Formulação dos Elementos de Contorno

A partir da equação de Laplace para o campo de temperatura, deduz-se a equação da integral de contorno. Uma formulação generalizada desta integral é descrita como:

$$cT(x_d, y_d) = \int_s T q^* ds - \int_s T^* q ds \quad (5.9)$$

$$c = \begin{cases} 1, & \text{se } x_d, y_d \in \text{ao dom\u00ednio} \\ \frac{\theta_{int}}{2\pi}, & \text{se } x_d, y_d \in \text{ao contorno} \\ 0, & \text{se } x_d, y_d \notin \text{ao dom\u00ednio} \end{cases} \quad (5.10)$$

Obs.: θ_{int} \u00e9 o \u00e2ngulo interno do contorno de forma que, se o ponto fonte encontra-se em um ponto suave do contorno, *i.e.*, n\u00e3o se encontra em um canto, $c = \frac{1}{2}$.

Para fins pr\u00e1ticos de engenharia, a solu\u00e7\u00e3o anal\u00edtica da equa\u00e7\u00e3o 5.9 est\u00e1 fora de quest\u00e3o. Com os avan\u00e7os computacionais \u00e9 poss\u00edvel obter uma solu\u00e7\u00e3o num\u00e9rica do problema. Para um dom\u00ednio arbitr\u00e1rio Ω com contorno Γ , o BEM prop\u00f5e segmentar o contorno em N elementos, n\u00e3o necessariamente iguais, chamados de "elementos de contorno". Desta forma, transforma-se a integral de contorno em uma soma das integrais ao longo de cada elemento. Duas aproxima\u00e7\u00f5es s\u00e3o feitas por conta disso, a aproxima\u00e7\u00e3o da geometria imposta pelo formato dos elementos e a aproxima\u00e7\u00e3o da forma como a propriedade varia ao longo dos elementos. Os tipos de elemento normalmente utilizados, classificados de acordo com a ordem da aproxima\u00e7\u00e3o, s\u00e3o: elementos constantes, lineares e parab\u00f3licos ou quadr\u00e1ticos (KATSIKADELIS, 2016). As figuras 18 e 19 ilustram estes elementos para os casos bidimensionais e tridimensionais.

Figura 18 – Alguns tipos de elemento de contorno bidimensionais.

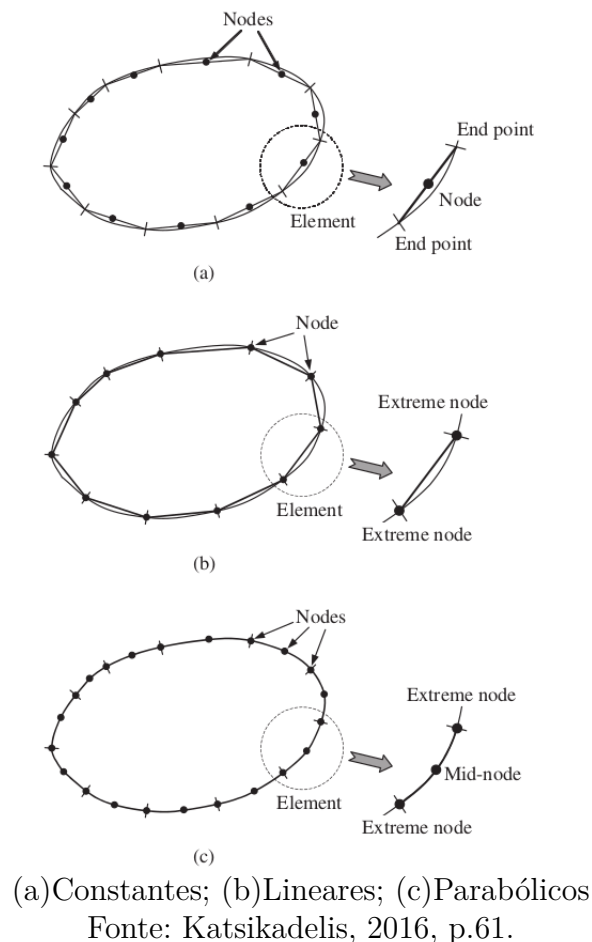
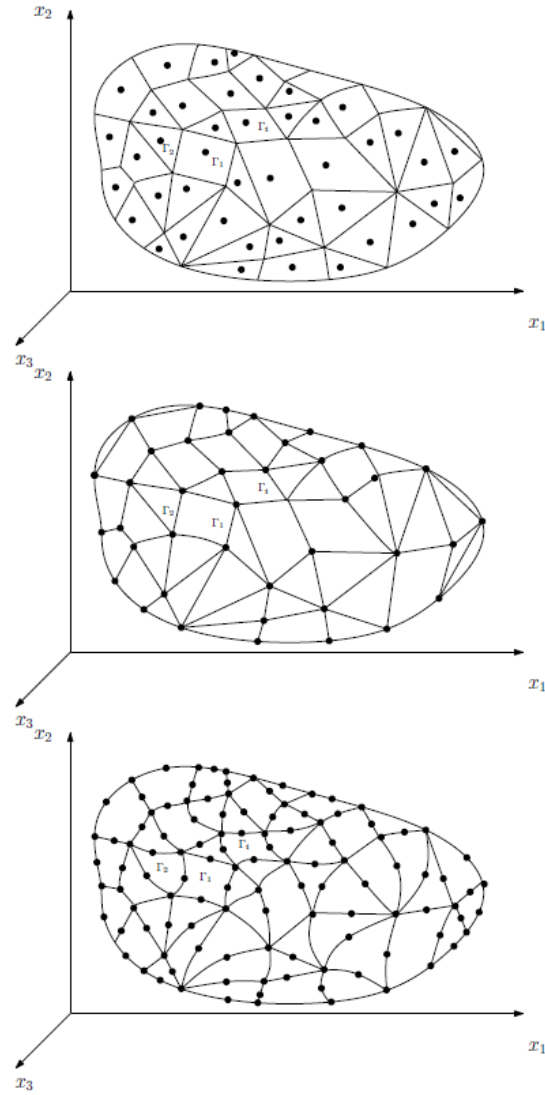


Figura 19 – Alguns tipos de elemento de contorno.



(a)Constantes; (b)Lineares; (c)Parabólicos
 Fonte: Loyola, 2017, p.22.

5.1.4 Elementos Constantes

Na formulação constante bidimensional, conforme demonstrado na figura 18 (a), o nó estará sempre no meio do elemento, desta forma $c = \frac{1}{2}$. Outra consideração é que a temperatura T e o fluxo q são assumidos constantes ao longo do elemento, portanto, podem sair da integral e a equação 5.9 pode ser reescrita da forma:

$$-\frac{1}{2}T^i(x_d, y_d) + \sum_{j=1}^n \left[T_j \int_{\Gamma_j} q^* d\Gamma \right] = \sum_{j=1}^n \left[q_j \int_{\Gamma_j} T^* d\Gamma \right] \quad (5.11)$$

A equação 5.11 também vale para casos tridimensionais. Uma forma de discretizar a superfície da geometria tridimensional é com elementos triangulares, conforme pode ser visto na figura 19. Os nós se encontram no centroide do elemento e as propriedades são

assumidas constantes ao longo de toda sua superfície. Como o j -ésimo nó estará sempre no centroide do j -ésimo elemento, ele estará localizado em uma região suave do contorno (LOYOLA, 2017). Da mesma forma que o caso bidimensional, $c = \frac{1}{2}$.

As integrais da equação 5.11 relacionam o i -ésimo, onde a solução fundamental é aplicada, com o j -ésimo nó. Trata-se de uma quantificação da contribuição dos valores T_j e q_j na formação de T^i e são chamados de "coeficiente de influência" (KATSIKADELIS, 2016). Estes coeficientes denotados por H'_{ij} e G_{ij} são definidos como:

$$H'_{ij} = \int_{\Gamma_j} q^* d\Gamma \quad (5.12)$$

$$G_{ij} = \int_{\Gamma_j} T^* d\Gamma \quad (5.13)$$

Substituindo 5.12 e 5.13 em 5.11, obtém-se a forma discreta da integração de contorno:

$$-\frac{1}{2}T^i + \sum_{j=1}^n [H'_{ij}T_j] = \sum_{j=1}^n [G_{ij}q_j] \quad (5.14)$$

Ainda:

$$H_{ij} = H'_{ij} - \frac{1}{2}\delta_{ij} \quad (5.15)$$

Com 5.15, a equação 5.14 se reescreve como:

$$\sum_{j=1}^n [H_{ij}T_j] = \sum_{j=1}^n [G_{ij}q_j] \quad (5.16)$$

Escrevendo a equação 5.16 em forma linear algébrica:

$$[H] \{T\} = [G] \{q\} \quad (5.17)$$

Onde $[H]$ e $[G]$ são matrizes quadradas $N \times N$, T e q são vetores $N \times 1$. Para cada elemento, sempre que se souber a temperatura é possível obter o fluxo e vice-versa. O sistema algébrico $N \times N$ precisa de N condições de contorno, sendo uma condição de contorno por elemento. Para um sistema algébrico linear isto é equivalente a dizer que o problema é "bem colocado", *i.e.*, existe uma solução que é única. Uma maneira mais fácil de manipular este sistema é reescrevendo todas quantidades desconhecidas para uma matriz do lado esquerdo da equação e as quantidades conhecidas à direita.

$$[A] \{x\} = \{b\} \quad (5.18)$$

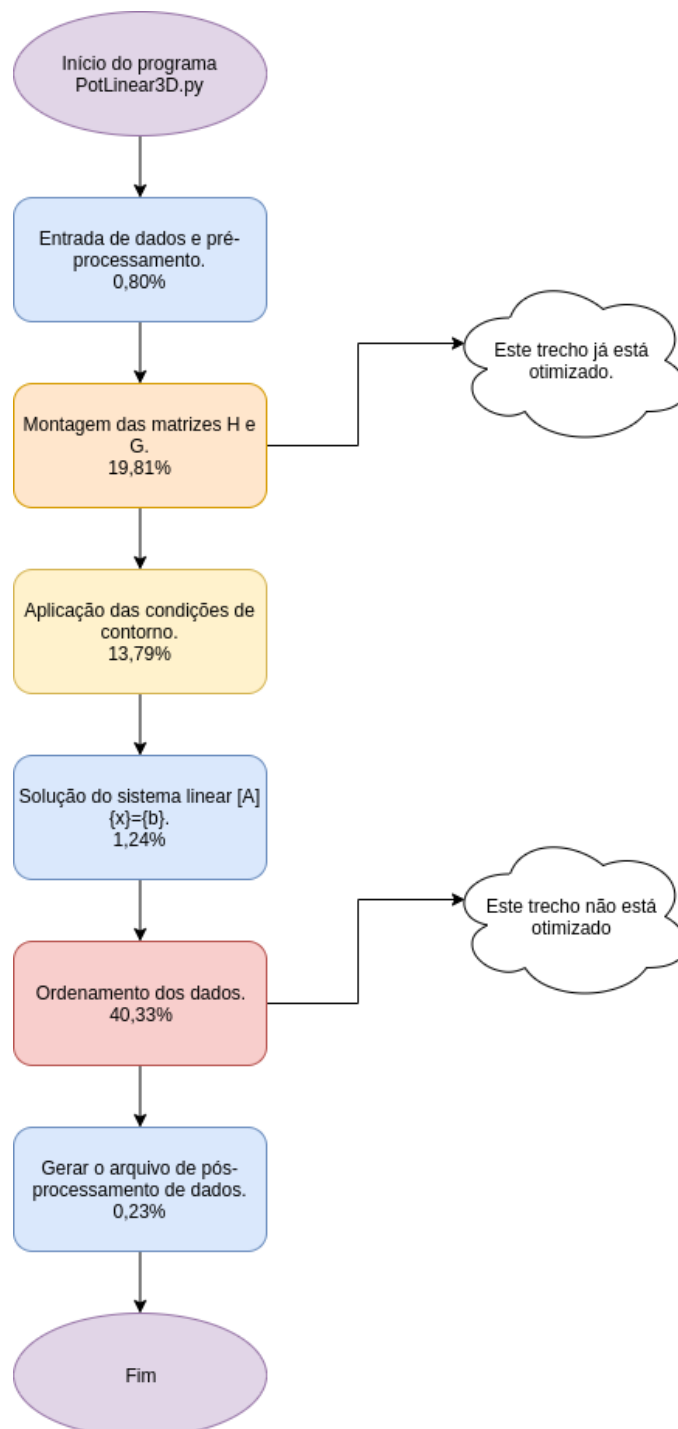
Finalmente, a solução do BEM é dada pela solução do sistema linear:

$$\{x\} = [A]^{-1} \{b\} \quad (5.19)$$

5.2 Análise Preliminar do Código PotLinear3D

A figura 20 mostra o fluxograma da implementação em análise, o programa "PotLinear3D.py". Inicialmente é feita a caracterização do código, que identifica o tempo gasto em cada etapa, o que se pode chamar de perfilagem. Com base nos temporizadores próprios do código, montou-se o fluxograma de tarefa com o respectivo impacto de cada etapa no tempo de execução. Obs.: O fluxograma contém apenas as etapas macro de interesse no processo e o somatório de todas as etapas não será equivalente ao tempo total de execução.

Figura 20 – Fluxograma PotLinear3D



É interessante observar que apesar de estar escrito em Python, a maior parte dos trechos do código não possuem impacto significativo e uma otimização não implicaria em um ganho de performance perceptível. Os dois trechos mais críticos são da montagem das matrizes [H] e [G] e o ordenamento dos dados. A montagem das matrizes já está previamente otimizada, neste caso, baseando-se no fluxograma da figura 20 a escolha natural para otimização seria o trecho de ordenamento dos dados, no entanto, este trabalho não irá focar neste trecho. Caso o objetivo fosse otimizar a sub-rotina "monta_Teq", uma avaliação preliminar do trecho, demonstrada na figura 21, indica que podem haver ganhos de performance pela definição das variáveis e pela vetorização dos *loops for*, nativa da linguagem C. A figura 22 apresenta o trecho reescrito após torná-lo uma extensão em C, com as variáveis declaradas.

Figura 21 – Avaliação da sub-rotina monta_Teq

```

%% SEPARAÇÃO DOS VALORES DE T e Q
def monta_Teq(NOS, ELEM, CDC, x, T_pr):
    """
    Programa: monta_Teq.m
    Descrição: Separa o vetor de valores calculados {x} e os valores
                prescritos [CDC] em valores de potencial {T} e valores de
                fluxo {q}.
    Autor:      Gustavo Gontijo

    Última modificação: 12/03/2014 - 18h10min
    """

    nnos = NOS.shape[0] # Nro de nós
    nelelem = ELEM.shape[0] # Nro de elementos
    T = np.zeros(nnos) # Inicia o vetor T (potenciais)
    q = np.zeros(3*nelelem) # Inicia o vetor q (fluxos)

    # Coloca os valores prescritos nos vetores T e q
    for i in range(0,nelelem):
        tipo_cdc = CDC[i,0]
        valor_cdc = CDC[i,1]
        if tipo_cdc == 0: # 0 potencial é prescrito
            indT = ELEM[i]
            for k in range(0,3):
                T[indT[k]] = valor_cdc
        else: # 0 fluxo é prescrito
            indq = (i*3) + np.array([0, 1, 2])
            for k in range(0,3):
                q[indq[k]] = valor_cdc

    # Adiciona nos vetores T e q os valores calculados (estão em {x})
    for i in range(0,nnos):
        sw = 0
        for j in range(0,nelelem):
            if T_pr[i,j] == 1: # 0 nó teve potencial prescrito no elemento j,
                               # portanto, o valor calculado é de fluxo.
                sw = 1
                for k in range(0,3):
                    if ELEM[j,k] == i:
                        indq = (j*3-3) + k - 1

                q[indq] = x[i]

        if sw==0: # 0 nó não teve potencial prescrito em nenhum elemento,
                 # portanto, o valor calculado é de potencial.
            T[i] = x[i]

    return T, q

```

Figura 22 – sub-rotina monta_Teq reescrita

```

import numpy as np
import numpy as cnp

import cython

cimport cython
cimport openmp
from cython.parallel cimport prange
from cython.parallel cimport parallel

@cython.boundscheck(False)
@cython.wraparound(False)
@cython.cdivision(True) # to avoid the exception checking
@cython.nonecheck(False)

@cython.initializedcheck(False)

def monta_Teq(
    cnp.ndarray[cnp.float64_t, ndim=2]NOS,
    cnp.ndarray[cnp.int64_t, ndim=2]ELEM,
    cnp.ndarray[cnp.float64_t, ndim=2]CDC,
    cnp.ndarray[cnp.float64_t, ndim=1]x,
    T_pr
):
    """
    Programa: monta_Teq.m
    Descrição: Separa o vetor de valores calculados {x} e os valores
                prescritos [CDC] em valores de potencial {T} e valores de
                fluxo {q}.
    Autor:      Gustavo Gontijo

    Última modificação: 12/03/2014 - 18h10min
    """

    cpdef int nnos = NOS.shape[0] # Nro de nós
    cpdef int nelelem = ELEM.shape[0] # Nro de elementos
    cpdef cnp.ndarray[cnp.float64_t, ndim=1]T = np.zeros(nnos) # Inicia o vetor T (potenciais)
    cpdef cnp.ndarray[cnp.float64_t, ndim=1]q = np.zeros(3*nelem) # Inicia o vetor q (fluxos)

    cdef int i, j, k

    # Coloca os valores prescritos nos vetores T e q

    cdef float tipo_cdc, valor_cdc
    cpdef cnp.ndarray[cnp.long_t, ndim=1]indT
    cpdef cnp.ndarray[cnp.long_t, ndim=1]indq

    for i in range(0,nelem):
        tipo_cdc = CDC[i,0]
        valor_cdc = CDC[i,1]
        if tipo_cdc == 0: # 0 potencial é prescrito
            indT = ELEM[i]
            for k in range(0,3):
                T[indT[k]] = valor_cdc
        else: # 0 fluxo é prescrito
            indq = (i*3) + np.array([0, 1, 2])
            for k in range(0,3):
                q[indq[k]] = valor_cdc

    # Adiciona nos vetores T e q os valores calculados (estão em {x})

    cdef int indr
    for i in range(0,nnos):
        sw = 0
        for j in range(0,nelem):
            if T_pr[i,j] == 1: # 0 nó teve potencial prescrito no elemento j,
                               # portanto, o valor calculado é de fluxo.
                sw = 1
                for k in range(0,3):
                    if ELEM[j,k] == i:
                        indr = (j*3-3) + k - 1

                q[indr] = x[i]

        if sw==0: # 0 nó não teve potencial prescrito em nenhum elemento,
                 # portanto, o valor calculado é de potencial.
            T[i] = x[i]

    return T, q

```

Mesmo com a implementação do trecho em Cython, as expectativas iniciais não se concretizaram e o código não apresentou diferença de performance mensurável. Estudos adicionais serão necessários para compreender o motivo.

6 Otimização do Código PotLinear3D

6.1 Paralelização da montagem das matrizes [H] e [G]

A parte do código referente a montagem das matrizes [H] e [G] apresenta uma carga de trabalho, dada por uma integração numérica, facilmente divisível por não haver interdependência entre os resultados. Este tipo de carga de trabalho é conhecida como *Embarrassingly Parallel*, que em tradução livre seria uma região "fácilmente paralelizável". O completo oposto desse caso é o da carga de trabalho denominada *Intrinsically Sequential*; esta expressão é utilizada para os casos onde a paralelização é impossível.

De fato, o problema da montagem das matrizes [H] e [G] é um bom candidato para se observar os benefícios da paralelização, portanto, este capítulo trará a análise comparativa deste trecho sendo executado de forma sequencial e de forma paralela utilizando as diretivas OpenMP que tratam do paralelismo com compartilhamento de memória. Para tanto, é necessário entender o que se espera obter como resultado desta mudança. Todas as rotinas em análise neste capítulo estão disponíveis nos anexos para consulta.

6.1.1 Aceleração do Código (*SpeedUp*)

De forma simplificada, vamos considerar que a aceleração de um processo é dada por:

$$speedup = \frac{T_s}{T_p} \quad (6.1)$$

T_p é o tempo total gasto pelo código paralelizado por n núcleos, T_s é o tempo da versão sequencial deste código e *speedup* é a aceleração.

Não existem códigos sem partes sequenciais, por menores que sejam. Em algum momento todo algoritmo vai ter que iniciar a partir de um processo único que pode se separar em regiões paralelas e após isso retornar à região sequencial. Dito isto, o senso comum é que só é possível se beneficiar de uma aceleração, dada por paralelização, em

regiões paralelas. Sempre haverá a carga de trabalho sequencial (S) e a paralela (P); desta forma:

$$T_p = S + P \quad (6.2)$$

Os possíveis casos de aceleração, para uma carga de trabalho dividida entre n núcleos, são:

$speedup \geq n$ - Este caso é raríssimo e só ocorre quando existem problemas no código sequencial como uma quantidade de informações que não cabe na memória cache e força o processador a acessar a memória principal consumindo mais tempo. Em tese seria possível obter tal aceleração caso a paralelização reduzisse o tamanho do problema em partes menores que não extrapolam um valor limite de memória mas, em geral, não se espera que aconteça.

$n > speedup \geq 1$ - Aqui costumam cair a maior parte dos casos. Quanto mais próximo de n , maior a eficiência da paralelização. Não se espera atingir o n pois sempre existe a carga de trabalho sequencial e também o tempo gasto para alocar recursos todas as vezes que uma *Thread* recebe uma tarefa, conhecido como **Overhead Call** ou em tradução livre uma "Chamada de Cabeçote" que corresponde a um tempo de comunicação. Quanto maior o número de *Threads*, abertas na região paralela, maior o tempo gasto com *Overhead Call*.

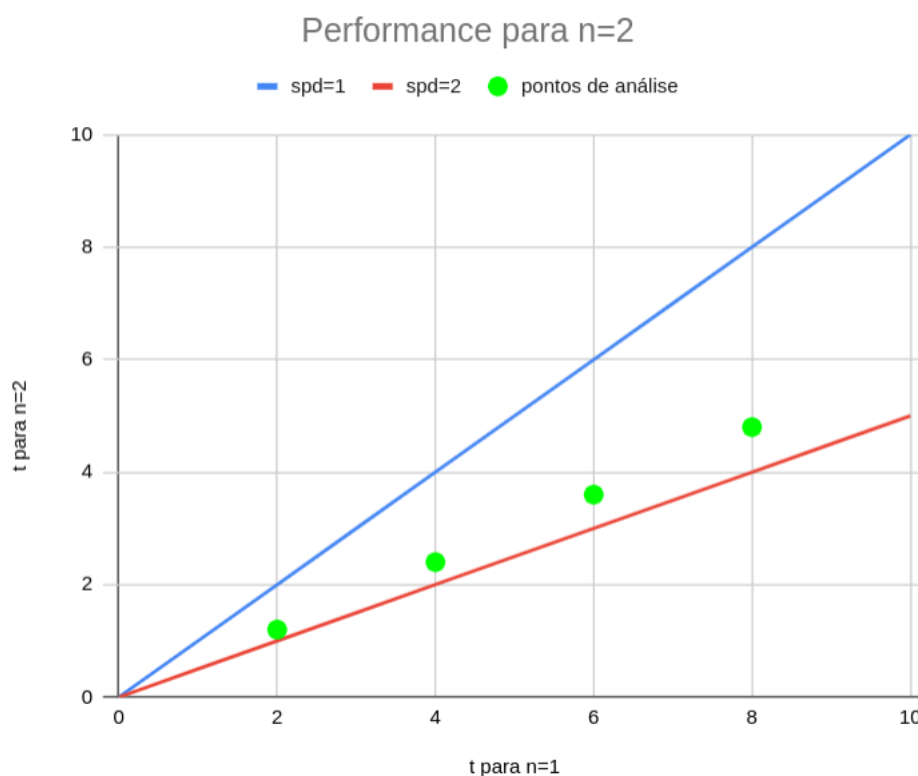
$1 > speedup$ - Esse caso ocorre somente quando existem *bugs* na região paralela do código. Pode ser causado, por exemplo, pelo GIL.

É possível abrir um número de *Threads* maior do que o número de núcleos. Mas nesse caso, não haverá ganho de aceleração pois as threads excedentes não funcionarão de forma paralela e sim concorrente, adicionando apenas o tempo de *Overhead Call*.

A figura 23 traz uma ilustração de como será feita a análise do desempenho do PotLinear3D. O eixo x representa o tempo gasto por um único processador para realizar uma tarefa enquanto o eixo y é o tempo gasto por n processadores com a mesma tarefa, no caso do exemplo, $n = 2$. A linha azul representa o limite no qual $speedup = 1$ enquanto a linha vermelha representa $speedup = n$. Os pontos verdes são a intercessão dos dados temporais obtidos rodando o programa; cada ponto verde equivale a uma malha diferente. A metodologia proposta é de analisar 3 malhas diferente utilizando, em cada ponto, uma média de tempo de 10 execuções. Serão estudados os casos para 2, 4, 6 e 8 *Threads*. Lembrando que qualquer ponto compreendido entre as duas linhas de limite representa um ganho de desempenho que é maior quanto mais próximo da linha vermelha. O segundo ponto a se observar é que a aceleração obtida é o inverso da inclinação da curva.

Para tornar esta análise mais prática, foi criado um algoritmo que irá executar apenas a parte do código referente à criação das matrizes [H] e [G], alternando as malhas, o número de núcleos e a rotina de calculo utilizada. O código "PotLinear3D_tempos.py" está disponível nos anexos.

Figura 23 – Gráfico para análise de desempenho



6.1.2 Consistência do Código

Na programação em paralelo com compartilhamento de memória existe uma grande facilidade de comunicação entre as unidades de processamento (CPUs) pois a memória é de domínio comum. Por outro lado, isto introduz novas dificuldades pois a ordem de execução de uma tarefa pode alterar o resultado. Para isso existem os Modelos de Consistência de dados.

Conforme definido por [Lamport \(2016\)](#), um sistema de multiprocessadores é dito consistente se o resultado de qualquer execução for como se as operações fossem executadas de forma sequencial, e a operação individual dos processadores aparece na ordem especificada pelo programa. A ideia funciona mas o custo de definir ordens específicas de atuação dos processadores é grande e perde-se o potencial de aceleração. Outros modelos de consistência flexíveis também foram propostos e, quanto mais flexível, maior o ganho de performance possível porém a um custo alto por parte da programação pois exige que o programador entenda a arquitetura do *Hardware* utilizado para prever em qual momento quais informações estarão disponíveis.

Segundo [Chapman, Jost e Pas \(2008\)](#), o OpenMP serve justamente para equilibrar esses extremos, tornando automáticas algumas dessas operações de sincronização de dados e fazendo com que o *Software* seja mais consistente sem prejudicar excessivamente o desempenho e facilitando a vida do programador. O OpenMP exige que o programador

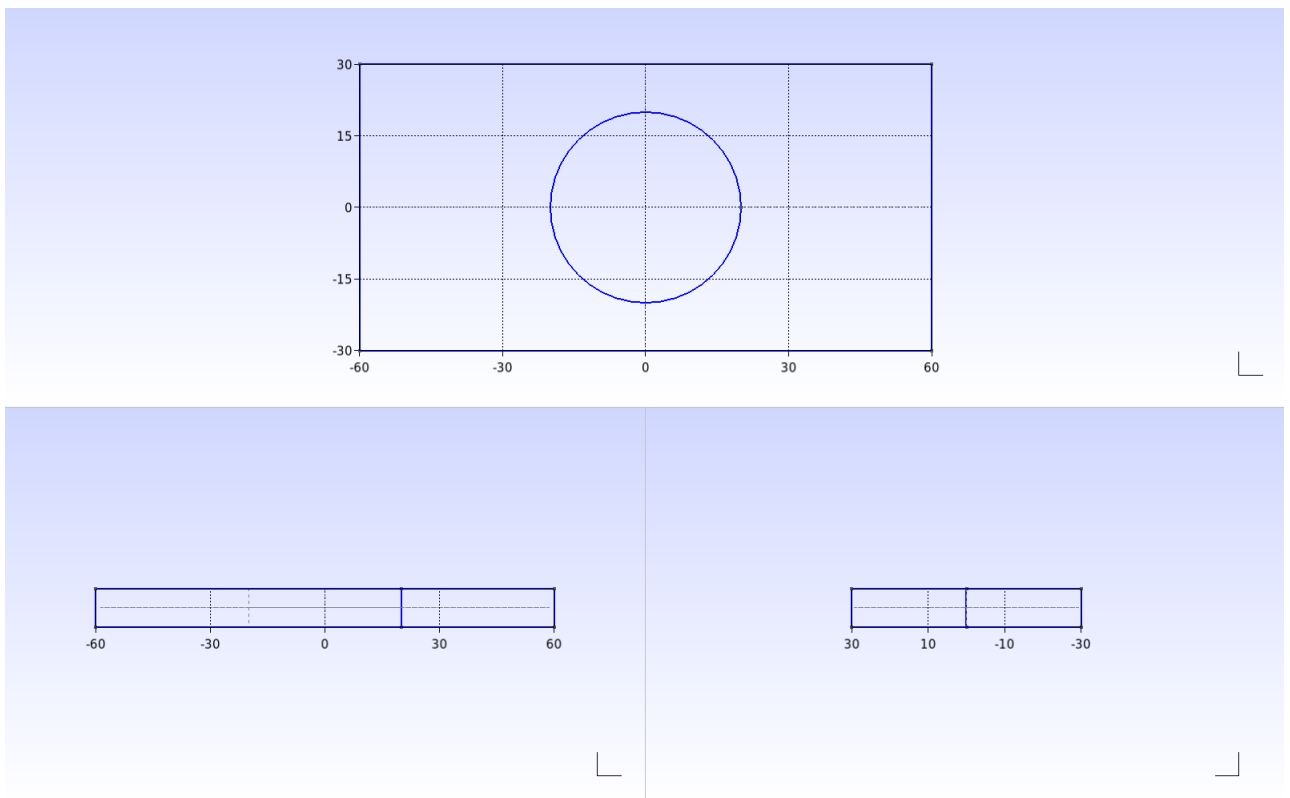
considere que não existe ordem específica de execução de tarefas entre as CPUs e, contanto que essa regra seja seguida, o código sempre dará o mesmo resultado que um código sequencial para a mesma tarefa. Como as variáveis operadas pelas *threads* podem ser globais, se duas ou mais *threads* concorrem o uso de uma mesma variável de iteração, é provável que em algum momento uma *thread* utilize um valor que foi reescrito por outra imediatamente antes de seu uso, este fenômeno é conhecido como ***Race Condition*** e provoca erros grosseiros na saída de dados.

A exatidão dos dados fornecidos pelo "PotLinear3D.py" será checada a partir de uma rotina de verificação pela qual é feita uma simulação de um caso simples, a transferência de calor por um cubo, e comparando os dados esperados de fluxo de calor nas superfícies com os obtidos pela simulação. A rotina de teste "PotLinear3D_teste.ipynb" está disponível em anexo. O formato "arquivo.ipynb" se refere ao documento ser do tipo Jupyter Notebook, usado para executar códigos em computação na nuvem; neste caso utilizou-se o servidor do Google Colab, que permite criar documentos e executar códigos diretamente do Google Drive.

6.1.3 Simulação em Análise

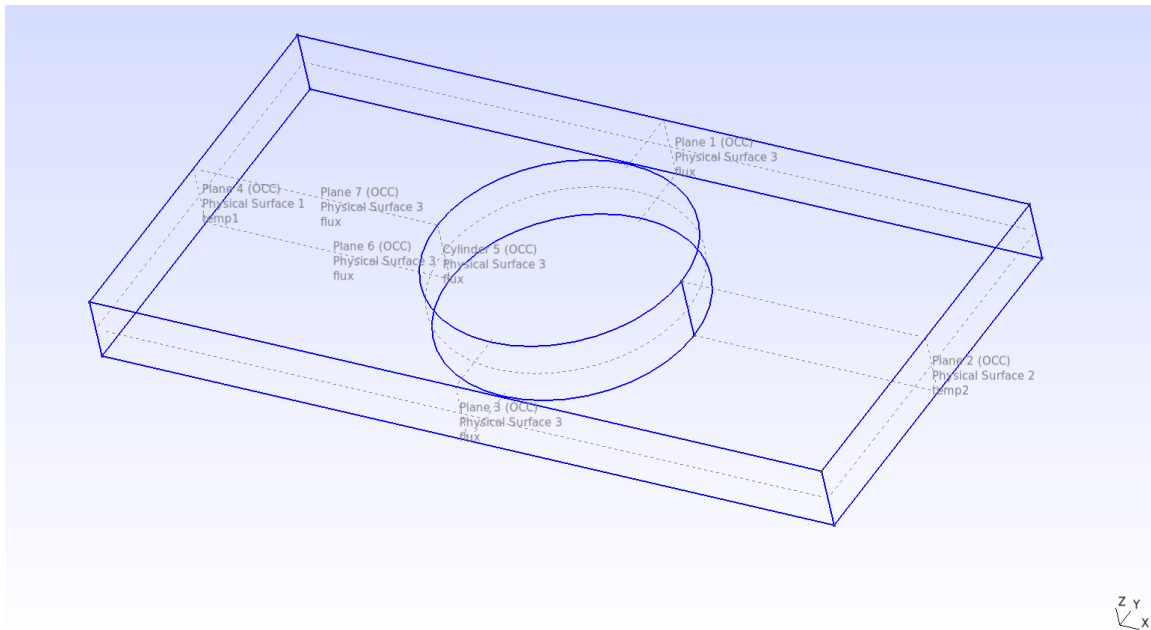
O modelo físico a ser analisado é o de uma placa com um furo conforme ilustrado pelas vistas na figura 24.

Figura 24 – Vistas - Placa com Furo



As condições de contorno do problema são definidas para cada superfície. Conforme verificável na figura 25, a superfície física 1 tem condição de temperatura conhecida T_1 , a superfície física 2 tem condição de temperatura conhecida T_2 , as demais superfícies possuem condição de fluxo conhecido $k = 1 \frac{W}{m^2K}$.

Figura 25 – Perspectiva - Placa com Furo



A simulação será feita com três malhas diferentes para que fique mais fácil observar o impacto da paralelização sobre o código. As malhas foram geradas automaticamente pelo programa "GMSH" e discretizam o problema por elementos triangulares 2D no contorno do modelo físico.

Figura 26 – Malha 1 - Placa com Furo

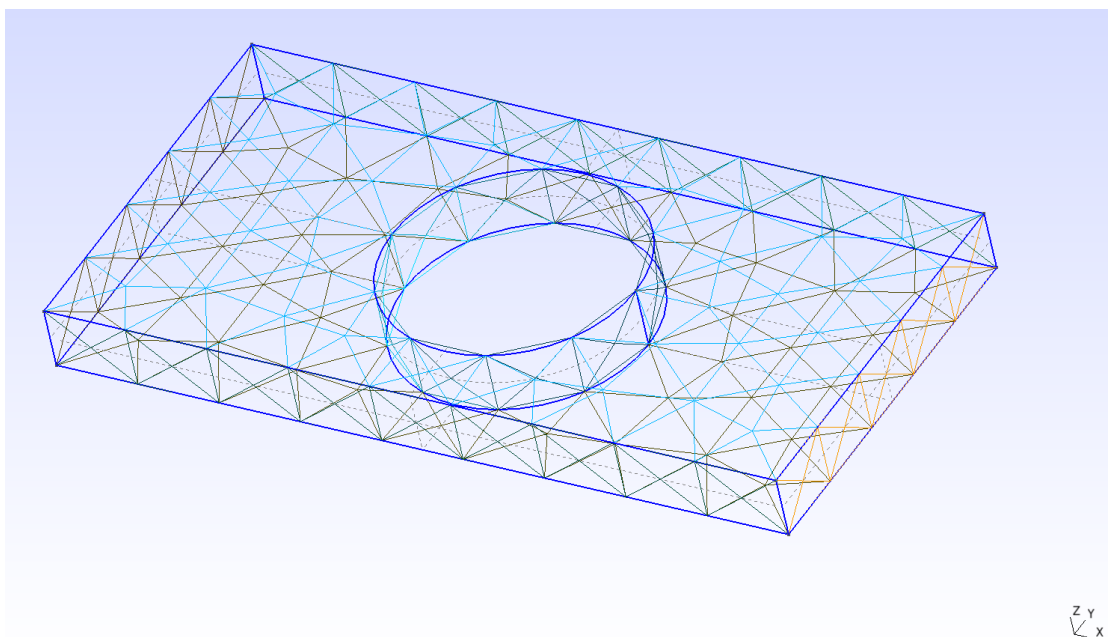


Figura 27 – Malha 2 - Placa com Furo

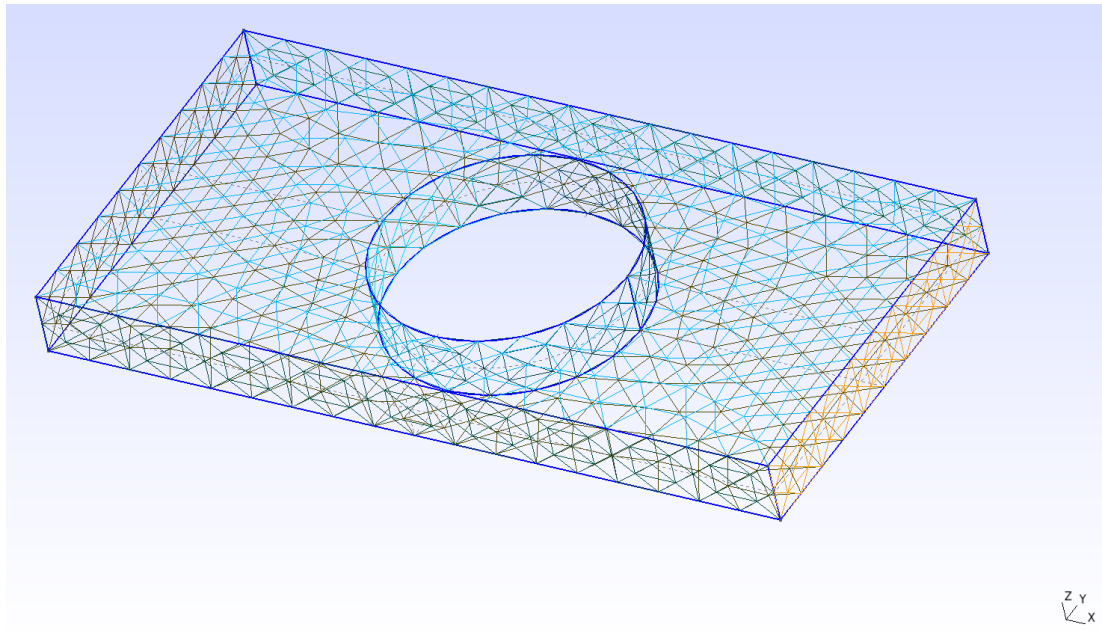
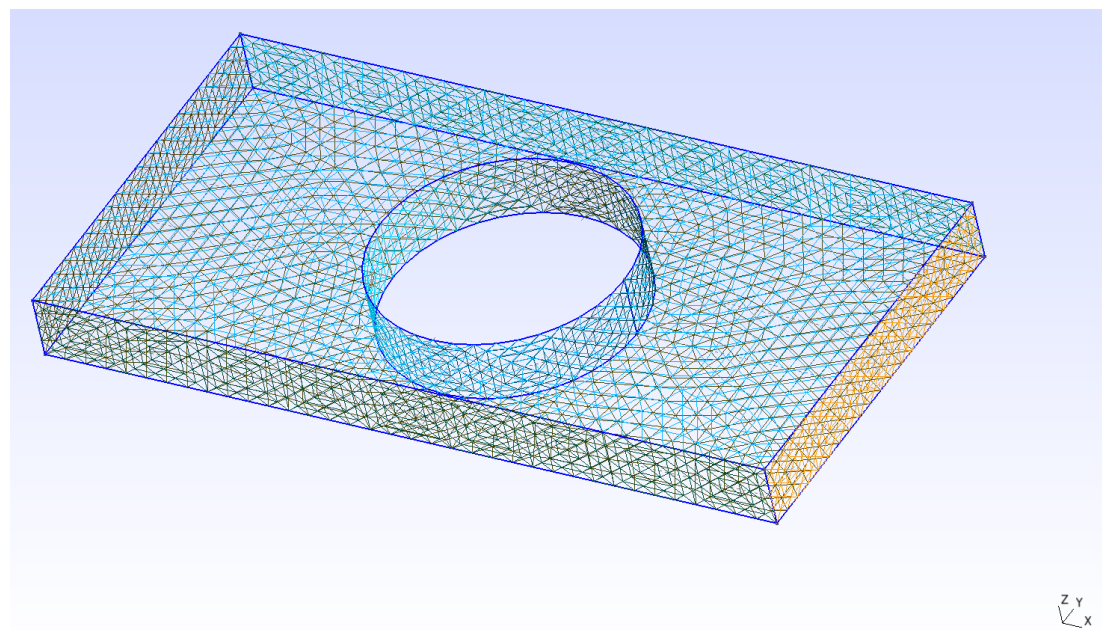


Figura 28 – Malha 3 - Placa com Furo



A malha 1 possui 364 elementos; a malha 2 possui 1456 elementos; a malha 3 possui 5824 elementos. Como é possível notar, o número de elementos entre as malhas cresce por um fator de 4. Como um código de elementos de contorno tem complexidade N^2 , espera-se que o tempo de processamento aumente por um fator de 16 a cada troca de malha. A máquina utilizada para a análise está equipada com um processador com as especificações listadas na figura 29.

Figura 29 – Especificações do Processador

```
(base) miura@Mugen:~$ lscpu
Architecture:          x86_64
CPU op-mode(s):        32-bit, 64-bit
Byte Order:            Little Endian
CPU(s):                8
On-line CPU(s) list:  0-7
Thread(s) per core:   2
Core(s) per socket:   4
Socket(s):             1
NUMA node(s):         1
Vendor ID:             GenuineIntel
CPU family:            6
Model:                142
Model name:            Intel(R) Core(TM) i5-8250U CPU @ 1.60GHz
Stepping:              10
CPU MHz:               698.077
CPU max MHz:           3400,0000
CPU min MHz:           400,0000
BogoMIPS:              3600.00
Virtualization:       VT-x
L1d cache:             32K
L1i cache:             32K
L2 cache:              256K
L3 cache:              6144K
NUMA node0 CPU(s):    0-7
```

6.1.4 Códigos Utilizados

A região de interesse do código "PotLinear3D.py" é a rotina de cálculo dos elementos das matrizes [H] e [G], portanto, as análises comparativas se concentraram nesse trecho. A figura 30 traz o código serial responsável por estes cálculos e a otimização será aplicada neste algoritmo. Observa-se que são usadas três funções, são elas: *calc_vetnormal*; *calcula_Gs*; *calcula_HeGns*. Estas funções não serão mostradas pois são de pouco interesse nesta etapa visto que permanecerão inalteradas, porém, os códigos estarão disponíveis nos anexos.

Inicialmente foi feita uma tentativa ingênua de implementação da paralelização deste trecho, mostrada na figura 31. A diferença entre os dois algoritmos está no cabeçalho onde se usa "*with nogil*" para desabilitar o GIL do Python e o loop for utiliza a função "*prange*" ao invés de "*range*". O "*prange*" é a função do "*Cython*" que indica que um loop deve ser executado por múltiplas threads. O parâmetro do tipo de *schedule* "*static*" significa que cada *thread* executará trechos com aproximadamente a mesma carga de trabalho. O parâmetro "*num_threads*" indica em quantas *threads* o loop deverá ser dividido; se este parâmetro não for indicado, o comportamento padrão é de utilizar todas as *threads* disponíveis.

Figura 30 – Cálculo Serial das Matrizes [H] e [G]

```

%% = = = = CÁLCULO DOS ELEMENTOS DAS MATRIZES H e G = = = =
for pc in range(nelem):
    nos[0] = ELEM[pc,0] # Nós que compõem o elemento
    nos[1] = ELEM[pc,1] # Nós que compõem o elemento
    nos[2] = ELEM[pc,2] # Nós que compõem o elemento
    X1[0] = NOS[nos[0],0] # Coordenadas do nó 1 do elemento
    X1[1] = NOS[nos[0],1] # Coordenadas do nó 1 do elemento
    X1[2] = NOS[nos[0],2] # Coordenadas do nó 1 do elemento
    X2[0] = NOS[nos[1],0] # Coordenadas do nó 2 do elemento
    X2[1] = NOS[nos[1],1] # Coordenadas do nó 2 do elemento
    X2[2] = NOS[nos[1],2] # Coordenadas do nó 2 do elemento
    X3[0] = NOS[nos[2],0] # Coordenadas do nó 3 do elemento
    X3[1] = NOS[nos[2],1] # Coordenadas do nó 3 do elemento
    X3[2] = NOS[nos[2],2] # Coordenadas do nó 3 do elemento
    n[0]=0
    n[1]=0
    n[2]=0
    J=calc_vetnormal(X1,X2,X3,n) # Vetor unitário normal ao elemento
    for pf in range(0,nnos): # Laço sobre os pontos fonte
        Xd[0] = NOS[pf,0] # Coordenadas do ponto fonte
        Xd[1] = NOS[pf,1] # Coordenadas do ponto fonte
        Xd[2] = NOS[pf,2] # Coordenadas do ponto fonte
        if (pf==nos[0] or pf==nos[1] or pf==nos[2]): # Integração singular (o ponto fonte pertence ao elemento)
            if pf==nos[0]: # 0 ponto fonte está no nó 1
                ipf = 1 # Sinaliza que o ponto fonte está sobre o primeiro nó
            elif pf==nos[1]: # 0 ponto fonte está no nó 2
                ipf = 2 # Sinaliza que o ponto fonte está sobre o segundo nó
            elif pf==nos[2]: # 0 ponto fonte está no nó 3
                ipf = 3 # Sinaliza que o ponto fonte está sobre o terceiro nó
            g[0]=0
            g[1]=0
            g[2]=0
            calcula_Gs(X1,X2,X3,Xd,ipf,N1q,N2q,N3q,N4q,qsil_quad,w_quad,k,g)
            h[0]=0
            h[1]=0
            h[2]=0
        else: # Integração regular (o ponto fonte não pertence ao elemento)
            g[0]=0
            g[1]=0
            g[2]=0
            h[0]=0
            h[1]=0
            h[2]=0
        calcula_HeGns(X1,X2,X3,Xd,qsil,w1,n,k,J,N1,N2,N3,g,h)
        #printf("g[0] = %f8.5",g[0] )
        for nlocal in range(0,3):
            noglobal = ELEM[pc,nlocal] # Índice da matriz global H
            H[pf,noglobal] += h[nlocal]
        G[pf,3*pc] = g[0]
        G[pf,3*pc+1] = g[1]
        G[pf,3*pc+2] = g[2]

for m in range(0,nnos):
    H[m,m] = 0
    for l in range(0,nnos):
        if l != m:
            H[m,m] += - H[m,l]
return H,G
#

```


Figura 31 – Cálculo Paralelo das Matrizes [H] e [G]

```

with nogil:
    for pc in prange(nelem, schedule='static', num_threads=ncores):
        #if(omp.get_thread_num()==0 and pc ==0):
        #    printf("Numero de threads\n")
        #    printf("%d\n",omp.get_num_threads())

        #    print(omp.get_num_threads())

        nos[0] = ELEM[pc,0] # Nós que compõem o elemento
        nos[1] = ELEM[pc,1] # Nós que compõem o elemento
        nos[2] = ELEM[pc,2] # Nós que compõem o elemento
        X1[0] = NOS[nos[0],0] # Coordenadas do nó 1 do elemento
        X1[1] = NOS[nos[0],1] # Coordenadas do nó 1 do elemento
        X1[2] = NOS[nos[0],2] # Coordenadas do nó 1 do elemento
        X2[0] = NOS[nos[1],0] # Coordenadas do nó 2 do elemento
        X2[1] = NOS[nos[1],1] # Coordenadas do nó 2 do elemento
        X2[2] = NOS[nos[1],2] # Coordenadas do nó 2 do elemento
        X3[0] = NOS[nos[2],0] # Coordenadas do nó 3 do elemento
        X3[1] = NOS[nos[2],1] # Coordenadas do nó 3 do elemento
        X3[2] = NOS[nos[2],2] # Coordenadas do nó 3 do elemento
        n[0]=0
        n[1]=0
        n[2]=0
        J=calc_vetnormal(X1,X2,X3,n) # Vetor unitário normal ao elemento
        for pf in range(0,nnos): # Laço sobre os pontos fonte
            Xd[0] = NOS[pf,0] # Coordenadas do ponto fonte
            Xd[1] = NOS[pf,1] # Coordenadas do ponto fonte
            Xd[2] = NOS[pf,2] # Coordenadas do ponto fonte
            if (pf==nos[0] or pf==nos[1] or pf==nos[2]): # Integração singular (o ponto fonte pertence ao elemento)
                if pf==nos[0]: # 0 ponto fonte está no nó 1
                    ipf = 1 # Sinaliza que o ponto fonte está sobre o primeiro nó
                elif pf==nos[1]: # 0 ponto fonte está no nó 2
                    ipf = 2 # Sinaliza que o ponto fonte está sobre o segundo nó
                elif pf==nos[2]: # 0 ponto fonte está no nó 3
                    ipf = 3 # Sinaliza que o ponto fonte está sobre o terceiro nó

                g[0]=0
                g[1]=0
                g[2]=0
                calcula_Gs(X1,X2,X3,Xd,ipf,N1q,N2q,N3q,N4q,ysi_quad,w_quad,k,g)
                h[0]=0
                h[1]=0
                h[2]=0
            else: # Integração regular (o ponto fonte não pertence ao elemento)
                g[0]=0
                g[1]=0
                g[2]=0
                h[0]=0
                h[1]=0
                h[2]=0
                calcula_HeGns(X1,X2,X3,Xd,qsil,w1,n,k,J,N1,N2,N3,g,h)
            for nlocal in range(0,3):
                noglobal = ELEM[pc,nlocal] # Índice da matriz global H
                H[pf,noglobal] += h[nlocal]
            G[pf,3*pc] = g[0]
            G[pf,3*pc+1] = g[1]
            G[pf,3*pc+2] = g[2]

        for m in range(0,nnos):
            H[m,m] = 0
            for l in range(0,nnos):
                if l != m:
                    H[m,m] += - H[m,l]
    return H,G

```

Em um teste superficial, verificou-se que o código paralelizado teve ganhos de aceleração. O ganho de aceleração, por si só, não significa muita coisa pois de nada adianta chegar a uma resposta errada mais rapidamente, portanto, foi feito o teste de exatidão do código com o *PotLinear3D_teste.ipynb* e os resultados obtidos foram espúrios, com resultados que se alteram a cada iteração. Este resultado indica que há uma *Race Condition* no código.

Existem algumas formas de evitar as *race conditions*, como tornar as variáveis de iteração privadas para evitar compartilhamento de informações antes do fim de cada

divisão de carga de trabalho (*Chunk*) ou a criação de barreiras que forçam a sincronização das informações entre todas as *threads*. Seria trivial tornar as variáveis privadas em linguagem C/C++ utilizando a diretiva ”*#pragma omp threadprivate (lista de variáveis)*” ou declarando a variável dentro da região paralela. Aqui surge um problema pois não é possível declarar variáveis dentro da região paralela em Cython e as diretivas de OpenMP não funcionam de forma nativa. Apesar de ser fácil o uso do OpenMP em Cython, existem poucas implementações e pouca documentação sobre este assunto.

Uma possível solução foi a de substituir todos os argumentos do *loop* para uma função que só seria inicializada dentro da região paralela. Desta forma, a segunda tentativa de implementação ficou conforme ilustrado na figura 32 e a função utilizada é apresentada na figura 33.

Figura 32 – Cálculo Paralelo das Matrizes [H] e [G] - Tentativa 2

```

%% ===== CÁLCULO DOS ELEMENTOS DAS MATRIZES H e G =====
with nogil:
    for pc in prange(nelem, schedule='static', num_threads=ncores):
        calcula(pc,ELEM,NOS,k, N1q,N2q,N3q,N4q,N1,N2,N3,qsil,w1,qsi_quad,w_quad,npg_s,npg_r,H,G)
    for m in range(0,nnos):
        H[m,m] = 0
        for l in range(0,nnos):
            if l != m:
                H[m,m] = H[m,m] - H[m,l]
#
return H,G

```

Após a mudança, o código passou nos testes de exatidão feitos pelo ”*PotLinear3D_teste.ipynb*”. O autor do código e responsável pela implementação da correção, professor Éder Lima, não sabe dizer ao certo por que esta mudança foi capaz de corrigir o erro. Uma possível explicação é que, como as variáveis estão sendo inicializadas dentro da região paralela, indiretamente por conta da nova função, estas se tornam variáveis privadas. Não haveria outra maneira de inicializar uma variável dentro da região paralela utilizando Cython.

Figura 33 – Função de Cálculo Paralelo das Matrizes [H] e [G]

```

#
@cython.boundscheck(False)
@cython.wraparound(False)
@cython.cdivision(True) # to avoid the exception checking
@cython.nonecheck(False)
cdef void calcula(long pc, long[:, :] ELEM, double[:, :] NOS, double k,
                double[:, :] N1q, double[:, :] N2q, double[:, :] N3q,
                double[:, :] N4q, double[:, :] N1, double[:, :] N2,
                double[:, :] N3, double[:, :] qsil, double[:, :] w1,
                double[:, :] qsi_quad, double[:, :] w_quad, long npg_s, long npg_r,
                double[:, :] H, double[:, :] G) nogil:
    cdef long nelelem, nnos, i, l, m, noglobal, ipf
    cdef long[3] nos
    nelelem = ELEM.shape[0] # Número de elementos
    nnos = NOS.shape[0] # Número de nós
    cdef double[3] X1, X2, X3, Xd, n, g, h
    cdef double J
    nos[0] = ELEM[pc, 0] # Nós que compõem o elemento
    nos[1] = ELEM[pc, 1] # Nós que compõem o elemento
    nos[2] = ELEM[pc, 2] # Nós que compõem o elemento
    X1[0] = NOS[nos[0], 0] # Coordenadas do nó 1 do elemento
    X1[1] = NOS[nos[0], 1] # Coordenadas do nó 1 do elemento
    X1[2] = NOS[nos[0], 2] # Coordenadas do nó 1 do elemento
    X2[0] = NOS[nos[1], 0] # Coordenadas do nó 2 do elemento
    X2[1] = NOS[nos[1], 1] # Coordenadas do nó 2 do elemento
    X2[2] = NOS[nos[1], 2] # Coordenadas do nó 2 do elemento
    X3[0] = NOS[nos[2], 0] # Coordenadas do nó 3 do elemento
    X3[1] = NOS[nos[2], 1] # Coordenadas do nó 3 do elemento
    X3[2] = NOS[nos[2], 2] # Coordenadas do nó 3 do elemento
    n[0]=0
    n[1]=0
    n[2]=0
    J=calc_vetnormal(X1, X2, X3, n) # Vetor unitário normal ao elemento
    for pf in range(0, nnos): # Laço sobre os pontos fonte
        Xd[0] = NOS[pf, 0] # Coordenadas do ponto fonte
        Xd[1] = NOS[pf, 1] # Coordenadas do ponto fonte
        Xd[2] = NOS[pf, 2] # Coordenadas do ponto fonte

        if (pf==nos[0] or pf==nos[1] or pf==nos[2]): # Integração singular (o ponto fonte pertence ao elemento)
            if pf==nos[0]: # 0 ponto fonte está no nó 1
                ipf = 1 # Sinaliza que o ponto fonte está sobre o primeiro nó
            elif pf==nos[1]: # 0 ponto fonte está no nó 2
                ipf = 2 # Sinaliza que o ponto fonte está sobre o segundo nó
            elif pf==nos[2]: # 0 ponto fonte está no nó 3
                ipf = 3 # Sinaliza que o ponto fonte está sobre o terceiro nó

            g[0]=0
            g[1]=0
            g[2]=0
            calcula_Gs(X1, X2, X3, Xd, ipf, N1q, N2q, N3q, N4q, qsi_quad, w_quad, k, g)
            h[0]=0
            h[1]=0
            h[2]=0
        else: # Integração regular (o ponto fonte não pertence ao elemento)
            g[0]=0
            g[1]=0
            g[2]=0

            h[0]=0
            h[1]=0
            h[2]=0
            calcula_HeGns(X1, X2, X3, Xd, qsil, w1, n, k, J, N1, N2, N3, g, h)
        for noLocal in range(0, 3):
            noglobal = ELEM[pc, noLocal] # Índice da matriz global H
            H[pf, noglobal] = H[pf, noglobal] + h[noLocal]

    G[pf, 3*pc] = g[0]
    G[pf, 3*pc+1] = g[1]
    G[pf, 3*pc+2] = g[2]

```

6.2 Resultados e Discussão

Com o código funcionando corretamente, nesta sessão é feita a análise de seu desempenho conforme descrito na sessão 6.1.1. Os dados tratados são apresentados com precisão numérica de duas casas decimais na tabela 1. A tabela 2 traz informações sobre as três malhas utilizadas. Não foi possível fazer uma malha maior do que a 3 pois a memória do computador não suportava a operação.

Tabela 1 – Dados Obtidos

	10 Iterações									
	Tempo serial (s) +- STD		Tempo n=2 (s) +- STD		Tempo n=4 (s) +- STD		Tempo n=6 (s) +- STD		Tempo n=8 (s) +- STD	
Malha 1	0,18	0,01	0,09	0,00	0,04	0,00	0,04	0,00	0,03	0,00
Malha 2	2,85	0,04	1,44	0,01	0,73	0,00	0,71	0,00	0,56	0,00
Malha 3	45,93	0,18	23,43	0,08	12,73	0,32	11,75	0,06	10,48	0,38

Tabela 2 – Informações Sobre as Malhas

	Nós	Elementos
Malha 1	182	364
Malha 2	728	1456
Malha 3	2912	5824

Algumas informações podem ser extraídas desses dados, são elas:

1. O tempo do código serial escala, entre as malhas, com um fator aproximado de 16, como era esperado, pois o problema tem complexidade N^2 .
2. Os desvios padrão para as malhas 1 e 2 foram muito pequenos para serem significativos com precisão numérica de duas casas decimais. Desvios pequenos são um bom sinal pois o tempo de execução varia muito quando existem *bugs* no código.
3. Um ponto interessante a se notar é que o tempo de execução cai aproximadamente pela metade entre o código serial e para $n = 2$. Novamente o tempo se reduz pela metade entre $n = 2$ e $n = 4$, no entanto, não ocorre uma redução proporcional para $n = 6$ e $n = 8$. Este comportamento era esperado e faz sentido pois o processador da máquina que rodou as simulações só possui 4 núcleos físicos, e cada núcleo se divide em duas *threads*, então, existe sim um ganho mas não é o mesmo que com um núcleo físico diferente.

A segunda parte da análise visa observar o ganho de aceleração para cada caso específico.

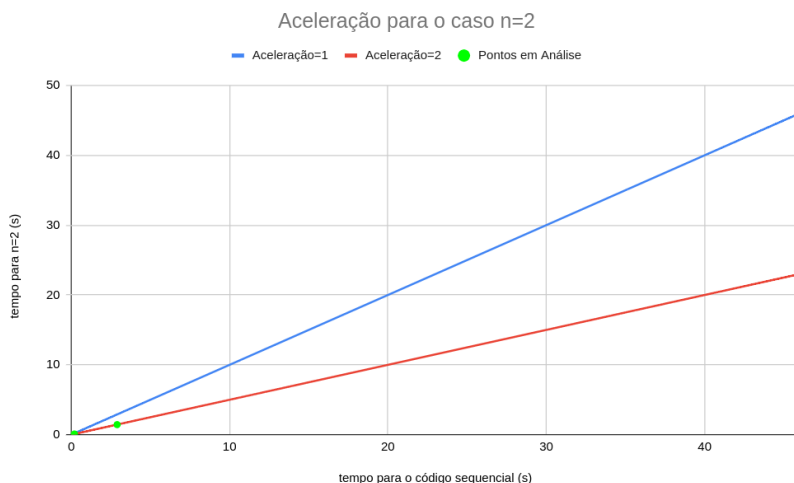
Figura 34 – Aceleração para o caso $n = 2$ 

Figura 35 – Aceleração para o caso $n = 4$

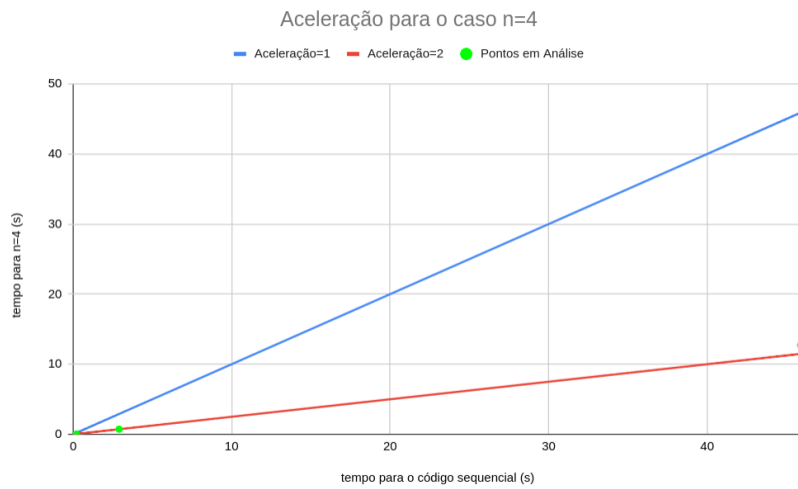


Figura 36 – Aceleração para o caso $n = 6$

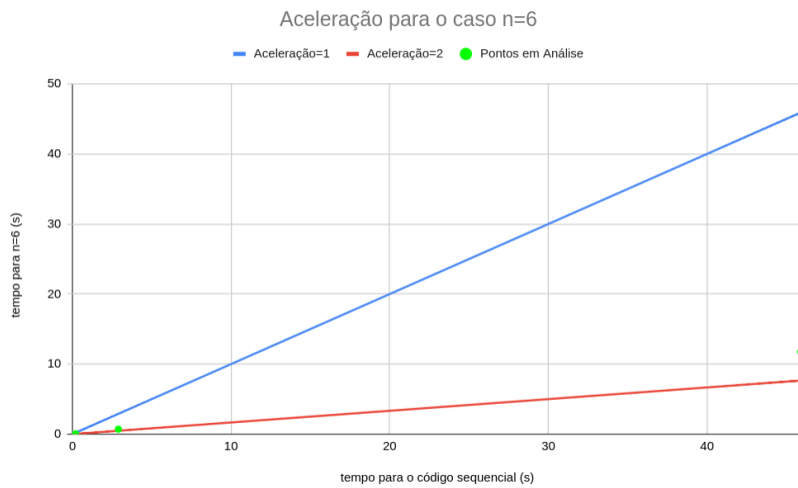
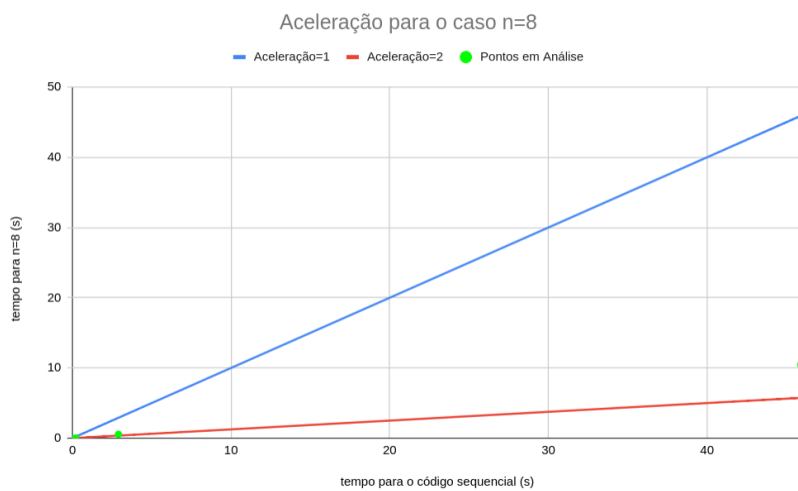


Figura 37 – Aceleração para o caso $n = 8$



As informações extraídas dos gráficos são:

1. Os pontos verdes estão praticamente em cima da linha vermelha nos casos $n = 2$ e $n = 4$. Isto significa que este trecho está quase tão rápido quanto pode ser.
2. Os casos $n = 6$ e $n = 8$ registraram acelerações menores, como era esperado.

Os resultados foram bons, mas, deve se ressaltar que a rotina de teste dos tempos, *PotLinear3D_tempos.py*, só executou a parte paralela do código. Não haveria benefício nas partes sequenciais e portanto os ganhos de aceleração do *PotLinear3D.py* serão menores. Outro ponto relevante é que esta análise não traz informações sobre quão bom é o desempenho deste código quando comparado a outras linguagens de programação, apenas verificando o sucesso da implementação da paralelização.

7 CONCLUSÕES

O código *PotLinear3D.py* foi otimizado por executar partes em Cython e foi novamente otimizado por implementação da paralelização de trechos importantes. O tempo de programação, para as partes menos importantes, foi reduzido pela utilização da linguagem Python e os *Softwares Open Source* se mostraram de fácil manuseio, apesar de haver uma curva de aprendizado. O ganho da paralelização pode ser potencializado, em aplicações científicas, a um custo reduzido por conta dos servidores de processamento em nuvem que oferecem a opções de processadores modernos com muitos núcleos como é o caso do *Xeon Phi* da *Intel*, que apresenta versões com até 72 núcleos físicos e 4 *threads* por CPU.

Este trabalho não explorou as opções de processamento por MPI (*Message Passing Interface*). Para este caso, seria possível escalar ainda mais os ganhos de aceleração de simulações com grandes grupos de dados. Com o OpenMP e o Cython, foi demonstrado um ganho de aceleração da ordem de dezenas. Com uma posterior implementação de MPI, este ganho facilmente atinge a ordem de grandeza de centenas.

Outra conclusão que se tira é que o Python/Cython tornou muito fácil a paralelização, no entanto, existe grande dificuldade de encontrar material de consulta sobre OpenMP nesta linguagem e seu uso se resume a casos mais simples por não haverem muitas opções de customização. Uma estratégia para contornar este problema é a de programar as regiões paralelas em C/C++, as regiões seriais em Python e utilizar o Cython como *wrapper* para juntar os códigos em um único processo. Desta forma, é possível chegar a um ponto ótimo em que se alcança um bom desempenho com um tempo reduzido de programação.

Referências

- AHRENS, J.; GEVECI, B.; LAW, C. Paraview: An end-user tool for large data visualization. *The visualization handbook*, Elsevier München, v. 717, 2005.
- ALBUQUERQUE, E. L. *Introdução ao método dos elementos de contorno*. [S.l.], 2012.
- AYACHIT, U. *The paraview guide: a parallel visualization application*. [S.l.]: Kitware, Inc., 2015.
- CAI, X.; LANGTANGEN, H. P.; MOE, H. On the performance of the python programming language for serial and parallel scientific computations. *Scientific Programming*, Hindawi, v. 13, n. 1, p. 31–56, 2005.
- CHAPMAN, B.; JOST, G.; PAS, R. V. D. *Using OpenMP: portable shared memory parallel programming*. [S.l.]: MIT press, 2008. v. 10.
- FALCK, B.; FALCK, D.; COLLETTE, B. *Freecad [How-To]*. [S.l.]: Packt Publishing Ltd, 2012.
- GEUZAINÉ, C.; REMACLE, J.-F. Gmsh: A 3-d finite element mesh generator with built-in pre-and post-processing facilities. *International journal for numerical methods in engineering*, Wiley Online Library, v. 79, n. 11, p. 1309–1331, 2009.
- HAGER, G.; WELLEIN, G. *Introduction to high performance computing for scientists and engineers*. [S.l.]: CRC Press, 2010.
- HERRON, P. *Learning Cython Programming*. [S.l.]: Packt Publishing Ltd, 2016.
- KATSIKADELIS, J. T. *The boundary element method for engineers and scientists: theory and applications*. [S.l.]: Academic Press, 2016.
- KONRAD, M. Vectorization and parallelization in python with numpy and pandas. 2018. Disponível em: <<https://datascience.blog.wzb.eu/2018/02/02/vectorization-and-parallelization-in-python-with-numpy-and-pandas/>>. Acesso em: 8 out. 2019.
- LAMPORT, L. How to make a correct multiprocess program execute correctly on a multiprocessor. *IEEE Transactions on Computers SRC Research Report 96*, v. 46, 2016.
- LOYOLA, F. M. d. Modelagem tridimensional de problemas potenciais usando o método dos elementos de contorno. 2017.
- RAUBER, T.; RÜNGER, G. Parallel programming models. In: *Parallel Programming*. [S.l.]: Springer, 2010. p. 93–149.
- SKUSE, B. The third pillar. *Physics World*, IOP Publishing, v. 32, n. 3, p. 40–43, mar 2019. Disponível em: <<https://doi.org/10.1088%2F2058-7058%2F32%2F3%2F33>>.

SMITH, K. W. *Cython: A Guide for Python Programmers*. [S.l.]: "O'Reilly Media, Inc.", 2015.

STACKOVERFLOW. Developer survey results 2019. 2019. Disponível em: <<https://insights.stackoverflow.com/survey/2019#methodology>>. Acesso em: 8 out. 2019.

WEST, J.; GALLAGHER, S. Challenges of open innovation: the paradox of firm investment in open-source software. *R&D Management*, Wiley Online Library, v. 36, n. 3, p. 319–331, 2006.

A Código PotLinear3D.py

```
1 # -*- coding: utf-8 -*-
2 """
3 Universidade de Brasilia
4 Departamento de Engenharia Mecanica
5 Brasilia , setembro de 2019
6
7 Programa de elementos de contorno aplicado a problemas de conducao de
8 calor tri-dimensional sem fontes de calor concentradas
9
10 Tipo de elementos: Triangulares lineares continuos
11
12 Autores: Eder Lima de Albuquerque
13          Gustavo Silva Vaz Gontijo (ggontijo@gmail.com)
14
15 ultima modificacao: 30/09/2019 - 09h02min
16 """
17
18 ### BIBLIOTECAS E ARQUIVOS NECESSARIOS
19
20 import meshio
21 import entrada_de_dados
22 import contorno
23 import sistema
24 import numpy as np
25 import time
26 import integracao2 as integ
27
28
29 ### ENTRADA DE DADOS E PRE-PROCESSAMENTO
30
31 t_inicio = time.time()
32 print('\nPrograma iniciado.')
33
34 # Le o arquivo de entrada de dados
35 arquivo, CCSup, k = entrada_de_dados.dad1()
36 #arquivo, CCSup, k = entrada_de_dados.dad2()
37 #arquivo, CCSup, k = entrada_de_dados.dad3()
38
39 # Cria a malha
```

```

40 malha = meshio.read(arquivo + '.msh') # Le a malha do arquivo .msh
41
42 # Cria a matriz NOS a partir da malha
43 NOS = malha.points
44 # NOS: Matriz [NNx3] que contem as coordenadas dos vertices da malha
      criada ,
45 #     onde NN e o numero de nos do problema
46
47 # Cria a matriz ELEM a partir da malha
48 ELEM = malha.cells_dict['triangle']
49 # ELEM: Matriz [NEx3] que contem os numeros dos nos que formam cada
      elemento ,
50 #     onde NE e o numero de elementos do problema
51
52 print('Numero de nos:',NOS.shape[0])
53 print('Numero de elementos:',ELEM.shape[0])
54
55
56 # Cria a matriz de condicoes de contorno dos elementos
57 CDC = contorno.gera_elem_cdc(malha,CCSup)
58 # CDC: Matriz [NEx3] que contem a condicao de contorno de cada no dos
59 #     elementos
60
61 %% MONTAGEM E SOLUCAO DO SISTEMA
62
63 # Calcula as matrizes H e G
64
65 # Calcula as matrizes H e G
66 npg_s = 8 # Numero de pontos de Gauss para a integracao singular
67 npg_r = 6 # Numero de pontos de Gauss para a integracao regular
68 qsi ,w = np.polynomial.legendre.leggauss(npg_r); # Pontos e pesos de Gauss
      para a integracao regular (triangulo)
69 qsi_quad ,w_quad = np.polynomial.legendre.leggauss(npg_s) # Pontos e pesos
      de Gauss para a integracao singular (quadrilatero)
70 nelem = ELEM.shape[0] # Numero de elementos
71 nnos = NOS.shape[0] # Numero de nos
72 H=np.zeros((nnos , nnos))
73 G=np.zeros((nnos ,3*nelem))
74
75 t_gera_dados=time.time()-t_inicio
76
77 t_matriz_inicio = time.time()
78 print('Calculando as matrizes H e G.')
79
80 ncores = 4 #numero de threads
81 H[:,:],G[:,:] = integ.cal_HeG(NOS, ELEM, k, qsi ,w, qsi_quad ,w_quad, ncores) #
      Cython
82

```

```

83 t_matriz=time.time()-t_matriz_inicio # tempo para montagens das matrizes H
    e G
84 # H: Matriz [NNxNN] que contem o resultado da integracao de q* no
    contorno
85 # G: Matriz [NNx3NE] que contem o resultado da integracao de T* no
    contorno
86 print('Aplicando as condicoes de contorno.')
87 t_aplica_cdc_inicio = time.time()
88
89 A, b, T_pr = sistema.aplica_cdc(G, H, NOS, ELEM, CDC)
90 t_aplica_cdc = time.time()-t_aplica_cdc_inicio
91
92 # A: Matriz [NNxNN] contendo colunas de H e G
93 # b: Vetor [NNx1] resultante da multiplicacao de N colunas de H e G pelas
94 # CDC's conhecidas
95 print('Resolvendo o sistema linear.')
96
97 t_sistema_inicio = time.time()
98
99 # Resolve o sistema de equacoes A.x = b
100 x = np.linalg.solve(A, b)
101 # x: Vetor [NNx1] que contem os termos calculados (antes desconhecidos)
    de
102 # temperatura e fluxo
103
104 t_sistema=time.time()-t_sistema_inicio # tempo para montagens das matrizes
    H e G
105
106
107 t_ordena_inicio=time.time()
108 # Separa os valores de temperatura e fluxo
109 print('Separando as variaveis.')
110
111 T, q = sistema.monta_Teq(NOS, ELEM, CDC, x, T_pr)
112 # T: Vetor [NNx1] que contem os valores de temperatura calculados
113 # q: Vetor [3NEx1] que contem os valores de fluxo calculados
114 t_ordena=time.time()-t_ordena_inicio
115
116 print('Gerando o arquivo de pos-processamento.')
117
118 t_saida_inicio=time.time()
119
120 # Calcula os valores de temperatura no centroide do elemento
121 T_centroide = contorno.calcTcentroide(T,ELEM,NOS)
122
123 # Mostra os valores de temperatura no mapa de cor
124 malha.cell_data_dict['gmsht:physical']['Temp_med']=T_centroide
125 malha.point_data={"Temperatura":T}
126 meshio.write(arquivo + '.vtk', malha)

```

```
127
128 t_saida=time.time()-t_saida_inicio
129
130
131 print('Tempo para ler e gerar os dados iniciais:',t_gera_dados)
132 print('Tempo para montagem das matrizes H e G:',t_matriz)
133 print('Tempo para aplicas as condicoes de contorno:',t_aplica_cdc)
134 print('Tempo para resolver o sistema linear:',t_sistema)
135 print('Tempo para ordenar os dados:',t_ordena)
136 print('Tempo para gerar o arquivo de pos-processamento:',t_saida)
137 print('Tempo de processamento:',time.time()-t_inicio,'s.\nPrograma
      finalizado.')
```

B Código PotLinear3D_teste.py

```
1 # -*- coding: utf-8 -*-
2 """PotLinear3D_teste.ipynb
3
4 Automatically generated by Colaboratory.
5
6 Original file is located at
7     https://colab.research.google.com/drive/1
8     ZtGwttcYnix9IswwvaeOSaMFgnjbLYN9R
9     """
10 from google.colab import drive
11 drive.mount('/content/drive')
12
13 !pip install meshio
14
15 # In order to compile pyx files , in the terminal use the command:
16 !python setup.py build_ext -i
17 !python setup2.py build_ext -i
18 !python setup3.py build_ext -i
19 !python setup4.py build_ext -i
20
21 import contorno
22 import sistema
23 import numpy as np
24 import integracao as integ
25 import integracao2 as integ2
26 import integracao3 as integ3
27 import integracao4 as integ4
28
29 NOS =np.array ([[ 0. , 0., 0.],
30 [1. , 0. , 0.],
31 [0., 1 , 0],
32 [1 , 1 , 0],
33 [0 , 0 , 1],
34 [1 , 0 , 1],
35 [0 , 1 , 1],
36 [1 , 1 , 1]])
37 # A matriz ELEM tem 4 colunas e o numero de linhas e igual ao numero de
38 # elementos , ou seja de triangulos. Neste caso sao 12 elementow
```

```

39 # ELEM = [ numero do elemento, no 1, no2, no 3]
40 ELEM=np.array([[1  ,  4  ,  2],
41    [1  ,  3  ,  4],
42    [1  ,  6  ,  5],
43    [1  ,  2  ,  6],
44    [2  ,  8  ,  6],
45    [2  ,  4  ,  8],
46    [3  ,  8  ,  4],
47    [3  ,  7  ,  8],
48    [1  ,  7  ,  3],
49    [1  ,  5  ,  7],
50    [5  ,  8  ,  7],
51    [5  ,  6  ,  8]])-1
52
53 CDC=np.array([[0., 0., 0., 0.],
54    [0., 0., 0., 0.],
55    [1., 0., 0., 0.],
56    [1., 0., 0., 0.],
57    [1., 0., 0., 0.],
58    [1., 0., 0., 0.],
59    [1., 0., 0., 0.],
60    [1., 0., 0., 0.],
61    [1., 0., 0., 0.],
62    [1., 0., 0., 0.],
63    [0., 1., 1., 1.],
64    [0., 1., 1., 1.]])
65 k=1.
66 print('Numero de nos:',NOS.shape[0])
67 print('Numero de elementos:',ELEM.shape[0])
68 npg_s = 8 # Numero de pontos de Gauss para a integracao singular
69 npg_r = 6 # Numero de pontos de Gauss para a integracao regular
70 qsi,w = np.polynomial.legendre.leggauss(npg_r) # Pontos e pesos de Gauss
    para a integracao regular (triangulo)
71 qsi_quad,w_quad = np.polynomial.legendre.leggauss(npg_s) # Pontos e pesos
    de Gauss para a integracao singular (quadrilatero)
72 nelelem = ELEM.shape[0] # Numero de elementos
73 nnos = NOS.shape[0]
74 H=np.zeros((nnos, nnos))
75 G=np.zeros((nnos,3*nelelem))
76 ncores = 2 # Numero de nucleos para o integ2
77 # python setup.py build_ext -i
78
79 H[:,:],G[:,:] = integ.cal_HeG(NOS, ELEM, k,qsi,w,qsi_quad,w_quad) # Cython
80 #H[:,:],G[:,:] = integ2.cal_HeG(NOS, ELEM, k,qsi,w,qsi_quad,w_quad, ncores)
    # Cython
81 #H[:,:],G[:,:] = integ3.cal_HeG(NOS, ELEM, k,qsi,w,qsi_quad,w_quad) #
    Cython
82 #H[:,:],G[:,:] = integ4.cal_HeG(NOS, ELEM, k,qsi,w,qsi_quad,w_quad, ncores)
    # Cython

```

```
83  
84 A, b, T_pr = sistema.aplica_cdc(G, H, NOS, ELEM, CDC)  
85 x = np.linalg.solve(A, b)  
86 T, q = sistema.monta_Teq(NOS, ELEM, CDC, x, T_pr)  
87 print("x = ",x)  
88 print("T: ",T)  
89 print("q: ",q)
```

C Codigo PotLinear3D_time.py

```
1 # -*- coding: utf-8 -*-
2 """
3 Universidade de Brasilia
4 Departamento de Engenharia Mecanica
5 Brasilia , setembro de 2019
6
7 Programa de elementos de contorno aplicado a problemas de conducao de
8 calor tri-dimensional sem fontes de calor concentradas
9
10 Tipo de elementos: Triangulares lineares continuos
11
12 Autores: Eder Lima de Albuquerque
13          Gustavo Silva Vaz Gontijo (ggontijo@gmail.com)
14
15 Ultima modificacao: 30/09/2019 - 09h02min
16 """
17
18 %% BIBLIOTECAS E ARQUIVOS NECESSARIOS
19
20 import meshio
21 import entrada_de_dados
22 import contorno
23 import sistema
24 import numpy as np
25 import time
26 import integracao as integ
27 import integracao2 as integ2
28 import integracao3 as integ3
29
30
31 it=10          #numero de iteracoes
32 casos=4       #numero de casos com qtd. de nucleo diferente
33
34 t_matriz_1 = np.zeros((casos+1, it))
35 t_matriz_2 = np.zeros((casos+1, it))
36 t_matriz_3 = np.zeros((casos+1, it))
37
38 print (t_matriz_1)
39 print ('Numero de iteracoes:', it)
```



```

40
41 %% ENTRADA DE DADOS E PRE-PROCESSAMENTO
42
43 t_inicio = time.time()
44 print('\nPrograma iniciado.')
45
46 # Le o arquivo de entrada de dados
47 arquivo, CCSup, k = entrada_de_dados.dad1()
48 print('Utilizando a malha 1')
49
50 #arquivo, CCSup, k = entrada_de_dados.dad2()
51 #print('Utilizando a malha 2')
52
53 #arquivo, CCSup, k = entrada_de_dados.dad3()
54 #print('Utilizando a malha 3')
55
56 # Cria a malha
57 malha = meshio.read(arquivo + '.msh') # Le a malha do arquivo .msh
58
59 # Cria a matriz NOS a partir da malha
60 NOS = malha.points
61 # NOS: Matriz [NNx3] que contem as coordenadas dos vertices da malha
62 # criada,
63 # onde NN e o numero de nos do problema
64
65 # Cria a matriz ELEM a partir da malha
66 ELEM = malha.cells_dict['triangle']
67 # ELEM: Matriz [NEx3] que contem os numeros dos nos que formam cada
68 # elemento,
69 # onde NE e o numero de elementos do problema
70
71
72
73 # Cria a matriz de condicoes de contorno dos elementos
74 CDC = contorno.gera_elem_cdc(malha,CCSup)
75 # CDC: Matriz [NEx3] que contem a condicao de contorno de cada no dos
76 # elementos
77
78 %% MONTAGEM E SOLUCAO DO SISTEMA
79
80 # Calcula as matrizes H e G
81
82 # Calcula as matrizes H e G
83 npg_s = 8 # Numero de pontos de Gauss para a integracao singular
84 npg_r = 6 # Numero de pontos de Gauss para a integracao regular
85 qsi,w = np.polynomial.legendre.leggauss(npg_r); # Pontos e pesos de Gauss
86 # para a integracao regular (triangulo)

```

```

86 qsi_quad , w_quad = np.polynomial.legendre.leggauss(npg_s) # Pontos e pesos
    de Gauss para a integracao singular (quadrilatero)
87 nelelem = ELEM.shape[0]          # Numero de elementos
88 nnos = NOS.shape[0]             # Numero de nos
89 H=np.zeros((nnos , nnos))
90 G=np.zeros((nnos , 3* nelelem))
91
92 print('Calculando codigo serial')
93 for j in range (it):
94     t_gera_dados=time.time()-t_inicio
95
96     t_matriz_inicio = time.time()
97
98     H[:, :] , G[:, :] = integ3.cal_HeG(NOS, ELEM, k, qsi ,w, qsi_quad ,w_quad) #
        Cython
99
100    t_matriz_1[0 , j-1]=time.time()-t_matriz_inicio # tempo para montagens das
        matrizes H e G
101    # H: Matriz [NNxNN] que contem o resultado da integracao de q* no
        contorno
102    # G: Matriz [NNx3NE] que contem o resultado da integracao de T* no
        contorno
103
104
105 for i in range (casos):
106
107     ncores = i*2+2          #numero de threads
108     ##% ENTRADA DE DADOS E PRE-PROCESSAMENTO
109
110     t_inicio = time.time()
111     print('\nPrograma iniciado.')
112
113     # Le o arquivo de entrada de dados
114     arquivo , CCSup, k = entrada_de_dados.dad1()
115     print('Utilizando a malha 1')
116
117     #arquivo , CCSup, k = entrada_de_dados.dad2()
118     #print('Utilizando a malha 2')
119
120     #arquivo , CCSup, k = entrada_de_dados.dad3()
121     #print('Utilizando a malha 3')
122
123     # Cria a malha
124     malha = meshio.read(arquivo + '.msh') # Le a malha do arquivo .msh
125
126     # Cria a matriz NOS a partir da malha
127     NOS = malha.points
128     # NOS: Matriz [NNx3] que contem as coordenadas dos vertices da malha
        criada ,

```

```

129     #         onde NN e o numero de nos do problema
130
131 # Cria a matriz ELEM a partir da malha
132 ELEM = malha.cells_dict['triangle']
133     # ELEM: Matriz [NEx3] que contem os numeros dos nos que formam cada
           elemento ,
134     #         onde NE e o numero de elementos do problema
135
136 print('Numero de nos:',NOS.shape[0])
137 print('Numero de elementos:',ELEM.shape[0])
138
139
140 # Cria a matriz de condicoes de contorno dos elementos
141 CDC = contorno.gera_elem_cdc(malha,CCSup)
142     # CDC: Matriz [NEx3] que contem a condicao de contorno de cada no dos
143     #         elementos
144
145 #%% MONTAGEM E SOLUCAO DO SISTEMA
146
147 # Calcula as matrizes H e G
148
149 # Calcula as matrizes H e G
150 npg_s = 8     # Numero de pontos de Gauss para a integracao singular
151 npg_r = 6     # Numero de pontos de Gauss para a integracao regular
152 qsi ,w = np.polynomial.legendre.leggauss(npg_r); # Pontos e pesos de Gauss
           para a integracao regular (triangulo)
153 qsi_quad ,w_quad = np.polynomial.legendre.leggauss(npg_s) # Pontos e pesos
           de Gauss para a integracao singular (quadrilatero)
154 nelelem = ELEM.shape[0]           # Numero de elementos
155 nnos = NOS.shape[0]               # Numero de nos
156 H=np.zeros((nnos, nnos))
157 G=np.zeros((nnos,3*nelelem))
158
159 print('Calculando para n=',ncores)
160 for j in range(it):
161     t_gera_dados=time.time()-t_inicio
162
163     t_matriz_inicio = time.time()
164
165     H[:,:],G[:,:] = integ.cal_HeG(NOS, ELEM, k, qsi ,w, qsi_quad ,w_quad, ncores
           ) # Cython
166
167     t_matriz_1[i+1, j-1]=time.time()-t_matriz_inicio # tempo para montagens
           das matrizes H e G
168     # H: Matriz [NNxNN] que contem o resultado da integracao de q* no
           contorno
169     # G: Matriz [NNx3NE] que contem o resultado da integracao de T* no
           contorno
170

```

```

171 t_serial_med = np.mean(t_matriz_1[0,:])
172 t_serial_std = np.std(t_matriz_1[0,:])
173
174 t_n2_med = np.mean(t_matriz_1[1,:])
175 t_n2_std = np.std(t_matriz_1[1,:])
176
177 t_n4_med = np.mean(t_matriz_1[2,:])
178 t_n4_std = np.std(t_matriz_1[2,:])
179
180 t_n6_med = np.mean(t_matriz_1[3,:])
181 t_n6_std = np.std(t_matriz_1[3,:])
182
183 t_n8_med = np.mean(t_matriz_1[4,:])
184 t_n8_std = np.std(t_matriz_1[4,:])
185
186 print('\n tempo serial medio =', np.round(t_serial_med,2), ' desvio padrao
      =', np.round(t_serial_std,2))
187 print('\n tempo medio 2 nucleos =', np.round(t_n2_med,2), ' desvio padrao =
      ', np.round(t_n2_std,2))
188 print('\n tempo medio 4 nucleos =', np.round(t_n4_med,2), ' desvio padrao =
      ', np.round(t_n4_std,2))
189 print('\n tempo medio 6 nucleos =', np.round(t_n6_med,2), ' desvio padrao =
      ', np.round(t_n6_std,2))
190 print('\n tempo medio 8 nucleos =', np.round(t_n8_med,2), ' desvio padrao =
      ', np.round(t_n8_std,2))
191
192
193 #####
194
195 ### ENTRADA DE DADOS E PRE-PROCESSAMENTO
196
197 t_inicio = time.time()
198 print('\nPrograma iniciado. ')
199
200 # Le o arquivo de entrada de dados
201 #arquivo, CCSup, k = entrada_de_dados.dad1()
202 #print('Utilizando a malha 1')
203
204 arquivo, CCSup, k = entrada_de_dados.dad2()
205 print('Utilizando a malha 2')
206
207 #arquivo, CCSup, k = entrada_de_dados.dad3()
208 #print('Utilizando a malha 3')
209
210 # Cria a malha
211 malha = meshio.read(arquivo + '.msh') # Le a malha do arquivo .msh
212
213 # Cria a matriz NOS a partir da malha
214 NOS = malha.points

```

```

215 # NOS: Matriz [NNx3] que contem as coordenadas dos vertices da malha
      criada ,
216 #     onde NN e o numero de nos do problema
217
218 # Cria a matriz ELEM a partir da malha
219 ELEM = malha.cells_dict[ 'triangle' ]
220 # ELEM: Matriz [NEx3] que contem os numeros dos nos que formam cada
      elemento ,
221 #     onde NE e o numero de elementos do problema
222
223 print( 'Numero de nos: ',NOS.shape[0])
224 print( 'Numero de elementos: ',ELEM.shape[0])
225
226
227 # Cria a matriz de condicoes de contorno dos elementos
228 CDC = contorno.gera_elem_cdc(malha,CCSup)
229 # CDC: Matriz [NEx3] que contem a condicao de contorno de cada no dos
230 #     elementos
231
232 %% MONTAGEM E SOLUCAO DO SISTEMA
233
234 # Calcula as matrizes H e G
235
236 # Calcula as matrizes H e G
237 npg_s = 8 # Numero de pontos de Gauss para a integracao singular
238 npg_r = 6 # Numero de pontos de Gauss para a integracao regular
239 qsi ,w = np.polynomial.legendre.leggauss(npg_r); # Pontos e pesos de Gauss
      para a integracao regular (triangulo)
240 qsi_quad ,w_quad = np.polynomial.legendre.leggauss(npg_s) # Pontos e pesos
      de Gauss para a integracao singular (quadrilatero)
241 nelelem = ELEM.shape[0] # Numero de elementos
242 nnos = NOS.shape[0] # Numero de nos
243 H=np.zeros((nnos , nnos))
244 G=np.zeros((nnos ,3*nelem))
245
246 print( 'Calculando codigo serial' )
247 for j in range (it):
248     t_gera_dados=time.time()-t_inicio
249
250     t_matriz_inicio = time.time()
251
252     H[:,:],G[:,:] = integ3.cal_HeG(NOS, ELEM, k, qsi ,w, qsi_quad ,w_quad) #
      Cython
253
254     t_matriz_1[0 , j-1]=time.time()-t_matriz_inicio # tempo para montagens das
      matrizes H e G
255     # H: Matriz [NNxNN] que contem o resultado da integracao de q* no
      contorno

```

```

256     # G: Matriz [NNx3NE] que contem o resultado da integracao de T* no
        contorno
257
258
259 for i in range (casos):
260
261     ncores = i*2+2          #numero de threads
262     ### ENTRADA DE DADOS E PRE-PROCESSAMENTO
263
264     t_inicio = time.time()
265     print('\nPrograma iniciado.')
266
267     # Le o arquivo de entrada de dados
268     #arquivo, CCSup, k = entrada_de_dados.dad1()
269     #print('Utilizando a malha 1')
270
271     arquivo, CCSup, k = entrada_de_dados.dad2()
272     print('Utilizando a malha 2')
273
274     #arquivo, CCSup, k = entrada_de_dados.dad3()
275     #print('Utilizando a malha 3')
276
277     # Cria a malha
278     malha = meshio.read(arquivo + '.msh') # Le a malha do arquivo .msh
279
280     # Cria a matriz NOS a partir da malha
281     NOS = malha.points
282     # NOS: Matriz [NNx3] que contem as coordenadas dos vertices da malha
        criada ,
283     #     onde NN e o numero de nos do problema
284
285     # Cria a matriz ELEM a partir da malha
286     ELEM = malha.cells_dict['triangle']
287     # ELEM: Matriz [NEx3] que contem os numeros dos nos que formam cada
        elemento ,
288     #     onde NE e o numero de elementos do problema
289
290     print('Numero de nos:',NOS.shape[0])
291     print('Numero de elementos:',ELEM.shape[0])
292
293
294     # Cria a matriz de condicoes de contorno dos elementos
295     CDC = contorno.gera_elem_cdc(malha,CCSup)
296     # CDC: Matriz [NEx3] que contem a condicao de contorno de cada no dos
        #     elementos
297
298
299     ### MONTAGEM E SOLUCAO DO SISTEMA
300
301     # Calcula as matrizes H e G

```

```

302
303 # Calcula as matrizes H e G
304 npg_s = 8 # Numero de pontos de Gauss para a integracao singular
305 npg_r = 6 # Numero de pontos de Gauss para a integracao regular
306 qsi ,w = np.polynomial.legendre.leggauss(npg_r); # Pontos e pesos de Gauss
      para a integracao regular (triangulo)
307 qsi_quad ,w_quad = np.polynomial.legendre.leggauss(npg_s) # Pontos e pesos
      de Gauss para a integracao singular (quadrilatero)
308 nelelem = ELEM.shape[0] # Numero de elementos
309 nnos = NOS.shape[0] # Numero de nos
310 H=np.zeros((nnos , nnos))
311 G=np.zeros((nnos ,3*nelem))
312
313 print('Calculando para n=',ncores)
314 for j in range (it):
315     t_gera_dados=time.time()-t_inicio
316
317     t_matriz_inicio = time.time()
318
319     H[:,:],G[:,:] = integ.cal_HeG(NOS, ELEM, k, qsi ,w, qsi_quad ,w_quad ,ncores
      ) # Cython
320
321     t_matriz_1[i+1, j-1]=time.time()-t_matriz_inicio # tempo para montagens
      das matrizes H e G
322     # H: Matriz [NNxNN] que contem o resultado da integracao de q* no
      contorno
323     # G: Matriz [NNx3NE] que contem o resultado da integracao de T* no
      contorno
324
325 t_serial_med = np.mean(t_matriz_1[0 ,:])
326 t_serial_std = np.std(t_matriz_1[0 ,:])
327
328 t_n2_med = np.mean(t_matriz_1[1 ,:])
329 t_n2_std = np.std(t_matriz_1[1 ,:])
330
331 t_n4_med = np.mean(t_matriz_1[2 ,:])
332 t_n4_std = np.std(t_matriz_1[2 ,:])
333
334 t_n6_med = np.mean(t_matriz_1[3 ,:])
335 t_n6_std = np.std(t_matriz_1[3 ,:])
336
337 t_n8_med = np.mean(t_matriz_1[4 ,:])
338 t_n8_std = np.std(t_matriz_1[4 ,:])
339
340 print('\n tempo serial medio =', np.round(t_serial_med,2), ' desvio padrao
      =', np.round(t_serial_std,2))
341 print('\n tempo medio 2 nucleos =', np.round(t_n2_med,2), ' desvio padrao =
      ', np.round(t_n2_std,2))

```

```

342 print('\n tempo medio 4 nucleos =', np.round(t_n4_med,2), ' desvio padrao =
      ', np.round(t_n4_std,2))
343 print('\n tempo medio 6 nucleos =', np.round(t_n6_med,2), ' desvio padrao =
      ', np.round(t_n6_std,2))
344 print('\n tempo medio 8 nucleos =', np.round(t_n8_med,2), ' desvio padrao =
      ', np.round(t_n8_std,2))
345
346
347 #
      #####
348
349 ### ENTRADA DE DADOS E PRE-PROCESSAMENTO
350
351 t_inicio = time.time()
352 print('\nPrograma iniciado.')
353
354 # Le o arquivo de entrada de dados
355 #arquivo, CCSup, k = entrada_de_dados.dad1()
356 #print('Utilizando a malha 1')
357
358 #arquivo, CCSup, k = entrada_de_dados.dad2()
359 #print('Utilizando a malha 2')
360
361 arquivo, CCSup, k = entrada_de_dados.dad3()
362 print('Utilizando a malha 3')
363
364 # Cria a malha
365 malha = meshio.read(arquivo + '.msh') # Le a malha do arquivo .msh
366
367 # Cria a matriz NOS a partir da malha
368 NOS = malha.points
369 # NOS: Matriz [NNx3] que contem as coordenadas dos vertices da malha
      criada ,
370 #     onde NN e o numero de nos do problema
371
372 # Cria a matriz ELEM a partir da malha
373 ELEM = malha.cells_dict['triangle']
374 # ELEM: Matriz [NEx3] que contem os numeros dos nos que formam cada
      elemento ,
375 #     onde NE e o numero de elementos do problema
376
377 print('Numero de nos:', NOS.shape[0])
378 print('Numero de elementos:', ELEM.shape[0])
379
380
381 # Cria a matriz de condicoes de contorno dos elementos
382 CDC = contorno.gera_elem_cdc(malha, CCSup)
383 # CDC: Matriz [NEx3] que contem a condicao de contorno de cada no dos

```



```

384 # elementos
385
386 %% MONTAGEM E SOLUCAO DO SISTEMA
387
388 # Calcula as matrizes H e G
389
390 # Calcula as matrizes H e G
391 npg_s = 8 # Numero de pontos de Gauss para a integracao singular
392 npg_r = 6 # Numero de pontos de Gauss para a integracao regular
393 qsi,w = np.polynomial.legendre.leggauss(npg_r); # Pontos e pesos de Gauss
    para a integracao regular (triangulo)
394 qsi_quad,w_quad = np.polynomial.legendre.leggauss(npg_s) # Pontos e pesos
    de Gauss para a integracao singular (quadrilatero)
395 nelem = ELEM.shape[0] # Numero de elementos
396 nnos = NOS.shape[0] # Numero de nos
397 H=np.zeros((nnos, nnos))
398 G=np.zeros((nnos,3*nelem))
399
400 print('Calculando codigo serial')
401 for j in range (it):
402     t_gera_dados=time.time()-t_inicio
403
404     t_matriz_inicio = time.time()
405
406     H[:,:],G[:,:] = integ3.cal_HeG(NOS, ELEM, k, qsi,w,qsi_quad,w_quad) #
        Cython
407
408     t_matriz_1[0, j-1]=time.time()-t_matriz_inicio # tempo para montagens das
        matrizes H e G
409     # H: Matriz [NNxNN] que contem o resultado da integracao de q* no
        contorno
410     # G: Matriz [NNx3NE] que contem o resultado da integracao de T* no
        contorno
411
412
413 for i in range (casos):
414
415     ncores = i*2+2 #numero de threads
416     %% ENTRADA DE DADOS E PRE-PROCESSAMENTO
417
418     t_inicio = time.time()
419     print('\nPrograma iniciado.')
420
421     # Le o arquivo de entrada de dados
422     #arquivo, CCSup, k = entrada_de_dados.dad1()
423     #print('Utilizando a malha 1')
424
425     #arquivo, CCSup, k = entrada_de_dados.dad2()
426     #print('Utilizando a malha 2')

```

```

427
428 arquivo, CCSup, k = entrada_de_dados.dad3()
429 print('Utilizando a malha 3')
430
431 # Cria a malha
432 malha = meshio.read(arquivo + '.msh') # Le a malha do arquivo .msh
433
434 # Cria a matriz NOS a partir da malha
435 NOS = malha.points
436 # NOS: Matriz [NNx3] que contem as coordenadas dos vertices da malha
437 # criada,
438 # onde NN e o numero de nos do problema
439
440 # Cria a matriz ELEM a partir da malha
441 ELEM = malha.cells_dict['triangle']
442 # ELEM: Matriz [NEx3] que contem os numeros dos nos que formam cada
443 # elemento,
444 # onde NE e o numero de elementos do problema
445
446 print('Numero de nos:', NOS.shape[0])
447 print('Numero de elementos:', ELEM.shape[0])
448
449 # Cria a matriz de condicoes de contorno dos elementos
450 CDC = contorno.gera_elem_cdc(malha, CCSup)
451 # CDC: Matriz [NEx3] que contem a condicao de contorno de cada no dos
452 # elementos
453
454 #%% MONTAGEM E SOLUCAO DO SISTEMA
455
456 # Calcula as matrizes H e G
457
458 # Calcula as matrizes H e G
459 npg_s = 8 # Numero de pontos de Gauss para a integracao singular
460 npg_r = 6 # Numero de pontos de Gauss para a integracao regular
461 qsi, w = np.polynomial.legendre.leggauss(npg_r); # Pontos e pesos de Gauss
462 # para a integracao regular (triangulo)
463 qsi_quad, w_quad = np.polynomial.legendre.leggauss(npg_s) # Pontos e pesos
464 # de Gauss para a integracao singular (quadrilatero)
465 nelelem = ELEM.shape[0] # Numero de elementos
466 nnos = NOS.shape[0] # Numero de nos
467 H=np.zeros((nnos, nnos))
468 G=np.zeros((nnos, 3*nelem))
469
470 print('Calculando para n=', ncores)
471 for j in range(it):
472     t_gera_dados=time.time()-t_inicio
473
474     t_matriz_inicio = time.time()

```

```

472
473 H[:, :], G[:, :] = integ.cal_HeG(NOS, ELEM, k, qsi, w, qsi_quad, w_quad, ncores
    ) # Cython
474
475 t_matriz_1[i+1, j-1]=time.time()-t_matriz_inicio # tempo para montagens
    das matrizes H e G
476 # H: Matriz [NNxNN] que contem o resultado da integracao de q* no
    contorno
477 # G: Matriz [NNx3NE] que contem o resultado da integracao de T* no
    contorno
478
479 t_serial_med = np.mean(t_matriz_1[0, :])
480 t_serial_std = np.std(t_matriz_1[0, :])
481
482 t_n2_med = np.mean(t_matriz_1[1, :])
483 t_n2_std = np.std(t_matriz_1[1, :])
484
485 t_n4_med = np.mean(t_matriz_1[2, :])
486 t_n4_std = np.std(t_matriz_1[2, :])
487
488 t_n6_med = np.mean(t_matriz_1[3, :])
489 t_n6_std = np.std(t_matriz_1[3, :])
490
491 t_n8_med = np.mean(t_matriz_1[4, :])
492 t_n8_std = np.std(t_matriz_1[4, :])
493
494 print('\n tempo serial medio =', np.round(t_serial_med, 2), ' desvio padrao
    =', np.round(t_serial_std, 2))
495 print('\n tempo medio 2 nucleos =', np.round(t_n2_med, 2), ' desvio padrao =
    ', np.round(t_n2_std, 2))
496 print('\n tempo medio 4 nucleos =', np.round(t_n4_med, 2), ' desvio padrao =
    ', np.round(t_n4_std, 2))
497 print('\n tempo medio 6 nucleos =', np.round(t_n6_med, 2), ' desvio padrao =
    ', np.round(t_n6_std, 2))
498 print('\n tempo medio 8 nucleos =', np.round(t_n8_med, 2), ' desvio padrao =
    ', np.round(t_n8_std, 2))

```

D Código integracao.pyx

```
1 #!/usr/bin/env python3
2 # -*- coding: utf-8 -*-
3 """
4 Created on Wed Oct  2 11:39:46 2019
5
6 @author: eder
7 """
8 cimport cython
9 cimport openmp
10 from cython.parallel cimport prange
11 from cython.parallel cimport parallel
12
13
14
15 import numpy as np
16 from libc.math cimport log
17 from libc.math cimport atan2
18 from libc.math cimport sqrt
19 from libc.math cimport asinh
20 from libc.stdio cimport printf
21
22 import cython
23
24 @cython.boundscheck(False)
25 @cython.wraparound(False)
26 @cython.cdivision(True) # to avoid the exception checking
27 @cython.nonecheck(False)
28
29
30 def cal_HeG(double[:, :] NOS, long[:, :] ELEM, double k, double[:, :] qsil, double
   [:, :] w1, double[:, :] qsi_quad, double[:, :] w_quad, int ncores):
31     cdef long nelelem, nnos, npg_s, npg_r, pc
32     nelelem = ELEM.shape[0]           # Numero de elementos
33     nnos = NOS.shape[0]               # Numero de nos
34     cdef double[:, :] H, G, N1, N2, N3, N1q, N2q, N3q, N4q
35     H = np.zeros((nnos, nnos))
36     G = np.zeros((nnos, 3*nelelem))
37     ## = = = = = PONTOS E PESOS DE GAUSS = = = = =
```

```

38 npg_s = qsi_quad.shape[0] # Numero de pontos de Gauss para a
    integracao singular
39 npg_r = qsil.shape[0] # Numero de pontos de Gauss para a integracao
    regular
40 for i in range(npg_r):
41     qsil[i] = 0.5*(qsil[i] + 1) # Converte
        os pontos de Gauss para o intervalo [0, 1]
42     w1[i] = w1[i]*0.5 # Converte
        os pesos de Gauss para o intervalo [0, 1]
43 # %% = = = = FUNCOES DE FORMA = = = = =
44 N1q = np.zeros((npg_s, npg_s))
45 N2q = np.zeros((npg_s, npg_s))
46 N3q = np.zeros((npg_s, npg_s))
47 N4q = np.zeros((npg_s, npg_s))
48
49 N1 = np.zeros((npg_r, npg_r))
50 N2 = np.zeros((npg_r, npg_r))
51 N3 = np.zeros((npg_r, npg_r))
52
53 for l in range(0, npg_r):
54     for m in range(0, npg_r):
55         N1[l, m] = (1 - qsil[m]) * qsil[l] # qsi escrito como qsi_linha e
            eta
56         N2[l, m] = qsil[m]
57         N3[l, m] = 1 - N1[l, m] - N2[l, m]
58
59 for l in range(0, npg_s):
60     for m in range(0, npg_s):
61         N1q[l, m] = (1./4.) * (1. - qsi_quad[l]) * (1. - qsi_quad[m])
62         N2q[l, m] = (1./4.) * (1. + qsi_quad[l]) * (1. - qsi_quad[m])
63         N3q[l, m] = (1./4.) * (1. + qsi_quad[l]) * (1. + qsi_quad[m])
64         N4q[l, m] = (1./4.) * (1. - qsi_quad[l]) * (1. + qsi_quad[m])
65
66
67 #%% = = = = = CALCULO DOS ELEMENTOS DAS MATRIZES H e G = = = = =
68 with nogil:
69     for pc in prange(nelem, schedule='static', num_threads=ncores):
70         calcula(pc, ELEM, NOS, k, N1q, N2q, N3q, N4q, N1, N2, N3, qsil, w1,
            qsi_quad, w_quad, npg_s, npg_r, H, G)
71 for m in range(0, nnos):
72     H[m, m] = 0
73     for l in range(0, nnos):
74         if l != m:
75             H[m, m] = H[m, m] - H[m, l]
76 #
77 return H, G
78 #
79 @cython.boundscheck(False)
80 @cython.wraparound(False)

```

```

81 @cython.cdivision(True) # to avoid the exception checking
82 @cython.nonecheck(False)
83 cdef void calcula(long pc, long[:, :] ELEM, double[:, :] NOS, double k,
84                 double[:, :] N1q, double[:, :] N2q, double[:, :] N3q,
85                 double[:, :] N4q, double[:, :] N1, double[:, :] N2,
86                 double[:, :] N3, double[:] qsil, double[:] w1,
87                 double[:] qsi_quad, double[:] w_quad, long npg_s, long
88                 npg_r,
89                 double[:, :] H, double[:, :] G) nogil:
90 cdef long nelelem, nnos, i, l, m, noglobal, ipf
91 cdef long[3] nos
92 nelelem = ELEM.shape[0] # Numero de elementos
93 nnos = NOS.shape[0] # Numero de nos
94 cdef double[3] X1, X2, X3, Xd, n, g, h
95 cdef double J
96 nos[0] = ELEM[pc, 0] # Nos que compoem o elemento
97 nos[1] = ELEM[pc, 1] # Nos que compoem o elemento
98 nos[2] = ELEM[pc, 2] # Nos que compoem o elemento
99 X1[0] = NOS[nos[0], 0] # Coordenadas do no 1 do elemento
100 X1[1] = NOS[nos[0], 1] # Coordenadas do no 1 do elemento
101 X1[2] = NOS[nos[0], 2] # Coordenadas do no 1 do elemento
102 X2[0] = NOS[nos[1], 0] # Coordenadas do no 2 do elemento
103 X2[1] = NOS[nos[1], 1] # Coordenadas do no 2 do elemento
104 X2[2] = NOS[nos[1], 2] # Coordenadas do no 2 do elemento
105 X3[0] = NOS[nos[2], 0] # Coordenadas do no 3 do elemento
106 X3[1] = NOS[nos[2], 1] # Coordenadas do no 3 do elemento
107 X3[2] = NOS[nos[2], 2] # Coordenadas do no 3 do elemento
108 n[0]=0
109 n[1]=0
110 n[2]=0
111 J=calc_vetnormal(X1, X2, X3, n) # Vetor unitario normal ao elemento
112 for pf in range(0, nnos): # Laco sobre os pontos fonte
113     Xd[0] = NOS[pf, 0] # Coordenadas do ponto fonte
114     Xd[1] = NOS[pf, 1] # Coordenadas do ponto fonte
115     Xd[2] = NOS[pf, 2] # Coordenadas do ponto fonte
116     if (pf==nos[0] or pf==nos[1] or pf==nos[2]): # Integracao singular
117         (o ponto fonte pertence ao elemento)
118         if pf==nos[0]: # O ponto fonte esta no no 1
119             ipf = 1 # Sinaliza que o ponto fonte esta
120                 sobre o primeiro no
121         elif pf==nos[1]: # O ponto fonte esta no no 2
122             ipf = 2 # Sinaliza que o ponto fonte esta
123                 sobre o segundo no
124         elif pf==nos[2]: # O ponto fonte esta no no 3
125             ipf = 3 # Sinaliza que o ponto fonte esta
126                 sobre o terceiro no
127     g[0]=0
128     g[1]=0

```

```

125         g[2]=0
126         calcula_Gs(X1,X2,X3,Xd, ipf , N1q,N2q,N3q,N4q, qsi_quad , w_quad, k , g)
127         h[0]=0
128         h[1]=0
129         h[2]=0
130     else: # Integracao regular (o ponto fonte nao pertence ao elemento)
131         g[0]=0
132         g[1]=0
133         g[2]=0
134
135         h[0]=0
136         h[1]=0
137         h[2]=0
138         calcula_HeGns(X1,X2,X3,Xd, qsil , w1,n,k,J,N1,N2,N3,g,h)
139     for nlocal in range(0,3):
140         noglobal = ELEM[pc,nlocal] # Indice da matriz global H
141         H[pf,noglobal] = H[pf,noglobal] + h[nlocal]
142
143         G[pf,3*pc] = g[0]
144         G[pf,3*pc+1] = g[1]
145         G[pf,3*pc+2] = g[2]
146
147
148 #     %% = = = = = DIAGONAL DA MATRIZ H = = = = =
149 #     Calcula os termos da diagonal da matriz H (consideracao de corpo a
150     temperatura constante)
151 @cython.boundscheck(False)
152 @cython.wraparound(False)
153 @cython.cdivision(True) # to avoid the exception checking
154 @cython.nonecheck(False)
155
156 cdef double calc_vetnormal(double [3] X1,double [3] X2, double [3] X3,double
157     [3] n) nogil:
158     # Function que calcula o vetor unitario normal ao elemento
159     cdef double [3] v1,v2
160     v1[0] = X3[0] - X2[0] # Vetor formado pela aresta 3-2 do
161     elemento
162     v1[1] = X3[1] - X2[1] # Vetor formado pela aresta 3-2 do
163     elemento
164     v1[2] = X3[2] - X2[2] # Vetor formado pela aresta 3-2 do
165     elemento
166     v2[0] = X1[0] - X2[0] # Vetor formado pela aresta 1-2 do
167     elemento
168     v2[1] = X1[1] - X2[1] # Vetor formado pela aresta 1-2 do
169     elemento
170     v2[2] = X1[2] - X2[2] # Vetor formado pela aresta 1-2 do
171     elemento
172     n[0]=v1[1]*v2[2]-v1[2]*v2[1]

```

```

166     n[1]=v1[2]*v2[0]-v1[0]*v2[2]
167     n[2]=v1[0]*v2[1]-v1[1]*v2[0]
168     J=sqrt(n[0]**2+n[1]**2+n[2]**2)
169     n[0]=n[0]/J
170     n[1]=n[1]/J
171     n[2]=n[2]/J
172     return J
173
174 @cython.boundscheck(False)
175 @cython.wraparound(False)
176 @cython.cdivision(True) # to avoid the exception checking
177 @cython.nonecheck(False)
178
179
180 cdef void calcula_HeGns(double[3] X1,double[3] X2,double[3] X3,double[3] Xd
181     ,double[:] eta ,double[:] w2,double[3] n,double k,double J,double[:,:] N1
182     ,double[:,:] N2,double[:,:] N3,double[3] g,double[3] h) nogil:
183     """
184     Integracao numerica nao-singular de elementos de contorno triangulares
185     lineares continuos
186     """
187     cdef double[3] R,Xc
188     g[0] = 0; # Inicializa o somatorio de g
189     g[1] = 0; # Inicializa o somatorio de g
190     g[2] = 0; # Inicializa o somatorio de g
191     h[0] = 0; # Inicializa o somatorio de g
192     h[1] = 0; # Inicializa o somatorio de g
193     h[2] = 0; # Inicializa o somatorio de g
194
195 # n_pint1 = qsil.shape[0] # Nro de pontos de integracao na direcao qsi
196 cdef long n_pint
197 n_pint = eta.shape[0] # Nro de pontos de integracao na direcao eta
198
199 cdef long l,m
200 cdef double r ,Tast ,qast ,pi
201 pi = 3.141592654
202
203 for l in range(0,n_pint): # Laco sobre os pontos de integracao
204     for m in range(0,n_pint): # Laco sobre os pontos de integracao
205         Xc[0] = N1[l,m]*X1[0] + N2[l,m]*X2[0] + N3[l,m]*X3[0] #
206             coordenadas dos pontos de integracao
207         Xc[1] = N1[l,m]*X1[1] + N2[l,m]*X2[1] + N3[l,m]*X3[1] #
208             coordenadas dos pontos de integracao
209         Xc[2] = N1[l,m]*X1[2] + N2[l,m]*X2[2] + N3[l,m]*X3[2] #
210             coordenadas dos pontos de integracao
211
212         # Solucao fundamental: inicio
213         R[0] = Xc[0] - Xd[0]
214         R[1] = Xc[1] - Xd[1]

```



```

210     R[2] = Xc[2] - Xd[2]
211     r = sqrt(R[0]**2 + R[1]**2 + R[2]**2)
212     Tast = 1.0/(4.0*k*pi*r)
213     qast = (R[0]*n[0] + R[1]*n[1] + R[2]*n[2])/(4.0*pi*r**3.0)
214     # Solucao fundamental: fim
215
216     # Integral da matriz H
217     h[0] += qast*N1[1,m]*(1-eta[m])*w2[1]*w2[m]*J
218     h[1] += qast*N2[1,m]*(1-eta[m])*w2[1]*w2[m]*J
219     h[2] += qast*N3[1,m]*(1-eta[m])*w2[1]*w2[m]*J
220     # Integral da matriz G
221     g[0] += Tast*N1[1,m]*(1-eta[m])*w2[1]*w2[m]*J
222     g[1] += Tast*N2[1,m]*(1-eta[m])*w2[1]*w2[m]*J
223     g[2] += Tast*N3[1,m]*(1-eta[m])*w2[1]*w2[m]*J
224
225 @cython.boundscheck(False)
226 @cython.wraparound(False)
227 @cython.cdivision(True) # to avoid the exception checking
228 @cython.nonecheck(False)
229
230
231 cdef void calcula_Gs(double[3] X1,double[3] X2,double[3] X3,double[3] Xd,
232                   long pf,double[:,:] N1q,double[:,:] N2q,double[:,:]
233                   N3q,
234                   double[:,:] N4q,double[:] qsi_quad, double[:] w_quad,
235                   double k,double[3] g) nogil:
236     """
237     Function: calcula_Gs
238     Descricao: Integracao singular da matriz G. O elemento triangular e
239                transformado em um elemento quadrilateral degenerado. Os
240                dois
241                primeiros nos deste quadrilatero sao coincidentes (formam um
242                so vertice do triangulo) e correspondem ao ponto onde existe
243                a
244                singularidade, ou seja, ao ponto fonte. Isto faz com que
245                haja
246                uma concentracao de pontos de integracao junto a
247                singularidade, alem do jacobiano ser igual a zero na
248                singularidade. No caso da matriz H, os elementos da diagonal
249                sao calculados pela consideracao de corpo a temperatura
250                constante.
251     Autor: Gustavo Gontijo, adaptado de Eder Lima de Albuquerque
252
253     Ultima modificacao: 05/05/2014 - 19h23min
254     """
255     cdef long npg,l,m
256     cdef double[3] R,Xc,X1t,X2t,X3t,X4t
257
258     cdef double J,r,Tast,pi

```

```

255 cdef double [4] dNdqsi ,dNdeta
256 cdef double dxdqsi ,dydqsi ,dzdqsi ,dxdeta ,dydeta ,dzdeta ,g1 ,g2 ,g3
257 g [0] = 0 # Inicializacao da matriz g
258 g [1] = 0 # Inicializacao da matriz g
259 g [2] = 0 # Inicializacao da matriz g
260 npg = qsi_quad.shape [0] # Numero de pontos de integracao
261 pi = 3.141592654
262 # Transformacao do triangulo em quadrilatero
263
264 X1t [0] = Xd [0] # coordenadas do primeiro no do quadrilatero
degenerado
265 X1t [1] = Xd [1] # coordenadas do primeiro no do quadrilatero
degenerado
266 X1t [2] = Xd [2] # coordenadas do primeiro no do quadrilatero
degenerado
267
268 X4t [0] = Xd [0] # coordenadas do quarto no do quadrilatero degenerado
269 X4t [1] = Xd [1] # coordenadas do quarto no do quadrilatero degenerado
270 X4t [2] = Xd [2] # coordenadas do quarto no do quadrilatero degenerado
271
272 if (pf == 1): # O ponto fonte esta no no 1
273 X2t [0] = X2 [0] # coordenadas do segundo no do
quadrilatero degenerado
274 X2t [1] = X2 [1] # coordenadas do segundo no do
quadrilatero degenerado
275 X2t [2] = X2 [2] # coordenadas do segundo no do
quadrilatero degenerado
276
277 X3t [0] = X3 [0] # coordenadas do terceiro no do
quadrilatero degenerado
278 X3t [1] = X3 [1] # coordenadas do terceiro no do
quadrilatero degenerado
279 X3t [2] = X3 [2] # coordenadas do terceiro no do
quadrilatero degenerado
280 elif (pf == 2): # O ponto fonte esta no no 2
281 X2t [0] = X3 [0] # coordenadas do segundo no do
quadrilatero degenerado
282 X2t [1] = X3 [1] # coordenadas do segundo no do
quadrilatero degenerado
283 X2t [2] = X3 [2] # coordenadas do segundo no do
quadrilatero degenerado
284
285 X3t [0] = X1 [0] # coordenadas do terceiro no do
quadrilatero degenerado
286 X3t [1] = X1 [1] # coordenadas do terceiro no do
quadrilatero degenerado
287 X3t [2] = X1 [2] # coordenadas do terceiro no do
quadrilatero degenerado
288 elif (pf == 3): # O ponto fonte esta no no 3

```

```

289     X2t[0] = X1[0]           # coordenada do segundo no do
        quadrilatero degenerado
290     X2t[1] = X1[1]           # coordenada do segundo no do
        quadrilatero degenerado
291     X2t[2] = X1[2]           # coordenada do segundo no do
        quadrilatero degenerado
292
293     X3t[0] = X2[0]           # coordenada do terceiro no do
        quadrilatero degenerado
294     X3t[1] = X2[1]           # coordenada do terceiro no do
        quadrilatero degenerado
295     X3t[2] = X2[2]           # coordenada do terceiro no do
        quadrilatero degenerado
296
297 #     Integracao regular do elemento
298 for l in range(0,npg):       # Laco sobre a primeira variavel de
        integracao
299     for m in range(0,npg):   # Laco sobre a segunda variavel de
        integracao
300         # Calculo das funcoes de forma
301         # Coordenadas do ponto campo
302         Xc[0] = N1q[1,m]*X1t[0] + N2q[1,m]*X2t[0] + N3q[1,m]*X3t[0] +
            N4q[1,m]*X4t[0] # coordenadas dos pontos de integracao
303         Xc[1] = N1q[1,m]*X1t[1] + N2q[1,m]*X2t[1] + N3q[1,m]*X3t[1] +
            N4q[1,m]*X4t[1] # coordenadas dos pontos de integracao
304         Xc[2] = N1q[1,m]*X1t[2] + N2q[1,m]*X2t[2] + N3q[1,m]*X3t[2] +
            N4q[1,m]*X4t[2] # coordenadas dos pontos de integracao
305
306         # Jacobiano (varia ao longo do elemento degenerado)
307         dNdqsi[0] = (1./4.)*(-(1. - qsi_quad[m]))
308         dNdqsi[1] = (1./4.)*(1. - qsi_quad[m])
309         dNdqsi[2] = (1./4.)*(1. + qsi_quad[m])
310         dNdqsi[3] = (1./4.)*(-(1. + qsi_quad[m]))
311
312         dNdeta[0] = (1./4.)*(-(1. - qsi_quad[1]))
313         dNdeta[1] = (1./4.)*(-(1. + qsi_quad[1]))
314         dNdeta[2] = (1./4.)*((1. + qsi_quad[1]))
315         dNdeta[3] = (1./4.)*((1. - qsi_quad[1]))
316
317
318         dxdqsi = X1t[0]*dNdqsi[0] + X2t[0]*dNdqsi[1] + X3t[0]*dNdqsi[2]
            + X4t[0]*dNdqsi[3]
319         dydqsi = X1t[1]*dNdqsi[0] + X2t[1]*dNdqsi[1] + X3t[1]*dNdqsi[2]
            + X4t[1]*dNdqsi[3]
320         dzdqsi = X1t[2]*dNdqsi[0] + X2t[2]*dNdqsi[1] + X3t[2]*dNdqsi[2]
            + X4t[2]*dNdqsi[3]
321
322         dxdeta = X1t[0]*dNdeta[0] + X2t[0]*dNdeta[1] + X3t[0]*dNdeta[2]
            + X4t[0]*dNdeta[3]

```

```

323 dydeta = X1t[1]*dNdeta[0] + X2t[1]*dNdeta[1] + X3t[1]*dNdeta[2]
      + X4t[1]*dNdeta[3]
324 dzdeta = X1t[2]*dNdeta[0] + X2t[2]*dNdeta[1] + X3t[2]*dNdeta[2]
      + X4t[2]*dNdeta[3]
325
326 g1 = dydqsi*dzdeta - dzdqsi*dydeta
327 g2 = dzdqsi*dxdeta - dxdqsi*dzdeta
328 g3 = dxdqsi*dydeta - dydqsi*dxdeta
329 J = sqrt(g1**2.0 + g2**2.0 + g3**2.0)
330
331 # Solucao fundamental: inicio
332 R[0] = Xc[0] - Xd[0]
333 R[1] = Xc[1] - Xd[1]
334 R[2] = Xc[2] - Xd[2]
335
336 r = sqrt(R[0]**2 + R[1]**2 + R[2]**2)
337 Tast = 1.0/(4.0*k*pi*r)
338 # Solucao fundamental: fim
339
340 # Integral da matriz G
341 if pf==1:
342     g[0] += Tast*(N1q[1,m]+N4q[1,m])*w_quad[1]*w_quad[m]*J
343     g[1] += Tast*N2q[1,m]*w_quad[1]*w_quad[m]*J
344     g[2] += Tast*N3q[1,m]*w_quad[1]*w_quad[m]*J
345 elif pf==2:
346     g[0] += Tast*N3q[1,m]*w_quad[1]*w_quad[m]*J
347     g[1] += Tast*(N1q[1,m]+N4q[1,m])*w_quad[1]*w_quad[m]*J
348     g[2] += Tast*N2q[1,m]*w_quad[1]*w_quad[m]*J
349 else:
350     g[0] += Tast*N2q[1,m]*w_quad[1]*w_quad[m]*J
351     g[1] += Tast*N3q[1,m]*w_quad[1]*w_quad[m]*J
352     g[2] += Tast*(N1q[1,m]+N4q[1,m])*w_quad[1]*w_quad[m]*J

```

E Código integracao2.pyx

```
1 #!/usr/bin/env python3
2 # -*- coding: utf-8 -*-
3 """
4 Created on Wed Oct  2 11:39:46 2019
5
6 @author: eder
7 """
8 cimport cython
9 cimport openmp
10 from cython.parallel cimport prange
11 from cython.parallel cimport parallel
12
13
14
15 import numpy as np
16 from libc.math cimport log
17 from libc.math cimport atan2
18 from libc.math cimport sqrt
19 from libc.math cimport asinh
20 from libc.stdio cimport printf
21
22 import cython
23
24 @cython.boundscheck(False)
25 @cython.wraparound(False)
26 @cython.cdivision(True) # to avoid the exception checking
27 @cython.nonecheck(False)
28
29
30 def cal_HeG(double[:, :] NOS, long[:, :] ELEM, double k, double[:, :] qsil, double
   [:, :] w1, double[:, :] qsi_quad, double[:, :] w_quad, int ncores):
31     cdef long nelelem, nnos, npg_s, npg_r, pc
32     cdef double[:, :] H, G, N1, N2, N3, N1q, N2q, N3q, N4q
33     cdef long i, l, m, noglobal, ipf, pf, nlocal
34     cdef long[3] nos
35     cdef double[3] X1, X2, X3, Xd, n, g, h
36     cdef double J
37
38     nelelem = ELEM.shape[0] # Numero de elementos
```

```

39     nnos = NOS.shape[0]                # Numero de nos
40
41     H=np.zeros((nnos, nnos))
42     G=np.zeros((nnos,3*nelem))
43     ### ===== PONTOS E PESOS DE GAUSS =====
44     npg_s = qsi_quad.shape[0]         # Numero de pontos de Gauss para a
         integracao singular
45     npg_r = qsil.shape[0]             # Numero de pontos de Gauss para a integracao
         regular
46     for i in range(npg_r):
47         qsil[i] = 0.5*(qsil[i] + 1)           # Converte
         os pontos de Gauss para o intervalo [0, 1]
48         w1[i] = w1[i]*0.5                 # Converte
         os pesos de Gauss para o intervalo [0, 1]
49 #   %% ===== FUNCOES DE FORMA =====
50     N1q = np.zeros((npg_s, npg_s))
51     N2q = np.zeros((npg_s, npg_s))
52     N3q = np.zeros((npg_s, npg_s))
53     N4q = np.zeros((npg_s, npg_s))
54
55     N1 = np.zeros((npg_r, npg_r))
56     N2 = np.zeros((npg_r, npg_r))
57     N3 = np.zeros((npg_r, npg_r))
58
59     for l in range(0, npg_r):
60         for m in range(0, npg_r):
61             N1[l, m] = (1-qsil[m])*qsil[l] # qsi escrito como qsi_linha e
         eta
62             N2[l, m] = qsil[m]
63             N3[l, m] = 1-N1[l, m]-N2[l, m]
64
65     for l in range(0, npg_s):
66         for m in range(0, npg_s):
67             N1q[l, m] = (1./4.)*(1. - qsi_quad[l])*(1. - qsi_quad[m])
68             N2q[l, m] = (1./4.)*(1. + qsi_quad[l])*(1. - qsi_quad[m])
69             N3q[l, m] = (1./4.)*(1. + qsi_quad[l])*(1. + qsi_quad[m])
70             N4q[l, m] = (1./4.)*(1. - qsi_quad[l])*(1. + qsi_quad[m])
71
72
73     ### ===== CALCULO DOS ELEMENTOS DAS MATRIZES H e G =====
74
75     with nogil:
76
77         for pc in prange(nelem, schedule='static', num_threads=ncores):
78             #if(omp_get_thread_num()==0 and pc ==0):
79             #     printf("Numero de threads\n")
80             #     printf("%d\n", omp_get_num_threads())
81
82     #     print(omp_get_num_threads())

```

```

83
84     nos [0] = ELEM[pc,0]           # Nos que compoem o elemento
85     nos [1] = ELEM[pc,1]           # Nos que compoem o elemento
86     nos [2] = ELEM[pc,2]           # Nos que compoem o elemento
87     X1[0] = NOS[nos[0],0]          # Coordenadas do no 1 do elemento
88     X1[1] = NOS[nos[0],1]          # Coordenadas do no 1 do elemento
89     X1[2] = NOS[nos[0],2]          # Coordenadas do no 1 do elemento
90     X2[0] = NOS[nos[1],0]          # Coordenadas do no 2 do elemento
91     X2[1] = NOS[nos[1],1]          # Coordenadas do no 2 do elemento
92     X2[2] = NOS[nos[1],2]          # Coordenadas do no 2 do elemento
93     X3[0] = NOS[nos[2],0]          # Coordenadas do no 3 do elemento
94     X3[1] = NOS[nos[2],1]          # Coordenadas do no 3 do elemento
95     X3[2] = NOS[nos[2],2]          # Coordenadas do no 3 do elemento
96     n[0]=0
97     n[1]=0
98     n[2]=0
99     J=calc_vetnormal(X1,X2,X3,n)   # Vetor unitario normal ao
                                     elemento
100    for pf in range(0,nnos): # Laco sobre os pontos fonte
101        Xd[0] = NOS[pf,0]           # Coordenadas do ponto fonte
102        Xd[1] = NOS[pf,1]           # Coordenadas do ponto fonte
103        Xd[2] = NOS[pf,2]           # Coordenadas do ponto fonte
104        if (pf==nos[0] or pf==nos[1] or pf==nos[2]): # Integracao
                                     singular (o ponto fonte pertence ao
105            if pf==nos[0]: # O ponto fonte esta no no 1
106                ipf = 1              # Sinaliza que o ponto fonte
                                     esta sobre o primeiro no
107            elif pf==nos[1]: # O ponto fonte esta no no 2
108                ipf = 2              # Sinaliza que o ponto fonte
                                     esta sobre o segundo no
109            elif pf==nos[2]: # O ponto fonte esta no no 3
110                ipf = 3              # Sinaliza que o ponto fonte
                                     esta sobre o terceiro no
111                g[0]=0
112                g[1]=0
113                g[2]=0
114                calcula_Gs(X1,X2,X3,Xd, ipf ,N1q,N2q,N3q,N4q, qsi_quad ,
                                     w_quad,k,g)
115                h[0]=0
116                h[1]=0
117                h[2]=0
118        else: # Integracao regular (o ponto fonte nao pertence ao
                                     elemento)
119            g[0]=0
120            g[1]=0
121            g[2]=0
122            h[0]=0
123            h[1]=0
124            h[2]=0

```

```

125         calcula_HeGns(X1,X2,X3,Xd, qsil ,w1,n,k,J,N1,N2,N3,g,h)
126     for nlocal in range(0,3):
127         noglobal = ELEM[pc,nlocal] # Indice da matriz global
128         H
129         H[pc,nlocal] += h[nlocal]
130         G[pc,3*pc] = g[0]
131         G[pc,3*pc+1] = g[1]
132         G[pc,3*pc+2] = g[2]
133     for m in range(0,nnos):
134         H[m,m] = 0
135         for l in range(0,nnos):
136             if l != m:
137                 H[m,m] += - H[m,l]
138     return H,G
139 #
140 @cython.boundscheck(False)
141 @cython.wraparound(False)
142 @cython.cdivision(True) # to avoid the exception checking
143 @cython.nonecheck(False)
144 cdef void calcula(long pc, long[:,:] ELEM, double[:,:] NOS, double k,
145                 double[:,:] N1q, double[:,:] N2q, double[:,:] N3q,
146                 double[:,:] N4q, double[:,:] N1, double[:,:] N2,
147                 double[:,:] N3, double[:] qsil, double[:] w1,
148                 double[:] qsi_quad, double[:] w_quad, long npg_s, long
149                 npg_r,
150                 double[:,:] H, double[:,:] G) nogil:
151 cdef long nelelem, nnos, i, l, m, noglobal, ipf
152 cdef long[3] nos
153 nelelem = ELEM.shape[0] # Numero de elementos
154 nnos = NOS.shape[0] # Numero de nos
155 cdef double[3] X1,X2,X3,Xd,n,g,h
156 cdef double J
157 nos[0] = ELEM[pc,0] # Nos que compoem o elemento
158 nos[1] = ELEM[pc,1] # Nos que compoem o elemento
159 nos[2] = ELEM[pc,2] # Nos que compoem o elemento
160 X1[0] = NOS[nos[0],0] # Coordenadas do no 1 do elemento
161 X1[1] = NOS[nos[0],1] # Coordenadas do no 1 do elemento
162 X1[2] = NOS[nos[0],2] # Coordenadas do no 1 do elemento
163 X2[0] = NOS[nos[1],0] # Coordenadas do no 2 do elemento
164 X2[1] = NOS[nos[1],1] # Coordenadas do no 2 do elemento
165 X2[2] = NOS[nos[1],2] # Coordenadas do no 2 do elemento
166 X3[0] = NOS[nos[2],0] # Coordenadas do no 3 do elemento
167 X3[1] = NOS[nos[2],1] # Coordenadas do no 3 do elemento
168 X3[2] = NOS[nos[2],2] # Coordenadas do no 3 do elemento
169 n[0]=0
170 n[1]=0
171 n[2]=0
172 J=calc_vetnormal(X1,X2,X3,n) # Vetor unitario normal ao elemento

```



```

172 for pf in range(0, nnos): # Laco sobre os pontos fonte
173     Xd[0] = NOS[pf, 0]           # Coordenadas do ponto fonte
174     Xd[1] = NOS[pf, 1]           # Coordenadas do ponto fonte
175     Xd[2] = NOS[pf, 2]           # Coordenadas do ponto fonte
176
177     if (pf==nos[0] or pf==nos[1] or pf==nos[2]): # Integracao singular
178         (o ponto fonte pertence ao elemento)
179         if pf==nos[0]: # O ponto fonte esta no no 1
180             ipf = 1           # Sinaliza que o ponto fonte esta
181                 sobre o primeiro no
182         elif pf==nos[1]: # O ponto fonte esta no no 2
183             ipf = 2           # Sinaliza que o ponto fonte esta
184                 sobre o segundo no
185         elif pf==nos[2]: # O ponto fonte esta no no 3
186             ipf = 3           # Sinaliza que o ponto fonte esta
187                 sobre o terceiro no
188
189         g[0]=0
190         g[1]=0
191         g[2]=0
192         calcula_Gs(X1,X2,X3,Xd, ipf ,N1q,N2q,N3q,N4q, qsi_quad ,w_quad,k,g)
193         h[0]=0
194         h[1]=0
195         h[2]=0
196     else: # Integracao regular (o ponto fonte nao pertence ao elemento)
197         g[0]=0
198         g[1]=0
199         g[2]=0
200
201         h[0]=0
202         h[1]=0
203         h[2]=0
204         calcula_HeGns(X1,X2,X3,Xd, qsil ,w1,n,k,J,N1,N2,N3,g,h)
205     for nlocal in range(0,3):
206         noglobal = ELEM[pc, nlocal] # Indice da matriz global H
207         H[pf, noglobal] = H[pf, noglobal] + h[nlocal]
208
209     G[pf, 3*pc] = g[0]
210     G[pf, 3*pc+1] = g[1]
211     G[pf, 3*pc+2] = g[2]
212
213 #     %% = = = = = DIAGONAL DA MATRIZ H = = = = =
214 #     Calcula os termos da diagonal da matriz H (consideracao de corpo a
215     temperatura constante)
216 @cython.boundscheck(False)
217 @cython.wraparound(False)
218 @cython.cdivision(True) # to avoid the exception checking
219 @cython.nonecheck(False)

```

```

216
217 cdef double calc_vetnormal(double [3] X1, double [3] X2, double [3] X3, double
    [3] n) nogil:
218     # Function que calcula o vetor unitario normal ao elemento
219     cdef double [3] v1, v2
220     v1 [0] = X3 [0] - X2 [0]           # Vetor formado pela aresta 3-2 do
        elemento
221     v1 [1] = X3 [1] - X2 [1]           # Vetor formado pela aresta 3-2 do
        elemento
222     v1 [2] = X3 [2] - X2 [2]           # Vetor formado pela aresta 3-2 do
        elemento
223     v2 [0] = X1 [0] - X2 [0]           # Vetor formado pela aresta 1-2 do
        elemento
224     v2 [1] = X1 [1] - X2 [1]           # Vetor formado pela aresta 1-2 do
        elemento
225     v2 [2] = X1 [2] - X2 [2]           # Vetor formado pela aresta 1-2 do
        elemento
226     n [0] = v1 [1] * v2 [2] - v1 [2] * v2 [1]
227     n [1] = v1 [2] * v2 [0] - v1 [0] * v2 [2]
228     n [2] = v1 [0] * v2 [1] - v1 [1] * v2 [0]
229     J = sqrt (n [0] ** 2 + n [1] ** 2 + n [2] ** 2)
230     n [0] = n [0] / J
231     n [1] = n [1] / J
232     n [2] = n [2] / J
233     return J
234
235 @cython.boundscheck(False)
236 @cython.wraparound(False)
237 @cython.cdivision(True) # to avoid the exception checking
238 @cython.nonecheck(False)
239
240
241 cdef void calcula_HeGns(double [3] X1, double [3] X2, double [3] X3, double [3] Xd
    , double [:] eta , double [:] w2, double [3] n, double k, double J, double [:, :] N1
    , double [:, :] N2, double [:, :] N3, double [3] g, double [3] h) nogil:
242     """
243     Integracao numerica nao-singular de elementos de contorno triangulares
244     lineares continuos
245     """
246     cdef double [3] R, Xc
247     g [0] = 0; # Inicializa o somatorio de g
248     g [1] = 0; # Inicializa o somatorio de g
249     g [2] = 0; # Inicializa o somatorio de g
250     h [0] = 0; # Inicializa o somatorio de g
251     h [1] = 0; # Inicializa o somatorio de g
252     h [2] = 0; # Inicializa o somatorio de g
253
254 #     n_pint1 = qsil.shape [0] # Nro de pontos de integracao na direcao qsi
255     cdef long n_pint

```

```

256 n_pint = eta.shape[0]      # Nro de pontos de integracao na direcao eta
257
258 cdef long l,m
259 cdef double r ,Tast ,qast ,pi
260 pi = 3.141592654
261
262 for l in range(0,n_pint):    # Laco sobre os pontos de integracao
263     for m in range(0,n_pint): # Laco sobre os pontos de integracao
264         Xc[0] = N1[l,m]*X1[0] + N2[l,m]*X2[0] + N3[l,m]*X3[0] #
                coordenadas dos pontos de integracao
265         Xc[1] = N1[l,m]*X1[1] + N2[l,m]*X2[1] + N3[l,m]*X3[1] #
                coordenadas dos pontos de integracao
266         Xc[2] = N1[l,m]*X1[2] + N2[l,m]*X2[2] + N3[l,m]*X3[2] #
                coordenadas dos pontos de integracao
267
268     # Solucao fundamental: inicio
269     R[0] = Xc[0] - Xd[0]
270     R[1] = Xc[1] - Xd[1]
271     R[2] = Xc[2] - Xd[2]
272     r = sqrt(R[0]**2 + R[1]**2 + R[2]**2)
273     Tast = 1.0/(4.0*k*pi*r)
274     qast = (R[0]*n[0] + R[1]*n[1] + R[2]*n[2])/(4.0*pi*r**3.0)
275     # Solucao fundamental: fim
276
277     # Integral da matriz H
278     h[0] += qast*N1[l,m]*(1-eta[m])*w2[l]*w2[m]*J
279     h[1] += qast*N2[l,m]*(1-eta[m])*w2[l]*w2[m]*J
280     h[2] += qast*N3[l,m]*(1-eta[m])*w2[l]*w2[m]*J
281     # Integral da matriz G
282     g[0] += Tast*N1[l,m]*(1-eta[m])*w2[l]*w2[m]*J
283     g[1] += Tast*N2[l,m]*(1-eta[m])*w2[l]*w2[m]*J
284     g[2] += Tast*N3[l,m]*(1-eta[m])*w2[l]*w2[m]*J
285
286 @cython.boundscheck(False)
287 @cython.wraparound(False)
288 @cython.cdivision(True) # to avoid the exception checking
289 @cython.nonecheck(False)
290
291
292 cdef void calcula_Gs(double[3] X1,double[3] X2,double[3] X3,double[3] Xd,
293                    long pf,double[:,:] N1q,double[:,:] N2q,double[:,:]
                N3q,
294                    double[:,:] N4q,double[:] qsi_quad, double[:] w_quad,
295                    double k,double[3] g) nogil:
296     """
297     Function: calcula_Gs
298     Descricao: Integracao singular da matriz G. O elemento triangular e
299                transformado em um elemento quadrilateral degenerado. Os
                dois

```

```

300     primeiros nos deste quadrilatero sao coincidentes (formam um
301     so vertice do triangulo) e correspondem ao ponto onde existe
302     a
303     singularidade , ou seja , ao ponto fonte . Isto faz com que
304     haja
305     uma concentracao de pontos de integracao junto a
306     singularidade , alem do jacobiano ser igual a zero na
307     singularidade . No caso da matriz H, os elementos da diagonal
308     sao calculados pela consideracao de corpo a temperatura
309     constante .
310 Autor:     Gustavo Gontijo , adaptado de Eder Lima de Albuquerque
311
312 Ultima modificacao: 05/05/2014 - 19h23min
313 """
314 cdef long  npg , l , m
315 cdef double [3]  R , Xc , X1t , X2t , X3t , X4t
316
317 cdef double  J , r , Tast , pi
318 cdef double [4]  dNdqsi , dNdeta
319 cdef double  dxdqsi , dydqsi , dzdqsi , dxdeteta , dydeteta , dzdeteta , g1 , g2 , g3
320 g [0] = 0          # Inicializacao da matriz g
321 g [1] = 0          # Inicializacao da matriz g
322 g [2] = 0          # Inicializacao da matriz g
323 npg = qsi_quad . shape [0]  # Numero de pontos de integracao
324 pi = 3.141592654
325 # Transformacao do triangulo em quadrilatero
326
327 X1t [0] = Xd [0]   # coordenadas do primeiro no do quadrilatero
328     degenerado
329 X1t [1] = Xd [1]   # coordenadas do primeiro no do quadrilatero
330     degenerado
331 X1t [2] = Xd [2]   # coordenadas do primeiro no do quadrilatero
332     degenerado
333
334 X4t [0] = Xd [0]   # coordenadas do quarto no do quadrilatero degenerado
335 X4t [1] = Xd [1]   # coordenadas do quarto no do quadrilatero degenerado
336 X4t [2] = Xd [2]   # coordenadas do quarto no do quadrilatero degenerado
337
338 if (pf == 1):  # O ponto fonte esta no no 1
339     X2t [0] = X2 [0]          # coordenadas do segundo no do
340         quadrilatero degenerado
341     X2t [1] = X2 [1]          # coordenadas do segundo no do
342         quadrilatero degenerado
343     X2t [2] = X2 [2]          # coordenadas do segundo no do
344         quadrilatero degenerado
345
346     X3t [0] = X3 [0]          # coordenadas do terceiro no do
347         quadrilatero degenerado

```

```

339     X3t[1] = X3[1]           # coordenadas do terceiro no do
        quadrilatero degenerado
340     X3t[2] = X3[2]           # coordenadas do terceiro no do
        quadrilatero degenerado
341 elif (pf == 2): # O ponto fonte esta no no 2
342     X2t[0] = X3[0]           # coordenadas do segundo no do
        quadrilatero degenerado
343     X2t[1] = X3[1]           # coordenadas do segundo no do
        quadrilatero degenerado
344     X2t[2] = X3[2]           # coordenadas do segundo no do
        quadrilatero degenerado
345
346     X3t[0] = X1[0]           # coordenadas do terceiro no do
        quadrilatero degenerado
347     X3t[1] = X1[1]           # coordenadas do terceiro no do
        quadrilatero degenerado
348     X3t[2] = X1[2]           # coordenadas do terceiro no do
        quadrilatero degenerado
349 elif (pf == 3): # O ponto fonte esta no no 3
350     X2t[0] = X1[0]           # coordenada do segundo no do
        quadrilatero degenerado
351     X2t[1] = X1[1]           # coordenada do segundo no do
        quadrilatero degenerado
352     X2t[2] = X1[2]           # coordenada do segundo no do
        quadrilatero degenerado
353
354     X3t[0] = X2[0]           # coordenada do terceiro no do
        quadrilatero degenerado
355     X3t[1] = X2[1]           # coordenada do terceiro no do
        quadrilatero degenerado
356     X3t[2] = X2[2]           # coordenada do terceiro no do
        quadrilatero degenerado
357
358 # Integracao regular do elemento
359 for l in range(0,npg):       # Laco sobre a primeira variavel de
        integracao
360     for m in range(0,npg):   # Laco sobre a segunda variavel de
        integracao
361         # Calculo das funcoes de forma
362         # Coordenadas do ponto campo
363         Xc[0] = N1q[1,m]*X1t[0] + N2q[1,m]*X2t[0] + N3q[1,m]*X3t[0] +
            N4q[1,m]*X4t[0] # coordenadas dos pontos de integracao
364         Xc[1] = N1q[1,m]*X1t[1] + N2q[1,m]*X2t[1] + N3q[1,m]*X3t[1] +
            N4q[1,m]*X4t[1] # coordenadas dos pontos de integracao
365         Xc[2] = N1q[1,m]*X1t[2] + N2q[1,m]*X2t[2] + N3q[1,m]*X3t[2] +
            N4q[1,m]*X4t[2] # coordenadas dos pontos de integracao
366
367         # Jacobiano (varia ao longo do elemento degenerado)
368         dNdqsi[0] = (1./4.)*(-(1. - qsi_quad[m]))

```

```

369 dNdqsi [1] = (1./4.)*(1.-qsi_quad [m])
370 dNdqsi [2] = (1./4.)*(1.+ qsi_quad [m])
371 dNdqsi [3] = (1./4.)*(-(1.+ qsi_quad [m]))
372
373 dNdeta [0] = (1./4.)*(-(1.- qsi_quad [1]))
374 dNdeta [1] = (1./4.)*(-(1.+ qsi_quad [1]))
375 dNdeta [2] = (1./4.)*((1.+ qsi_quad [1]))
376 dNdeta [3] = (1./4.)*((1.- qsi_quad [1]))
377
378
379 dxdqsi = X1t [0]*dNdqsi [0] + X2t [0]*dNdqsi [1] + X3t [0]*dNdqsi [2]
      + X4t [0]*dNdqsi [3]
380 dydqsi = X1t [1]*dNdqsi [0] + X2t [1]*dNdqsi [1] + X3t [1]*dNdqsi [2]
      + X4t [1]*dNdqsi [3]
381 dzdqsi = X1t [2]*dNdqsi [0] + X2t [2]*dNdqsi [1] + X3t [2]*dNdqsi [2]
      + X4t [2]*dNdqsi [3]
382
383 dxdeta = X1t [0]*dNdeta [0] + X2t [0]*dNdeta [1] + X3t [0]*dNdeta [2]
      + X4t [0]*dNdeta [3]
384 dydeta = X1t [1]*dNdeta [0] + X2t [1]*dNdeta [1] + X3t [1]*dNdeta [2]
      + X4t [1]*dNdeta [3]
385 dzdeta = X1t [2]*dNdeta [0] + X2t [2]*dNdeta [1] + X3t [2]*dNdeta [2]
      + X4t [2]*dNdeta [3]
386
387 g1 = dydqsi*dzdeta - dzdqsi*dydeta
388 g2 = dzdqsi*dxdeta - dxdqsi*dzdeta
389 g3 = dxdqsi*dydeta - dydqsi*dxdeta
390 J = sqrt (g1**2.0 + g2**2.0 + g3**2.0)
391
392 # Solucao fundamental: inicio
393 R[0] = Xc [0] - Xd [0]
394 R[1] = Xc [1] - Xd [1]
395 R[2] = Xc [2] - Xd [2]
396
397 r = sqrt (R[0]**2 + R[1]**2 + R[2]**2)
398 Tast = 1.0/(4.0*k*pi*r)
399 # Solucao fundamental: fim
400
401 # Integral da matriz G
402 if pf==1:
403     g [0] += Tast*(N1q [1 ,m]+N4q [1 ,m]) *w_quad [1] *w_quad [m] *J
404     g [1] += Tast*N2q [1 ,m] *w_quad [1] *w_quad [m] *J
405     g [2] += Tast*N3q [1 ,m] *w_quad [1] *w_quad [m] *J
406 elif pf==2:
407     g [0] += Tast*N3q [1 ,m] *w_quad [1] *w_quad [m] *J
408     g [1] += Tast*(N1q [1 ,m]+N4q [1 ,m]) *w_quad [1] *w_quad [m] *J
409     g [2] += Tast*N2q [1 ,m] *w_quad [1] *w_quad [m] *J
410 else :
411     g [0] += Tast*N2q [1 ,m] *w_quad [1] *w_quad [m] *J

```

```
412 | g [ 1 ] += T ast * N 3 q [ 1 , m ] * w _ quad [ 1 ] * w _ quad [ m ] * J
413 | g [ 2 ] += T ast * ( N 1 q [ 1 , m ] + N 4 q [ 1 , m ] ) * w _ quad [ 1 ] * w _ quad [ m ] * J
```

F Código integracao3.pyx

```
1 #!/usr/bin/env python3
2 # -*- coding: utf-8 -*-
3 """
4 Created on Wed Oct  2 11:39:46 2019
5
6 @author: eder
7 """
8 cimport cython
9
10
11
12 import numpy as np
13 from libc.math cimport log
14 from libc.math cimport atan2
15 from libc.math cimport sqrt
16 from libc.math cimport asinh
17 from libc.stdio cimport printf
18
19 import cython
20
21 @cython.boundscheck(False)
22 @cython.wraparound(False)
23 @cython.cdivision(True) # to avoid the exception checking
24 @cython.nonecheck(False)
25
26
27 def cal_HeG(double[:, :] NOS, long[:, :] ELEM, double k, double[:, :] qsil, double
28    [:, :] w1, double[:, :] qsi_quad, double[:, :] w_quad):
29     cdef long nelelem, nnos, npg_s, npg_r, pc
30     cdef double[:, :] H, G, N1, N2, N3, N1q, N2q, N3q, N4q
31     cdef long i, l, m, noglobal, ipf, pf, nlocal
32     cdef long[3] nos
33     cdef double[3] X1, X2, X3, Xd, n, g, h
34     cdef double J
35
36     nelelem = ELEM.shape[0] # Numero de elementos
37     nnos = NOS.shape[0] # Numero de nos
38
39     H=np.zeros((nnos, nnos))
```



```

39 G=np.zeros((nnos,3*nelem))
40 ### = = = = = PONTOS E PESOS DE GAUSS = = = = =
41 npg_s = qsi_quad.shape[0] # Numero de pontos de Gauss para a
    integracao singular
42 npg_r = qsil.shape[0] # Numero de pontos de Gauss para a integracao
    regular
43 for i in range(npg_r):
44     qsil[i] = 0.5*(qsil[i] + 1) # Converte
        os pontos de Gauss para o intervalo [0, 1]
45     w1[i] = w1[i]*0.5 # Converte
        os pesos de Gauss para o intervalo [0, 1]
46 # %% = = = = = FUNCOES DE FORMA = = = = =
47 N1q = np.zeros((npg_s,npg_s))
48 N2q = np.zeros((npg_s,npg_s))
49 N3q = np.zeros((npg_s,npg_s))
50 N4q = np.zeros((npg_s,npg_s))
51
52 N1 = np.zeros((npg_r,npg_r))
53 N2 = np.zeros((npg_r,npg_r))
54 N3 = np.zeros((npg_r,npg_r))
55
56 for l in range(0,npg_r):
57     for m in range(0,npg_r):
58         N1[l,m] = (1-qsil[m])*qsil[l] # qsi escrito como qsi_linha e
            eta
59         N2[l,m] = qsil[m]
60         N3[l,m] = 1-N1[l,m]-N2[l,m]
61
62 for l in range(0,npg_s):
63     for m in range(0,npg_s):
64         N1q[l,m] = (1./4.)*(1. - qsi_quad[l])*(1. - qsi_quad[m])
65         N2q[l,m] = (1./4.)*(1. + qsi_quad[l])*(1. - qsi_quad[m])
66         N3q[l,m] = (1./4.)*(1. + qsi_quad[l])*(1. + qsi_quad[m])
67         N4q[l,m] = (1./4.)*(1. - qsi_quad[l])*(1. + qsi_quad[m])
68
69
70 #%% = = = = = CALCULO DOS ELEMENTOS DAS MATRIZES H e G = = = = =
71 for pc in range(nelem):
72     nos[0] = ELEM[pc,0] # Nos que compoem o elemento
73     nos[1] = ELEM[pc,1] # Nos que compoem o elemento
74     nos[2] = ELEM[pc,2] # Nos que compoem o elemento
75     X1[0] = NOS[nos[0],0] # Coordenadas do no 1 do elemento
76     X1[1] = NOS[nos[0],1] # Coordenadas do no 1 do elemento
77     X1[2] = NOS[nos[0],2] # Coordenadas do no 1 do elemento
78     X2[0] = NOS[nos[1],0] # Coordenadas do no 2 do elemento
79     X2[1] = NOS[nos[1],1] # Coordenadas do no 2 do elemento
80     X2[2] = NOS[nos[1],2] # Coordenadas do no 2 do elemento
81     X3[0] = NOS[nos[2],0] # Coordenadas do no 3 do elemento
82     X3[1] = NOS[nos[2],1] # Coordenadas do no 3 do elemento

```

```

83     X3[2] = NOS[nos[2],2]    # Coordenadas do no 3 do elemento
84     n[0]=0
85     n[1]=0
86     n[2]=0
87     J=calc_vetnormal(X1,X2,X3,n)    # Vetor unitario normal ao elemento
88     for pf in range(0,nnos): # Laco sobre os pontos fonte
89         Xd[0] = NOS[pf,0]        # Coordenadas do ponto fonte
90         Xd[1] = NOS[pf,1]        # Coordenadas do ponto fonte
91         Xd[2] = NOS[pf,2]        # Coordenadas do ponto fonte
92         if (pf==nos[0] or pf==nos[1] or pf==nos[2]): # Integracao
          singular (o ponto fonte pertence ao elemento)
93             if pf==nos[0]: # O ponto fonte esta no no 1
94                 ipf = 1          # Sinaliza que o ponto fonte esta
          sobre o primeiro no
95             elif pf==nos[1]: # O ponto fonte esta no no 2
96                 ipf = 2          # Sinaliza que o ponto fonte esta
          sobre o segundo no
97             elif pf==nos[2]: # O ponto fonte esta no no 3
98                 ipf = 3          # Sinaliza que o ponto fonte esta
          sobre o terceiro no
99
100                g[0]=0
101                g[1]=0
102                g[2]=0
103                calcula_Gs(X1,X2,X3,Xd, ipf ,N1q,N2q,N3q,N4q, qsi_quad ,w_quad ,
104                    k, g)
105                h[0]=0
106                h[1]=0
107                h[2]=0
108
109            else: # Integracao regular (o ponto fonte nao pertence ao
110                elemento)
111                g[0]=0
112                g[1]=0
113                g[2]=0
114                h[0]=0
115                h[1]=0
116                h[2]=0
117
118            calcula_HeGns(X1,X2,X3,Xd, qsil ,w1,n,k,J,N1,N2,N3,g,h)
119            #printf("g[0] = %f8.5",g[0] )
120            for nlocal in range(0,3):
121                noglobal = ELEM[pc,nlocal]    # Indice da matriz global H
122                H[pf,noglobal] += h[nlocal]
123            G[pf,3*pc] = g[0]
124            G[pf,3*pc+1] = g[1]
125            G[pf,3*pc+2] = g[2]
126
127     for m in range(0,nnos):
128         H[m,m] = 0
129         for l in range(0,nnos):
130             if l != m:

```

```

126         H[m,m] += - H[m,1]
127     return H,G
128 #
129
130
131 #     %% = = = = = DIAGONAL DA MATRIZ H = = = = =
132 #     Calcula os termos da diagonal da matriz H (consideracao de corpo a
        temperatura constante)
133 @cython.boundscheck(False)
134 @cython.wraparound(False)
135 @cython.cdivision(True) # to avoid the exception checking
136 @cython.nonecheck(False)
137
138
139 cdef double calc_vetnormal(double [3] X1,double [3] X2, double [3] X3,double
        [3] n) nogil:
140     # Function que calcula o vetor unitario normal ao elemento
141     cdef double [3] v1,v2
142     v1[0] = X3[0] - X2[0]           # Vetor formado pela aresta 3-2 do
        elemento
143     v1[1] = X3[1] - X2[1]           # Vetor formado pela aresta 3-2 do
        elemento
144     v1[2] = X3[2] - X2[2]           # Vetor formado pela aresta 3-2 do
        elemento
145     v2[0] = X1[0] - X2[0]           # Vetor formado pela aresta 1-2 do
        elemento
146     v2[1] = X1[1] - X2[1]           # Vetor formado pela aresta 1-2 do
        elemento
147     v2[2] = X1[2] - X2[2]           # Vetor formado pela aresta 1-2 do
        elemento
148     n[0]=v1[1]*v2[2]-v1[2]*v2[1]
149     n[1]=v1[2]*v2[0]-v1[0]*v2[2]
150     n[2]=v1[0]*v2[1]-v1[1]*v2[0]
151     J=sqrt(n[0]**2+n[1]**2+n[2]**2)
152     n[0]=n[0]/J
153     n[1]=n[1]/J
154     n[2]=n[2]/J
155     return J
156
157 @cython.boundscheck(False)
158 @cython.wraparound(False)
159 @cython.cdivision(True) # to avoid the exception checking
160 @cython.nonecheck(False)
161
162
163 cdef void calcula_HeGns(double [3] X1,double [3] X2,double [3] X3,double [3] Xd
        ,double [:] eta ,double [:] w2,double [3] n,double k,double J,double[:,:] N1
        ,double[:,:] N2,double[:,:] N3,double [3] g,double [3] h) nogil:
164     """

```

```

165 Integracao numerica nao-singular de elementos de contorno triangulares
166 lineares continuos
167 """
168 cdef double [3] R,Xc
169 g[0] = 0; # Inicializa o somatorio de g
170 g[1] = 0; # Inicializa o somatorio de g
171 g[2] = 0; # Inicializa o somatorio de g
172 h[0] = 0; # Inicializa o somatorio de g
173 h[1] = 0; # Inicializa o somatorio de g
174 h[2] = 0; # Inicializa o somatorio de g
175
176 # n_pint1 = qsil.shape[0] # Nro de pontos de integracao na direcao qsi
177 cdef long n_pint
178 n_pint = eta.shape[0] # Nro de pontos de integracao na direcao eta
179
180 cdef long l,m
181 cdef double r ,Tast ,qast ,pi
182 pi = 3.141592654
183
184 for l in range(0,n_pint): # Laco sobre os pontos de integracao
185     for m in range(0,n_pint): # Laco sobre os pontos de integracao
186         Xc[0] = N1[l,m]*X1[0] + N2[l,m]*X2[0] + N3[l,m]*X3[0] #
187             coordenadas dos pontos de integracao
188         Xc[1] = N1[l,m]*X1[1] + N2[l,m]*X2[1] + N3[l,m]*X3[1] #
189             coordenadas dos pontos de integracao
190         Xc[2] = N1[l,m]*X1[2] + N2[l,m]*X2[2] + N3[l,m]*X3[2] #
191             coordenadas dos pontos de integracao
192
193     # Solucao fundamental: inicio
194     R[0] = Xc[0] - Xd[0]
195     R[1] = Xc[1] - Xd[1]
196     R[2] = Xc[2] - Xd[2]
197     r = sqrt(R[0]**2 + R[1]**2 + R[2]**2)
198     Tast = 1.0/(4.0*k*pi*r)
199     qast = (R[0]*n[0] + R[1]*n[1] + R[2]*n[2])/(4.0*pi*r**3.0)
200     # Solucao fundamental: fim
201
202     # Integral da matriz H
203     h[0] += qast*N1[l,m]*(1-eta[m])*w2[l]*w2[m]*J
204     h[1] += qast*N2[l,m]*(1-eta[m])*w2[l]*w2[m]*J
205     h[2] += qast*N3[l,m]*(1-eta[m])*w2[l]*w2[m]*J
206     # Integral da matriz G
207     g[0] += Tast*N1[l,m]*(1-eta[m])*w2[l]*w2[m]*J
208     g[1] += Tast*N2[l,m]*(1-eta[m])*w2[l]*w2[m]*J
209     g[2] += Tast*N3[l,m]*(1-eta[m])*w2[l]*w2[m]*J
210
211 @cython.boundscheck(False)
212 @cython.wraparound(False)
213 @cython.cdivision(True) # to avoid the exception checking

```

```

211 @cython.nonecheck(False)
212
213
214 cdef void calcula_Gs(double [3] X1, double [3] X2, double [3] X3, double [3] Xd,
215                    long pf, double[:, :] N1q, double[:, :] N2q, double[:, :]
216                    N3q,
217                    double[:, :] N4q, double[:] qsi_quad, double[:] w_quad,
218                    double k, double [3] g) nogil:
219     """
220     Function: calcula_Gs
221     Descricao: Integracao singular da matriz G. O elemento triangular e
222                transformado em um elemento quadrilateral degenerado. Os
223                dois
224                primeiros nos deste quadrilatero sao coincidentes (formam um
225                so vertice do triangulo) e correspondem ao ponto onde existe
226                a
227                singularidade, ou seja, ao ponto fonte. Isto faz com que
228                haja
229                uma concentracao de pontos de integracao junto a
230                singularidade, alem do jacobiano ser igual a zero na
231                singularidade. No caso da matriz H, os elementos da diagonal
232                sao calculados pela consideracao de corpo a temperatura
233                constante.
234     Autor: Gustavo Gontijo, adaptado de Eder Lima de Albuquerque
235
236     Ultima modificacao: 05/05/2014 - 19h23min
237     """
238     cdef long npg, l, m
239     cdef double [3] R, Xc, X1t, X2t, X3t, X4t
240
241     cdef double J, r, Tast, pi
242     cdef double [4] dNdqsi, dNdeta
243     cdef double dxdqsi, dydqsi, dzdqsi, dxdeta, dydeta, dzdeta, g1, g2, g3
244     g[0] = 0 # Inicializacao da matriz g
245     g[1] = 0 # Inicializacao da matriz g
246     g[2] = 0 # Inicializacao da matriz g
247     npg = qsi_quad.shape[0] # Numero de pontos de integracao
248     pi = 3.141592654
249     # Transformacao do triangulo em quadrilatero
250
251     X1t[0] = Xd[0] # coordenadas do primeiro no do quadrilatero
252                degenerado
253     X1t[1] = Xd[1] # coordenadas do primeiro no do quadrilatero
254                degenerado
255     X1t[2] = Xd[2] # coordenadas do primeiro no do quadrilatero
256                degenerado
257
258     X4t[0] = Xd[0] # coordenadas do quarto no do quadrilatero degenerado
259     X4t[1] = Xd[1] # coordenadas do quarto no do quadrilatero degenerado

```

```

253 X4t[2] = Xd[2] # coordenadas do quarto no do quadrilatero degenerado
254
255 if (pf == 1): # O ponto fonte esta no no 1
256     X2t[0] = X2[0] # coordenadas do segundo no do
                quadrilatero degenerado
257     X2t[1] = X2[1] # coordenadas do segundo no do
                quadrilatero degenerado
258     X2t[2] = X2[2] # coordenadas do segundo no do
                quadrilatero degenerado
259
260     X3t[0] = X3[0] # coordenadas do terceiro no do
                quadrilatero degenerado
261     X3t[1] = X3[1] # coordenadas do terceiro no do
                quadrilatero degenerado
262     X3t[2] = X3[2] # coordenadas do terceiro no do
                quadrilatero degenerado
263 elif (pf == 2): # O ponto fonte esta no no 2
264     X2t[0] = X3[0] # coordenadas do segundo no do
                quadrilatero degenerado
265     X2t[1] = X3[1] # coordenadas do segundo no do
                quadrilatero degenerado
266     X2t[2] = X3[2] # coordenadas do segundo no do
                quadrilatero degenerado
267
268     X3t[0] = X1[0] # coordenadas do terceiro no do
                quadrilatero degenerado
269     X3t[1] = X1[1] # coordenadas do terceiro no do
                quadrilatero degenerado
270     X3t[2] = X1[2] # coordenadas do terceiro no do
                quadrilatero degenerado
271 elif (pf == 3): # O ponto fonte esta no no 3
272     X2t[0] = X1[0] # coordenada do segundo no do
                quadrilatero degenerado
273     X2t[1] = X1[1] # coordenada do segundo no do
                quadrilatero degenerado
274     X2t[2] = X1[2] # coordenada do segundo no do
                quadrilatero degenerado
275
276     X3t[0] = X2[0] # coordenada do terceiro no do
                quadrilatero degenerado
277     X3t[1] = X2[1] # coordenada do terceiro no do
                quadrilatero degenerado
278     X3t[2] = X2[2] # coordenada do terceiro no do
                quadrilatero degenerado
279
280 # Integracao regular do elemento
281 for l in range(0, npg): # Laco sobre a primeira variavel de
                integracao

```

```

282     for m in range(0, npg): # Laco sobre a segunda variavel de
283         integracao
284         # Calculo das funcoes de forma
285         # Coordenadas do ponto campo
286         Xc[0] = N1q[1, m]*X1t[0] + N2q[1, m]*X2t[0] + N3q[1, m]*X3t[0] +
287             N4q[1, m]*X4t[0] # coordenadas dos pontos de integracao
288         Xc[1] = N1q[1, m]*X1t[1] + N2q[1, m]*X2t[1] + N3q[1, m]*X3t[1] +
289             N4q[1, m]*X4t[1] # coordenadas dos pontos de integracao
290         Xc[2] = N1q[1, m]*X1t[2] + N2q[1, m]*X2t[2] + N3q[1, m]*X3t[2] +
291             N4q[1, m]*X4t[2] # coordenadas dos pontos de integracao
292
293         # Jacobiano (varia ao longo do elemento degenerado)
294         dNdqsi[0] = (1./4.)*(-(1. - qsi_quad[m]))
295         dNdqsi[1] = (1./4.)*(1. - qsi_quad[m])
296         dNdqsi[2] = (1./4.)*(1. + qsi_quad[m])
297         dNdqsi[3] = (1./4.)*(-(1. + qsi_quad[m]))
298
299         dNdeta[0] = (1./4.)*(-(1. - qsi_quad[1]))
300         dNdeta[1] = (1./4.)*(-(1. + qsi_quad[1]))
301         dNdeta[2] = (1./4.)*((1. + qsi_quad[1]))
302         dNdeta[3] = (1./4.)*((1. - qsi_quad[1]))
303
304         dxdqsi = X1t[0]*dNdqsi[0] + X2t[0]*dNdqsi[1] + X3t[0]*dNdqsi[2]
305             + X4t[0]*dNdqsi[3]
306         dydqsi = X1t[1]*dNdqsi[0] + X2t[1]*dNdqsi[1] + X3t[1]*dNdqsi[2]
307             + X4t[1]*dNdqsi[3]
308         dzdqsi = X1t[2]*dNdqsi[0] + X2t[2]*dNdqsi[1] + X3t[2]*dNdqsi[2]
309             + X4t[2]*dNdqsi[3]
310
311         dxdeta = X1t[0]*dNdeta[0] + X2t[0]*dNdeta[1] + X3t[0]*dNdeta[2]
312             + X4t[0]*dNdeta[3]
313         dydeta = X1t[1]*dNdeta[0] + X2t[1]*dNdeta[1] + X3t[1]*dNdeta[2]
314             + X4t[1]*dNdeta[3]
315         dzdeta = X1t[2]*dNdeta[0] + X2t[2]*dNdeta[1] + X3t[2]*dNdeta[2]
316             + X4t[2]*dNdeta[3]
317
318         g1 = dydqsi*dzdeta - dzdqsi*dydeta
319         g2 = dzdqsi*dxdeta - dxdqsi*dzdeta
320         g3 = dxdqsi*dydeta - dydqsi*dxdeta
321         J = sqrt(g1**2.0 + g2**2.0 + g3**2.0)
322
323         # Solucao fundamental: inicio
324         R[0] = Xc[0] - Xd[0]
325         R[1] = Xc[1] - Xd[1]
326         R[2] = Xc[2] - Xd[2]
327
328         r = sqrt(R[0]**2 + R[1]**2 + R[2]**2)
329         Tast = 1.0/(4.0*k*pi*r)

```

```

321 # Solucao fundamental: fim
322
323 # Integral da matriz G
324 if pf==1:
325     g[0] += Tast*(N1q[1,m]+N4q[1,m])*w_quad[1]*w_quad[m]*J
326     g[1] += Tast*N2q[1,m]*w_quad[1]*w_quad[m]*J
327     g[2] += Tast*N3q[1,m]*w_quad[1]*w_quad[m]*J
328 elif pf==2:
329     g[0] += Tast*N3q[1,m]*w_quad[1]*w_quad[m]*J
330     g[1] += Tast*(N1q[1,m]+N4q[1,m])*w_quad[1]*w_quad[m]*J
331     g[2] += Tast*N2q[1,m]*w_quad[1]*w_quad[m]*J
332 else:
333     g[0] += Tast*N2q[1,m]*w_quad[1]*w_quad[m]*J
334     g[1] += Tast*N3q[1,m]*w_quad[1]*w_quad[m]*J
335     g[2] += Tast*(N1q[1,m]+N4q[1,m])*w_quad[1]*w_quad[m]*J

```